

**STUDI HUBUNGAN KUANTITATIF STRUKTUR AKTIVITAS,
PENELUSURAN FARMAKOFOR, VIRTUAL SKRINING,
DOCKING MOLEKUL, UJI TOKSISITAS DAN PROFIL
FARMAKOKINETIK SENYAWA TURUNAN
KUMARIN-KALKON-UREA SEBAGAI AGEN
ANTI KANKER PADA KANKER HATI
SECARA *IN SILICO***



SKRIPSI

Diajukan untuk Memenuhi Salah Satu Syarat Meraih
Gelar Sarjana Farmasi (S. Farm.) Jurusan Farmasi
pada Fakultas Kedokteran dan Ilmu Kesehatan
UIN Alauddin Makassar

Oleh

ALFIANA DWI PUSPITA
NIM. 70100114035

**FAKULTAS KEDOKTERAN DAN ILMU KESEHATAN
UNIVERSITAS ISLAM NEGERI
ALAUDDIN MAKASSAR**

2018

PERNYATAAN KEASLIAN SKRIPSI

Mahasiswa yang bersangkutan di bawah ini:

Nama : Alfiana Dwi Puspita
NIM : 70100114035
Tempat/Tanggal Lahir : Watan Soppeng/ 05 Juni 1996
Jur/Prodi/Konsentrasi : Farmasi
Alamat : BTP, Blok AD Keberkahan No.264
Judul Penelitian : Studi Hubungan Kuantitatif Struktur Aktivitas, Penelusuran Farmakofor, Virtual Skrining, *Docking* Molekul, Uji Toksisitas Dan Profil Farmakokinetik Senyawa Turunan Kumarin-Kalkon-Urea Sebagai Agen Antikanker Pada Kanker Hati Secara *In Silico*

Menyatakan bahwa skripsi ini benar adalah hasil karya penyusun sendiri. Jika dikemudian hari terbukti bahwa ia merupakan duplikasi, tiruan, plagiat atau dibuat oleh orang lain sebagian atau seluruhnya, maka skripsi dan gelar yang diperoleh karenanya batal demi hukum.

Makassar, 20 Agustus 2018

Penyusun

Alfiana Dwi Puspita
NIM: 70100114035

PENGESAHAN SKRIPSI

Skripsi yang berjudul “Studi Hubungan Kuantitatif Struktur Aktivitas, *Searching* Farmakofor, *Virtual Screening*, *Docking* Molekul, Uji Toksisitas Dan Profil Farmakokinetik Senyawa Turunan Kumarin-Kalkon-Urea Sebagai Agen Antikanker Pada Kanker Hati Secara *In Silico*” yang disusun oleh Alfiana Dwi Puspita, NIM : 70100114035, Mahasiswa Jurusan Farmasi Fakultas Kedokteran dan Ilmu Kesehatan UIN Alauddin Makassar, telah diuji dan dipertahankan dalam Ujian Sidang Skripsi yang diselenggarakan pada hari Senin, 20 Agustus 2018 yang bertepatan dengan 8 Dzulhijjah 1439 H, dinyatakan telah dapat diterima sebagai salah satu syarat untuk memperoleh gelar Sarjana dalam Fakultas Kedokteran dan Ilmu Kesehatan, Jurusan Farmasi.

Gowa, 20 Agustus 2018 M
8 Dzulhijjah 1439 H

DEWAN PENGUJI

Ketua : Dr. dr. H. Andi Armyn Nurdin, M.Sc. (.....)
Sekretaris : Haeria, S.Si., M.Si. (.....)
Pembimbing I : Haeria, S.Si., M.Si. (.....)
Pembimbing II : Nur Syamsi Dhuha, S.Farm., M.Si. (.....)
Penguji I : Surya Ningsi, S.Si., M.Si., Apt. (.....)
Penguji II : Dr. H. Supardin M. HI. (.....)

Dekan Fakultas Kedokteran dan Ilmu Kesehatan

UIN Alauddin Makassar,
Dr. dr. H. Andi Armyn Nurdin, M.Sc
NIP. 19650203 198312 1 001

KATA PENGANTAR



Segala puji bagi Allah swt. atas nikmat akal dan pikiran yang diberikan serta limpahan ilmu yang tiada hentinya sehingga penyusun dapat menyelesaikan penelitian dan penulisan skripsi ini tepat pada waktunya. Salawat dan salam juga tak lupa penulis haturkan kepada junjungan Nabi Besar Muhammad saw., keluarga dan para sahabat serta orang-orang yang mengikutinya.

Skripsi dengan judul **“Studi Hubungan Kuantitatif Struktur Aktivitas, Penelusuran Farmakofor, Virtual Skrining, Docking Molekul, Uji Toksisitas Dan Profil Farmakokinetik Senyawa Turunan Kumarin-Kalkon-Urea Sebagai Agen Antikanker Pada Kanker Hati Secara *In Silico*”** ini disusun sebagai salah satu syarat untuk mencapai gelar Sarjana farmasi pada Fakultas Kedokteran dan Ilmu Kesehatan Jurusan Farmasi, Universitas Islam Negeri Alauddin Makassar. Penulis menyadari bahwa tugas akhir ini bukanlah tujuan akhir dari belajar karena belajar adalah sesuatu yang tidak terbatas.

Skripsi ini dengan terselesaikannya, tentu tak lepas dari dorongan dari berbagai pihak. Penulis menyadari banyaknya kendala yang dihadapi dalam penyusunan skripsi ini. Namun berkat do’a, motivasi dan kontribusi dari berbagai pihak, maka kendala tersebut mampu teratasi dan terkendali dengan baik.

Oleh karena itu pada kesempatan ini penulis ingin menyampaikan ucapan terima kasih yang sebesar-besarnya kepada:

1. Orang tua, **Ayahanda** tercinta **Drs. Asaf Diolo S. Si., Apt.** dan **Ibunda** tercinta **Hj. Sulfiani**, untuk semua dukungan berharga yang pasti takkan

pernah bisa kubalaskan setimpal, baik berupa kasih sayang, materi, nasehat dan do'a yang tulus. Juga, kedua saudara tersayang, **Kak Dr. Fierda Eka Pratiwi** dan **Faikha Triana Ramadhani** juga bunda tercinta yang menjadi ibu kedua selama saya di Makassar **Mukhriani S. Si., M. Si., Apt.** serta **keluarga** besar yang senantiasa memberikan restu dan Do'a-Nya.

2. Bapak **Prof. Dr. H. Musafir Pababari, M.Si** selaku Rektor dan bapak **DR. dr. Andi Armyn Nurdin, M.Sc.** selaku Dekan Fakultas Kedokteran dan Ilmu Kesehatan UIN Alauddin Makassar,
3. Ibu **Dr. Nurhidayah, S.Kep., Ns, M.Kes** selaku Wakil Dekan I, ibu **Dr. Andi Susilawaty, S.Si., M.Kes** selaku Wakil Dekan II, dan bapak **Dr. Mukhtar Lutfi, M.Ag.** selaku Wakil Dekan III Fakultas Kedokteran dan Ilmu Kesehatan,
4. Ibu **Haeria, S.Si., M.Si.** Selaku Ketua Jurusan Farmasi Fakultas Kedokteran dan Ilmu Kesehatan Universitas Islam Negeri Alauddin Makassar dan pembimbing pertama yang telah banyak memberikan pengarahan dan motivasi, serta meluangkan banyak waktu dalam membimbing penulis. Semoga Allah swt. membalas bantuan **ibu** dengan pahala bahkan hal yang lebih baik, di dunia dan akhirat.
5. Ibu **Nur Syamsi Dhuha, S.Farm., M.Si.,** selaku pembimbing kedua yang telah banyak memberikan bantuan dan pengarahan serta meluangkan waktu dan pikirannya dalam membimbing penulis. Semoga Allah swt. membalas bantuan **ibu** dengan pahala bahkan hal yang lebih baik, di dunia dan akhirat.

6. Ibu **Surya Ningsi, S.Si., M.Si., Apt.** selaku penguji kompetensi yang telah banyak memberikan saran dan kritiknya demi perbaikan dan kelengkapan skripsi ini, serta Bapak **Dr. H. Supardin, M. HI.** selaku penguji agama yang telah banyak memberikan pengarahan sekaligus bimbingan terhadap kelengkapan dan perbaikan khususnya, tinjauan agama skripsi ini.
7. **Bapak, Ibu Dosen,** serta seluruh **Staf Jurusan Farmasi** atas curahan ilmu pengetahuan dan segala bantuan yang diberikan pada penulis sejak menempuh pendidikan Farmasi hingga saat ini.
8. Sahabat terbaikku **A. Rahma Raufia T., Henna Ayu Nibras dan Sherina Saud,** untuk kesetiaan, kesabarannya serta rela menemani kegilaanku selama 4 tahun ini, semoga Allah selalu meridhoi persahabatan kita dunia dan akhirat.
9. Sahabat seperjuangan penelitian kimia komputasi **Resky Nugraha,** sahabat yang sama-sama menerjang ombak, mendaki gunung dan melewati lembah ribuan senyawa serta merasakan ikatan kovalen yang kuat diantara kami berdua. Semoga semua ilmu, semangat dan saran darimu akan menjadi pahala.
10. Teman-teman Seperjuangan **GALENICA 2014,** untuk kebersamaan, kepercayaan persahabatan dan pelajaran hidup yang sangat berharga yang selalu kudapatkan, semoga saudara-saudariku selalu mendapatkan tempat yang terbaik di dunia maupun akhirat.
11. **Kakak-kakak** dan **adik-adik** di Farmasi UIN Alauddin Makassar serta pihak-pihak yang tidak dapat disebutkan satu per satu.

Penulis menyadari bahwa masih terdapat kekuangan pada skripsi ini. Oleh karena, kritik dan saran yang membangun sangat penulis harapkan demi

penyempurnaan skripsi ini kedepan-Nya. Besar harapan penulis kiranya skripsi ini dapat bernilai ibadah disisi Allah SWT. dan bermanfaat bagi bagi semua pihak. Aamiin.

Makassar 20 Agustus 2018

Penyusun



DAFTAR ISI

1. HALAMAN SAMPUL	i
2. PERNYATAAN KEASLIAN SKRIPSI.....	ii
3. PENGESAHAN SKRIPSI	iii
4. KATA PENGANTAR	iv
5. DAFTAR ISI.....	viii
DAFTAR GAMBAR	x
DAFTAR LAMPIRAN	xi
DAFTAR TABEL	xii
6. ABSTRAK	xiii
ABSTRACT	xiv
7. BAB I PENDAHULUAN.....	1
A. Latar Belakang	1
B. Rumusan Masalah	5
C. Defenisi Operasional dan Ruang Lingkup Penelitian	6
1. Defenisi Operasional.....	6
2. Ruang Lingkup Penelitian.....	8
D. Kajian Pustaka.....	8
E. Tujuan dan Kegunaan Penelitian	12
1. Tujuan Penelitian	12
2. Kegunaan Penelitian	13
8. BAB II TINJAUAN TEORITIS	14
A. Kanker Hati atau <i>Hepatocellular Carcinoma</i> (HCC)	14
B. Penelitian Obat Baru secara Kimia Komputasi (<i>In Silico</i>).....	16
C. Hubungan Kuantitatif Struktur Aktivitas (HKSA).....	18
D. Penelusuran Fitur Farmakofor	25
E. <i>Docking</i> Molekul	27
F. Virtual Skrining	29
G. Reseptor VEGFR2 dalam Pembentukan Kanker	32
H. Senyawa Turunan Kumarin-Kalkon-Urea	34
I. Tinjauan Islam	47
9. BAB III METODELOGI PENELITIAN	50
A. Jenis dan Lokasi Penelitian	50

1. Jenis Penelitian.....	50
2. Lokasi Penelitian.....	50
B. Pendekatan Penelitian	50
C. Sumber data.....	50
D. Instrumen Penelitian.....	51
E. Prosedur Pengolahan Dan Analisis data	52
10. BAB IV HASIL PENELITIAN DAN PEMBAHASAN	65
A. Hasil Penelitian	65
B. Pembahasan.....	52
11. BAB V PENUTUP	92
A. Kesimpulan	92
B. Implikasi Penelitian.....	93
12. KEPUSTAKAAN	94
13. LAMPIRAN.....	96
14. DAFTAR RIWAYAT HIDUP.....	107

DAFTAR GAMBAR

Gambar 1	Fungsi VEGF pada sel kanker	33
Gambar 2	Target terapi pada pensinyalan VEGFR2 dalam sel kanker	34
Gambar 3	Senyawa iodo-4-aryloxymethyl-coumarins	35
Gambar 4	Desain terbaik dari sintesis senyawa kumarin	37
Gambar 5	Senyawa kalkon	38
Gambar 6	Mekanisme kerja senyawa kalkon-pyrazolic	39
Gambar 7	Struktur senyawa turunan urea	39
Gambar 8	Jalur mekanisme kerja dari senyawa turunan urea	41
Gambar 9	Desain senyawa kumarin-kalkon	70
Gambar 10	Desain senyawa kumarin-kalkon-urea	43
Gambar 11	Jendela <i>HyperChem</i>	52
Gambar 12	Panel optimasi PM3 menggunakan program <i>HyperChem</i>	53
Gambar 13	Jendela <i>energy minimize</i>	54
Gambar 14	Jendela <i>Database Viewer (DBV)</i>	54
Gambar 15	Panel perhitungan deskriptor	55
Gambar 16	Panel <i>Pharmacopore Query Editor</i>	59
Gambar 17	Panel <i>Protonate 3D</i>	59
Gambar 18	Panel <i>Dock</i>	62
Gambar 19	Jendela <i>Toxtree</i>	63
Gambar 20	Jendela <i>AdmetSAR</i>	63
Gambar 21	Jendela <i>PreADMET</i>	64
Gambar 22	Sidik jari interaksi ligan-protein	72
Gambar 23	<i>Query</i> farmakofor inhibitor VEGFR2 senyawa sorafenib	73
Gambar 24	Model farmakofor dari sorafenib	73
Gambar 25	<i>Query</i> farmakofor inhibitor VEGFR2 dengan ligan	75
Gambar 26	Posisi ligan dan <i>Molecular surface</i> asli protein 3WZE	79
Gambar 27	Interaksi ligan dan <i>Molecular surface</i> asli protein 3WZE	80

DAFTAR LAMPIRAN

Lampiran I	Skema Kerja	97
Lampiran II	Hasil Perhitungan Deskriptor	101
Lampiran III	Hasil <i>docking</i> Interaksi senyawa <i>Hits</i> pada protein VEGFR2	105
Lampiran VI	Posisi hasil <i>docking</i> senyawa <i>Hits</i> pada protein VEGFR2.....	106



UNIVERSITAS ISLAM NEGERI
ALAUDDIN
M A K A S S A R

DAFTAR TABEL

Tabel 1	Aktivitas sitotoksik dari senyawa sintesis	44
Tabel 2	Efek senyawa 5e, 5f, 5g, 5h dan 5k terhadap siklus sel H4IIE.....	45
Tabel 3	Nilai LogP pada senyawa sintesis kumarin-kalkon-urea.....	46
Tabel 4	Daftar Deskriptor	55
Tabel 5	Hasil regresi Multilinear Metode <i>backward</i>	66
Tabel 6	Hasil Validasi LOO (q^2)	68
Tabel 7	Hasil Nilai Korelasi <i>Pearson</i>	69
Tabel 8	Database 7 senyawa hits hasil virtual skrining	76
Tabel 9	Hasil <i>docking</i> senyawa hits pada protein 3WZE	81
Tabel 10	Aturan lipinski dari 3 senyawa hasil <i>docking</i>	83
Tabel 11	Hasil prediksi toksisitas dengan Toxtree dan admetSAR.....	86
Tabel 12	Hasil Prediksi farmakokinetik menggunakan PreADME	87



ABSTRAK

Nama : Alfiana Dwi Puspita
NIM : 701001143035
Judul Skripsi : **Studi Hubungan Kuantitatif Struktur Aktivitas, Penelusuran Farmakofor, Virtual Skrining, Docking Molekul, Uji Toksisitas Dan Profil Farmakokinetik Senyawa Turunan Kumarin-Kalkon-Urea Sebagai Agen Antikanker Pada Kanker Hati Secara *In Silico***

Permasalahan dan Tujuan : HCC merupakan karsinoma kedua paling mematikan setelah karsinoma pankreas. Hampir seluruh pasien meninggal dalam 6-7 bulan setelah didiagnosa. Prognosis buruk ini berhubungan dengan masih kurang baiknya diagnosis awal dan resistensi tumor karena HCC bersifat asimtomatik atau gejalanya baru terbentuk saat stadium lanjut. Penelitian ini bertujuan untuk menemukan senyawa baru sebagai calon obat pada pengobatan kanker hati dengan aktifitas antikanker yang tinggi serta memiliki toksisitas rendah dan farmakokinetik yang baik.

Metodelogi : Prosedur dimulai dengan pemodelan dan optimasi geometri struktur molekul pada perangkat lunak *HyperChem* 8.0. Optimasi geometri dilakukan dengan metode PM3. Perhitungan Deskriptor HKSA, penentuan fitur farmakofor, virtual skrining dan *docking* molekul dilakukan dengan menggunakan perangkat lunak MOE 2009. Selanjutnya pengujian toksisitas dengan perangkat lunak Toxtree dan program AdmetSAR, serta penentuan profil farmakokinetik dengan menggunakan program PreADME dilakukan pada dua senyawa *zinc* yang memiliki kesesuaian interaksi terhadap reseptor.

Temuan : Dari penelitian didapatkan persamaan pada HKSA: $\text{LogIC}_{50} = 3,125 + (0,060 \times \text{AM1_dipole}) + (-0,024 \times \text{ASA_H}) + (-0,259 \times \text{PEOE_VSA-6}) + (-0,071 \times \text{Q_VSA_PNEG}) + (0,034 \times \text{VSA})$, dimana $r^2 = 0,870$ dan validasi silang $q^2 = 0,75$, hasil *virtual screening* pada *zinc database* diperoleh senyawa dengan kode ZINC12138892 adalah senyawa yang paling baik yang dilihat dari sisi kecocokan pada *query farmakofor*, *docking* dengan metode farmakofor, prediksi bioavailabilitas menggunakan aturan Lipinski, prediksi ADME dan prediksi toksistasnya.

Rekomendasi : Diharapkan penelitian ini dapat dilanjutkan dengan mendesain senyawa inhibitor VEGFR2 yang baru dengan aktivitas yang lebih baik.

Kata kunci : HKSA, *docking* molekul, farmakofor, kanker hati, VEGFR2

ABSTRAC

Name : Alfiana Dwi Puspita
NIM : 701001143035
Title of Studie : **Quantitative Structure-Activity Relationship (QSAR), Molecular Docking, Searching Pharmacophore, Virtual Screening, Toxicity Test, and Pharmacokinetic Profile of Derivative Compounds Coumarin-Chalcon-Urea As An Anticancer Agent Liver Cancer In Silico**

Problems and Objectives : HCC is the second most deadly carcinoma after pancreatic carcinoma. Almost all patients die within 6-7 months after being diagnosed. This poor prognosis is associated with a poor initial diagnosis and tumor resistance because HCC is asymptomatic or the symptoms are only formed at an advanced stage. This study aims to find new compounds as drug candidates for the treatment of liver cancer with high anticancer activity and low toxicity and good pharmacokinetics.

Methodology : The procedure starts with the geometry modeling and optimization of the molecular structure of the HyperChem 8.0 software. Geometry optimization is done by the PM3 method. HKSA descriptor calculations, determination of pharmacophore features, virtual molecular screening and docking were carried out using MOE 2009 software. Further toxicity testing with Toxtree software and AdmetSAR program, as well as determination of pharmacokinetic profiles using the PreADME program was carried out on two zinc compounds which have an appropriate interaction with receptor.

Findings : From the research obtained the equation in HKSA: $\text{LogIC}_{50} = 3,125 + (0,060 \times \text{AM1_dipole}) + (-0,024 \times \text{ASA_H}) + (-0,259 \times \text{PEOE_VSA-6}) + (-0,071 \times \text{Q_VSA_PNEG}) + (0,034 \times \text{VSA})$, where $r^2 = 0.870$ and cross validation $q^2 = 0.75$, the results of virtual screening on zinc databases obtained by compounds with ZINC12138892 code are the best compounds in terms of compatibility in pharmacophore queries, pharmacophore docking, prediction of bioavailability using Lipinski rules, ADME prediction and prediction of toxicity.

Recommendation : It is expected that this research can be continued by designing new VEGFR2 inhibitor compounds with better activities.

Keywords : QSAR, molecular docking, pharmacophore, liver cancer, VEGFR2

BAB I

PENDAHULUAN

A. Latar Belakang Masalah

Penyakit kanker merupakan salah satu penyebab kematian utama di seluruh dunia. Pada tahun 2012, sekitar 8,2 juta kematian disebabkan oleh kanker. Kanker paru, hati, perut, kolorektal, dan kanker payudara adalah penyebab terbesar kematian akibat kanker setiap tahunnya (Kemenkes RI, 2015: 1). Kanker merupakan sel yang berproliferasi secara abnormal dan merupakan penyebab kematian kedua pada manusia setelah penyakit kardiovaskular. Sudah banyak pengobatan untuk antikanker, seperti kemoterapi dan radioterapi. Namun, toksisitas yang tinggi dan resistensi obat membatasi hasil terapi yang diinginkan (Rahayu dan Tjitraresmi, 2017: 2).

Salah satu kanker yang patut diwaspadai adalah kanker hati atau biasa disebut juga dengan hepatoma. Karsinoma hepatoseluler atau *Hepatocellular Carcinoma* (HCC) merupakan penyakit hepar golongan primer yang disebabkan oleh neoplasma yang ganas, terdiri dari sel menyerupai hepatosit dengan derajat diferensiasi yang bervariasi. Pada manusia, sebagian besar HCC muncul dengan latar belakang hepatitis kronis atau sirosis. HCC merupakan karsinoma kedua paling mematikan setelah karsinoma pankreas. Hampir seluruh pasien meninggal dalam 6-7 bulan setelah didiagnosa. Prognosis buruk ini berhubungan dengan masih kurang baiknya diagnosis awal dan resistensi tumor karena HCC bersifat asimtomatik atau gejalanya baru terbentuk saat stadium lanjut (Alianto, 2015: 440).

Karena lambatnya disadari pasien yang terkena HCC, hanya 15% yang dapat melakukan pengobatan kuratif. Selain itu, beberapa pasien mungkin menderita akibat pengobatan dengan operasi yang berkelanjutan atau berulang (Elbaz, *et. al.* 2013: 538-539). Pengobatan HCC saat ini, termasuk bedah reseksi dan kemoterapi, tidak memberikan efek yang signifikan pada HCC, kecuali untuk transplantasi hati, maka penggunaan agen kemoterapi terbatas (Kurt, *et al.* 2017: 1-2). Oleh karena itu, pencarian terhadap antikanker baru diperlukan untuk memaksimalkan efektivitas dan meminimalkan toksisitasnya.

Dalam islam, segala hal yang terhampar di depan manusia adalah tanda kebesaran-Nya. Tidak hanya ilmu agama, ilmu dunia pun tidak luput dari perhatian-Nya, salah satunya yaitu ilmu kesehatan. Ilmu kesehatan pada era modern sekarang ini telah mencakup seluruh aspek kehidupan manusia seluruh alam. Dengan maraknya masalah kesehatan, baik itu permasalahan lingkungan maupun permasalahan pasien (individu) dengan penyakit tertentu. Sebagaimana terdapat dalam QS. Asy-Syu'ara/26: 78-80

الَّذِي خَلَقَنِي فَهُوَ يَهْدِينِ ﴿٧٨﴾ وَالَّذِي هُوَ يُطْعِمُنِي وَيَسْقِينِ ﴿٧٩﴾ وَإِذَا مَرِضْتُ فَهُوَ يَشْفِينِ ﴿٨٠﴾

Terjemahnya:

“(Yaitu Tuhan) yang telah menciptakan Aku, Maka Dialah yang menunjuki Aku. Dan Tuhanku, yang Dia memberi Makan dan minum kepadaKu. Dan apabila aku sakit, Dialah yang menyembuhkan aku” (Kementrian Agama, Al-Qur’an dan Terjemahnya. 2018).

Pada ayat tersebut menjelaskan bahwa disandarkan penyakit pada dirinya (manusia), sekalipun hal itu merupakan *qadar*, *qadla* dan ciptaan Allah. Akan tetapi disandarkannya penyakit itu pada dirinya sebagai sikap beradab. Makna hal itu bahwa, jika aku menderita sakit, maka tidak ada seorang pun yang kuasa menyembuhkannya kecuali Allah swt., sesuai takdirnya masing-masing. Tetapi selain berserah diri pada-Nya, kita sebagai manusia juga dapat berusaha untuk mencari obat untuk penyakit tersebut, karena Allah swt. telah memberikan manusia akal untuk digunakan di dunia sebaik-baiknya.

Vascular endothelial growth factor receptor (VEGFR) tirosin kinase adalah target obat yang telah divalidasi secara klinis untuk terapi kanker. VEGF/VEGFR2 dianggap sebagai jalur proangiogenik paling penting untuk meningkatkan semua tahap angiogenesis termasuk permeabilitas vaskular, kelangsungan hidup sel endotelial, proliferasi, migrasi atau invasi ke jaringan sekitar, dan pembentukan tabung kapiler. Perkembangan kanker sering dikaitkan dengan ekspresi VEGF, dan jalur sinyal VEGF/VEGFR2 pada umumnya dianggap sebagai mediator utama tumor angiogenesis, sehingga VEGF/VEGFR2 merupakan sistem target untuk intervensi terapeutik pada kanker (Kesuma, 2018: 3).

Upaya pengembangan obat yang telah ada dapat dilakukan dengan rancangan obat. Rancangan obat bertujuan untuk mendapatkan obat baru dengan aktivitas yang lebih baik dan mempunyai toksisitas yang lebih rendah dengan melalui modifikasi struktur. Modifikasi struktur dilakukan dengan mensintesis sejumlah turunan senyawa induk, melakukan identifikasi struktur dan melakukan

uji aktivitas biologisnya. Perubahan struktur dari suatu senyawa akan mengubah sifat fisikokimia senyawa, termasuk sifat lipofilik, elektronik dan sterik, dan perubahan sifat fisikokimia ini akan menyebabkan perubahan aktivitas biologis senyawa (Kesuma, 2018: 1).

Sebelum melakukan sintesis pada modifikasi struktur, diperlukan suatu upaya untuk memprediksi sifat fisikokimia, aktivitas biologis dan toksisitas senyawa yang akan disintesis. Metode yang sekarang sedang dikembangkan adalah pemodelan molekul. Permodelan molekul yang juga disebut uji *in silico* yang mempunyai peran yang sangat penting dalam bidang Kimia Medisinal dalam rangka merancang, menemukan dan optimasi senyawa bioaktif pada proses pengembangan obat (Kesuma, 2018: 1).

Kumarin (1,2H-chromen-2-on atau 2H-1-benzopiran-2-on) adalah senyawa bisiklik yang bersifat oksigen heterosiklik, terdiri dari benzena dan cincin 2-pyrone. Kumarin juga merupakan kelas luas dari senyawa alami dan sintetis yang menunjukkan aktivitas farmakologi yang beragam, salah satunya adalah sebagai antikanker (Basanagouda, *et al.* 2014: 3).

Kalkon (1,3-difenil-2-propen-1-on) terdiri dari dua cincin aromatik yang dihubungkan oleh gugus karbonil tak jenuh, yang termasuk dalam produk alami kelas flavonoid. Kalkon telah menarik perhatian peneliti karena sifat farmakologisnya dan turunan sintetisnya memiliki aktivitas sitotoksik yang signifikan terhadap berbagai kanker (Pingaew, *et al.* 2014: 65).

Turunan urea, terutama bis-aril urea, adalah salah satu kelas yang terkenal di antara agen antikanker, karena aktivitas penghambatan yang kuat terhadap

pertumbuhan sel kanker. Sorafenib dan turunan diariil-urea yang serupa telah memberikan sintesis turunan urea baru karena aktivitas antiproliferatif yang tinggi (Lu, *et al.* 2014: 351).

Pada penelitian antikanker sebelumnya, dilaporkan bahwa aktivitas kumarin, kalkon dan urea, yang sekarang ditangani dengan desain dan sintesis turunan kumarin-kalkon-urea terbukti bahwa senyawa yang disintesis menghambat proliferasi sel kanker, tetapi senyawa tersebut tidak menunjukkan efek penghambatan proliferasi pada sel normal dikonsentrasi yang sama (Kurt, *et al.* 2017: 2-8).

Berdasarkan masalah yang ada diatas, maka fokus penelitian ini adalah pengembangan obat antikanker dari turunan kumarin-kalkon-urea dengan metode HKSA dan *docking* molekul, pencarian farmakofor senyawa terbaik dari hasil virtual skrining senyawa dari tanaman alam, serta prediksi toksisitas dan profil farmakokinetiknya.

B. Rumusan Masalah

1. Bagaimana model persamaan HKSA senyawa kumarin-kalkon-urea sebagai agen antikanker inhibitor VEGFR2 dalam mengatasi penyakit kanker hati?
2. Bagaimana fitur farmakofor ligan aktif dari senyawa kumarin-kalkon-urea sebagai inhibitor VEGFR2?
3. Senyawa-senyawa apa saja berdasarkan hasil virtual skrining dari senyawa bioaktif dari senyawa tanaman alam yang dapat berfungsi sebagai inhibitor VEGFR2?

4. Bagaimana model interaksi senyawa hasil virtual skrining sebagai inhibitor VEGFR2 berdasarkan fitur farmakofor?
5. Bagaimanakah prediksi toksisitas dan farmakokinetik senyawa hasil virtual skrining terbaik?

C. Definisi Operasional dan Ruang Lingkup Penelitian

1. Definisi Operasional

Hubungan Kuantitatif Struktur-Aktivitas (HKSA) merupakan pendekatan yang bertujuan untuk melihat parameter fisika-kimia yang paling penting dalam menentukan bagaimana senyawa organik berinteraksi dengan makromolekul dan untuk menetapkan skala numerik masing-masing senyawa. Pada tahap pengembangan ini, sifat yang paling penting adalah sifat sterik, elektronik dan kelarutan senyawa (Verma, dkk, 2010: 95-115).

Farmakofor merupakan posisi geometrik tiga dimensi dari gugus-gugus yang terdapat di dalam suatu ligan yang membentuk suatu pola yang unik dan dapat dikenali oleh reseptor secara spesifik yang bertanggung jawab terhadap proses pengikatan ligan dengan suatu reseptor dan aktivitas reseptor tersebut (Wermuth, 2008: 573).

Penambatan molekular atau *molecular docking* adalah prosedur komputasional yang digunakan untuk memprediksikan ikatan nonkovalen makromolekul, lebih sering, sebuah molekul besar (reseptor) dan sebuah molekul kecil (ligan) secara efisien, dimulai dari struktur-struktur yang tidak saling berikatan, struktur yang ditemukan dari simulasi dinamika molekular, *homology modelling*, dll. Tujuan penambatan

molekular adalah untuk memprediksi konformasi ikatan dan afinitas pengikatan (Nadendla, 2004: 51-60).

Virtual Screening atau virtual skrining disebut juga penapisan *in silico* merupakan metode komputasi dengan performa yang tinggi untuk menganalisa suatu *set database* dari senyawa kimia untuk mengidentifikasi kandidat senyawa obat. Keunggulan dari metode ini ialah mengefisienkan waktu penelitian dibandingkan dengan *screening* secara farmakologi (Wermuth, 2008: 218).

Profil farmakokinetik adalah profil yang diidentifikasi oleh Lipinski dalam “*Rule of 5*” untuk molekul mirip obat, yaitu tidak memiliki lebih dari 5 donor ikatan hidrogen, bobot molekulnya tidak lebih dari 500, LogP nya tidak lebih di atas 5, dan tidak boleh memiliki lebih dari 10 akseptor ikatan hidrogen (Kurt, *et al.* 2017: 8).

Karsinoma hepatoseluler atau *Hepatocellular Carcinoma* (HCC) merupakan penyakit hepar golongan primer yang disebabkan oleh neoplasma yang ganas, terdiri dari sel menyerupai hepatosit dengan derajat diferensiasi yang bervariasi (Alianto, 2015: 440).

Senyawa turunan kumarin-kalkon-urea adalah hasil sintesis senyawa turunan dari kumarin, kalkon dan urea yang telah diuji *secara in vitro* memiliki aktivitas antiproliferatif dalam melawan sel kanker hati pada manusia (HepG2) (Kurt, *et al.*, 2017: 1).

2. Ruang Lingkup Penelitian

Menentukan sifat fisika-kimia dari senyawa turunan kumarin-kalkon-urea dan perannya sebagai agen antikanker dalam mengatasi penyakit kanker hati atau *Hepatocellular Carcinoma* (HCC) berdasarkan model HKSA, menentukan fitur farmakofor senyawa turunan kumarin-kalkon-urea dan peranannya sebagai agen antikanker pada reseptor VEGFR2 dalam mengatasi penyakit kanker hati, virtual skrining senyawa tanaman alam dari senyawa turunan kumarin-kalkon-urea yang berpotensi sebagai agen antikanker, mengamati interaksi yang terjadi antara senyawa turunan kumarin-kalkon-urea terhadap situs pengikatan reseptor pada reseptor VEGFR2, serta mendapatkan sifat farmakokinetik yang terbaik dari senyawa kumarin-kalkon-urea yang berpotensi meningkatkan efektivitas antikanker dan mengurangi toksisitasnya.

D. Kajian Pustaka

Basanagouda *et al.* 2014 dalam jurnal *Synthesis, structure–activity relationship of iodinated-4-aryloxymethyl-coumarins as potential anti-cancer and anti-mycobacterial agents* melaporkan bahwa secara umum senyawa *iodinated-4-aryloxymethyl-coumarins* yang memiliki klorin pada posisi 6 dan 7 serta bromin pada posisi 6 memiliki aktivitas potensial dibandingkan dengan substitusi lainnya. Observasi yang cermat pada SAR, senyawa *7-Chloro-4-(4-iodo-phenoxy-methyl)-chromen-2-one* dan *6-Bromo-4-(4-iodo-phenoxy-methyl)-chromen-2-one* menunjukkan antikanker yang kuat dan aktivitas anti-mikobakteri. Kedua senyawa bahkan lebih anti-mikobakteri daripada obat-obatan standar di bawah

penyelidikan. Aktivitas yang lebih tinggi dari senyawa ini dapat menghasilkan antikanker baru dan obat anti-mikobakteri di masa depan.

Salem *et al.* 2016 dalam artikel *Synthesis and Characterization of Some New Coumarins with In Vitro Antitumor and Antioxidant Activity and High Protective Effects against DNA Damage* melaporkan bahwa sintesis senyawa kumarin di evaluasi aktivitas sitotoksik, antioksidan dan perlindungan terhadap kerusakan DNA. Semua senyawa yang diuji menunjukkan aktivitas non-sitotoksik yang kuat dalam melawan 4 macam sel kanker (HePG2, HCT-116, PC3, dan MCF-7). Senyawa *Ethyl 2-Oxo-5-(3-oxo-3H-benzo[f]chromen-2-yl)-3,4-dihydro-2H-pyran-3-carboxylate* menunjukkan aktivitas yang hampir sama dengan 5-FU sebagai senyawa standar melawan PC3 dan senyawa *1-Carbamothioyl-5-(3-oxo-3H-benzo[f]chromen-2-yl)-1H-pyrazole-3-carboxylic Acid* menunjukkan aktivitas yang lebih tinggi dibandingkan 5-FU dalam melawan HCT-116. Untuk aktivitas melawan HePG2, senyawa yang memiliki nilai sitotoksi tertinggi adalah senyawa *1-Carbamothioyl-5-(2-oxo-2H-chromen-3-yl)-1H-pyrazole-3-carboxylic Acid*, *1-Carbamothioyl-5-(3-oxo-3H-benzo[f]chromen-2-yl)-1H-pyrazole-3-carboxylic Acid* dan *Ethyl 2-Oxo-5-(3-oxo-3H-benzo[f]chromen-2-yl)-3,4-dihydro-2H-pyran-3-carboxylate* dengan masing-masing nilai IC_{50} 10.8 ± 0.88 ; 9.3 ± 0.58 dan 8.2 ± 0.45 $\mu\text{g/mL}$.

Mai *et al.* 2014 dalam artikel *Chalcones with electron-withdrawing and electron-donating substituents: Anticancer activity against TRAIL resistant cancer cells, structureactivity relationship analysis and regulation of apoptotic proteins* melaporkan bahwa kalkanon yang berikatan dengan $-\text{NH}_2$ pada cincin A,

memiliki aktivitas paling kuat menginduksi apoptosis pada kanker usus besar manusia TRAIL yang resisten (HT-29) dengan meningkatkan kematian pada reseptor (TRAIL-R1 dan TRAIL-R2) dan proapoptotic penanda (p21, BAD, BIM, BID, BAX, SMAC, caspase 3 dan caspase 8) serta mengurangi penanda anti-apoptosis (livin, XIAP dan HSP27). Potensi tersebut akan membuka cara untuk pengembangan agen antikanker di masa depan.

Hawash *et al.* 2017 dalam artikel *Synthesis and biological evaluation of novel pyrazolic chalcone derivatives as novel hepatocellular carcinoma therapeutics* melaporkan bahwa sintesis serangkaian turunan kalkon pirazolik dan dievaluasi aktivitas antiproliferasinya melawan sel kanker manusia dibandingkan dengan kemoterapi yang digunakan secara klinis seperti 5-FU dan Cladrabine. Senyawa (*E*)-1-(2,5-Dimethoxyphenyl)-3-(1-phenyl-3-(pyridin-3-yl)-1H-pyrazol-4-yl)prop-2-en-1-on dan (*E*)-1-(2,5-Dimethoxyphenyl)-3-(1-phenyl-3-(pyridin-4-yl)-1H-pyrazol-4-yl)prop-2-en-1-on adalah *derivative* yang paling efektif dalam aktivitas antiproliferasi dengan nilai IC₅₀ lebih kecil dari 5 µM terhadap sel HCC yang digunakan. Selain itu, senyawa ini kurang aktif pada sel normal (MCF12A dan MRC-5). Dengan menyelidiki lebih lanjut pada efektor molekuler, menunjukkan bahwa kedua senyawa tersebut menyebabkan penangkapan siklus sel pada fase G2/M dan kematian sel apoptosis yang terinduksi.

Chen, *et al.* 2016 dalam artikel *Design, synthesis, and biological evaluation of novel quinazolinyl-diaryl urea derivatives as potential anticancer agents* melaporkan bahwa serangkaian turunan quinazolinil-diaril urea yang baru berhasil disintesis dan diuji untuk aktivitas antiproliferasi melawan tiga sel

kanker (HepG2, MGC-803, dan A549). Di antara semua target, senyawa *N-((4-tert-butyl)phenyl)-N'-(3-(((6,7dimethoxyquinazolin4yl)amino)methyl)phenyl)urea* menunjukkan aktivitas penghambatan terkuat terhadap sel kanker tertentu dibandingkan dengan sampel positif dari referensi obat seperti sorafenib dan gefitinib. Analisis farmakologi *in vitro* menunjukkan bahwa senyawa tersebut memberikan aktivitas antiproliferasinya terhadap sel A549 dengan cara menginduksi apoptosis dan ROS intraseluler, menangkap siklus sel pada fase G0/G1, mengurangi potensi membran, dan secara efektif mengintervensi jalur Raf/MEK/ERK. *Docking* molekuler dan analisis SAR mengungkapkan bahwa senyawa tersebut dapat mengikat dengan baik pada situs aktif c-Raf, sehingga dapat menjadi obat yang menjanjikan untuk penemuan obat antitumor masa depan.

Lu *et al.* 2014 dalam artikel *Design, synthesis and evaluation of novel diaryl urea derivatives as potential antitumor agents* melaporkan bahwa semua senyawa sintesis dievaluasi aktivitas penghambatannya pada sel kanker seperti MX-1, A375, HepG2, Ketr3 dan HT-29. Modifikasi senyawa lebih difokuskan pada variasi struktur diaryl urea dan amida. Dapat disimpulkan bahwa senyawa yang mengandung vinil, etinil dan fenil menunjukkan aktivitas ampuh melawan MX-1 dan HT-29 dengan nilai IC_{50} pada tingkat mikromolar. Senyawa *1-(4-(3-(1-Phenylethylcarbonyl)phenyl)phenyl)-3-(4-chloro-3-(trifluoromethyl)phenyl)urea* dengan gugus linker 1,3-disubstitusi fenil menunjukkan aktivitas spektrum luas yang kuat terhadap sel tumor dengan nilai IC_{50} kurang atau sama dengan 6 mM. Juga patut dicatat bahwa analog 1,4-disubstitusi fenil pada *1-(4-(4-(2,6*

Dimethylmorpholinocarbamoyl) phenyl) phenyl)-3-(4-chloro-3 (trifluoromethyl) phenyl) urea dan *1-(4-(4-(2,6-Dimethylmorpholinocarbamoyl)phenyl) phenyl)-3-(2-chloro-5 (trifluoromethyl)phenyl)urea* yang mengandung amida polar menunjukkan penghambatan selektif terhadap sel HT-29, sekitar delapan kali lipat lebih kuat dari sorafenib.

Pingaew *et al.* 2014 dalam artikel *Synthesis, biological evaluation and molecular docking of novel chalconecoumarin hybrids as anticancer and antimalarial agents* melaporkan bahwa senyawa *(E)-4-((1-(3-(3-(2,3-dimethoxyphenyl)acryloyl)phenyl)-1H-1,2,3-triazol-4-yl)methoxy)-2H-chromen-2-one* adalah agen sitotoksik yang paling potensial ($IC_{50} = 0,53 \mu M$) terhadap sel HepG2 daripada obat kontrol, etoposide, tapi sayangnya beracun terhadap sel non-kanker atau sel Vero ($IC_{50} = 4.26 \mu M$). Secara signifikan, analog *(E)-7-((1-(4-(3-(2,3-dimethoxyphenyl)acryloyl)phenyl)-1H-1,2,3-triazol-4-yl)methoxy)-2H-chromen-2-one* menampilkan aktivitas paling kuat kedua (HepG2) ($IC_{50} = 8,18 \mu M$) dan tidak beracun untuk sel Vero.

Kurt *et al.* 2017 dalam artikel *Synthesis and biological evaluation of novel coumarin-chalcone derivatives containing urea moiety as potential anticancer agents* melaporkan bahwa aktivitas kumarin, kalkon dan urea, yang sekarang ditangani dengan desain dan sintesis turunan kumarin-kalkon-urea terbukti bahwa senyawa yang disintesis menghambat proliferasi sel kanker, tetapi mereka tidak menunjukkan efek demikian pada sel normal dikonsentrasi yang sama.

E. Tujuan dan Kegunaan Penelitian

1. Tujuan Penelitian

- a. Mendapatkan persamaan HKSA dan fitur farmakofor dari senyawa turunan kumarin-kalkon-urea sebagai agen antikanker inhibitor VEGFR2 dalam mengatasi penyakit kanker hati.
- b. Mengetahui model interaksi senyawa hasil *docking* dari senyawa turunan kumarin-kalkon-urea terhadap situs pengikatan (*binding site*) reseptor VEGFR2.
- c. Mendapatkan senyawa ligan yang aktif hasil virtual skrining senyawa tanaman alam dari turunan senyawa kumarin-kalkon-urea sebagai agen antikanker berdasarkan fitur farmakofor.
- d. Mengetahui model interaksi senyawa hasil virtual skrining sebagai inhibitor VEGFR2.
- e. Menemukan prediksi toksisitas dan farmakokinetik senyawa hasil virtual skrining terpilih secara *in silico*.

2. Kegunaan Penelitian

Manfaat dari penelitian ini adalah sebagai dasar teori dalam penemuan dan pengembangan obat baru antikanker dalam mengatasi penyakit kanker hati yang dapat mengurangi faktor waktu dan biaya dalam penelitian lebih lanjut.

BAB II

KAJIAN PUSTAKA

A. *Kanker Hati atau Hepatocellular Carcinoma (HCC)*

Karsinoma hepatoseluler atau *Hepatocellular Carcinoma (HCC)* merupakan penyakit hepar golongan primer yang disebabkan oleh neoplasma yang ganas, terdiri dari sel menyerupai hepatosit dengan derajat diferensiasi yang bervariasi. Pada manusia, sebagian besar HCC muncul dengan latar belakang hepatitis kronis atau sirosis. HCC bersifat asimtomatik atau gejalanya terbentuk saat stadium lanjut. Sebuah laporan dari Hong Kong menunjukkan bahwa 76% pasien HCC datang dengan keluhan rasa tidak nyaman pada abdomen atau distensi abdomen. Tanda-tanda lainnya berupa berat badan turun (4,4%), pendarahan gastrointestinal (4,4%), dan jaundice (2,6%) (Alianto, 2015: 440).

HCC menjadi salah satu penyakit ganas terbanyak pada orang dewasa, lebih dominan pada laki-laki dari pada perempuan dengan perbandingan 2-4 : 1. Angka kejadian tertinggi ditemukan di Asia dan Afrika dengan kelompok populasi berusia 20-40 tahun, sedangkan di negara barat jarang terjadi sebelum usia 60 tahun. HCC merupakan karsinoma kedua paling mematikan setelah karsinoma pankreas. Hampir seluruh pasien meninggal dalam 6-7 bulan setelah didiagnosis. Hal ini umum terjadi di daerah endemisitas tinggi (Alianto, 2015: 440).

Secara nasional, prevalensi penyakit kanker pada penduduk semua umur di Indonesia tahun 2013 sebesar 1,4‰ atau diperkirakan sekitar 347.792 orang. Provinsi D.I. Yogyakarta memiliki prevalensi tertinggi untuk penyakit kanker,

yaitu sebesar 4,1%. Berdasarkan estimasi jumlah penderita kanker Provinsi Jawa Tengah dan Provinsi Jawa Timur merupakan provinsi dengan estimasi penderita kanker terbanyak, yaitu sekitar 68.638 dan 61.230 orang (Kemenkes RI, 2015: 3).

Menurut data GLOBOCAN (IARC) tahun 2012 tentang persentase kasus baru dan kematian yang disebabkan oleh kanker, diketahui bahwa kasus baru dan kematian akibat kanker hati pada penduduk laki-laki maupun perempuan memiliki persentase yang hampir berimbang. Penduduk laki-laki memiliki presentase kasus baru 15,3% dan kematian 14,3%, sedangkan penduduk perempuan memiliki persentase kasus baru 5,5% dan kematian 5,1%. Hal ini membuktikan bahwa penduduk laki-laki lebih beresiko terkena kanker hati daripada penduduk perempuan. Faktor perilaku seperti merokok dan obesitas serta pola makan memiliki peran penting timbulnya penyakit kanker di Indonesia. Diketahui bahwa kelompok umur 25-34 tahun, 35-44 tahun, dan 45-54 tahun merupakan kelompok umur dengan prevalensi kanker yang cukup tinggi. Kelompok umur tersebut lebih berisiko terhadap kanker karena faktor perilaku dan pola makan yang tidak sehat (Kemenkes RI, 2015: 2-6).

HCC adalah termasuk penyebab ketiga kematian terkait kanker di seluruh dunia, dengan insiden terhitung lebih dari 600.000 kasus baru setiap tahun. Pengobatan HCC saat ini, termasuk bedah reseksi dan kemoterapi, tidak memberikan efek yang signifikan pada HCC, kecuali untuk transplantasi hati, oleh karena itu penggunaan agen kemoterapi terbatas. Akibatnya, pengembangan agen kemoterapi baru sangat penting (Kurt, *et al.* 2017: 1-2).

Banyak kemajuan yang mengubah penanganan dari HCC. Deskripsi profil molekuler dan proteomik untuk prognosis HCC, sub tipe penyakit, dan pemilihan obat membuka jalan untuk identifikasi terapi target molekul yang baru. Karena lambatnya di sadari pasien yang terkena HCC, hanya 15% yang dapat melakukan pengobatan kuratif. Selain itu, beberapa pasien mungkin menderita akibat pengobatan dengan operasi yang berkelanjutan atau berulang, sehingga terapi sistemik dapat memiliki peran (Elbaz, *et. al.* 2013: 538-539).

Patogenesis dari HCC adalah proses yang kompleks. Proses panjang ini dikaitkan dengan sejumlah besar perubahan epigenetik dan genetik yang akhirnya akan mengarah pada perubahan dalam jalur molekuler. Perubahan ini dianggap sebagai potensial terapeutik baru dan termasuk terhadap jalur transduksi sinyal, onkogen dan faktor pertumbuhan serta reseptornya. Namun, sebagian besar terapi target molekuler terkait dengan tingkat respons tumor yang rendah. Penghambatan jalur signaling tunggal dapat menginduksi aktivasi umpan balik jalur lain. Ini mungkin merupakan alasan penting untuk menggunakan terapi kombinasi dalam uji klinis untuk kemungkinan aktivitas sinergis yang menguntungkan (Elbaz, *et. al.* 2013: 539).

B. Penelitian Obat Baru secara Kimia Komputasi (*In Silico*)

Pada awal perkembangan obat, usaha penemuan obat baru pada umumnya bersifat coba-coba (*trial and error*) sehingga biaya pengembangan obat baru sangat mahal. Untuk satu jenis obat sampai dapat dipasarkan dibutuhkan biaya lebih kurang 1 triliun. Hal ini dapat dipahami mengingat bahwa dari 8.000 sampai 10.000 senyawa baru yang disintesis atau yang didapat dari sumber alam,

setelah melalui berbagai uji kimia, fisika, aktifitas, toksisitas, farmakokinetik, farmakodinamik dan uji klinik, kemungkinan hanya satu senyawa yang secara klinik dapat digunakan sebagai obat (Siswandono, 2001: 9).

Dalam pengembangan obat baru secara laboratorium ada beberapa langkah eksperimen yang perlu dilakukan, seperti: desain, sintesis, purifikasi dan identifikasi. Kesemuanya itu harus dilalui sebelum sampai pada tahap uji aktivitas. Kelemahannya adalah jika semua tahap tersebut telah dikerjakan, namun hasil yang diperoleh (senyawa yang diteliti) ternyata mempunyai aktivitas yang tidak lebih baik. Sehingga waktu, biaya, dan tenaga yang telah dikeluarkan dalam serangkaian kerja laboratorium menjadi terbuang. Dalam hal inilah aplikasi kimia komputasi dapat berperan penting dalam kimia medisinal terutama dalam hal perancangan obat, prediksi teoritis tentang sifat-sifat kimia dan aktivitas suatu molekul. Rancangan obat diterapkan dalam upaya untuk mendapatkan obat baru dengan efektivitas yang lebih tinggi berdasarkan penalaran yang rasional dengan semaksimal mungkin mengurangi faktor coba-coba. Hal ini dapat membantu mengurangi kegagalan riset-riset eksperimental di laboratorium serta dapat mengefisienkan tenaga, waktu, biaya riset dan dapat mengurangi hewan uji yang digunakan serta untuk melindungi lingkungan dari toksisitas. Penggunaan komputer sangat berperan guna membantu mempercepat penyelesaian perhitungan-perhitungan numeris untuk menghitung sifat molekul yang kompleks dan hasil perhitungannya berkorelasi secara signifikan dengan eksperimen (Sardjoko, 1993; 51).

C. Hubungan Kuantitatif Struktur Aktivitas (HKSA)

Hubungan Kuantitatif Struktur Aktivitas (HKSA) adalah salah satu metode kimia komputasi yang mempelajari korelasi secara kuantitatif antara struktur molekul dan nilai aktivitas biologis yang terukur secara eksperimen. Kajian HKSA menjabarkan suatu model persamaan yang menghubungkan ketergantungan harga aktivitas suatu senyawa secara eksperimen dengan struktur molekul. Secara umum aktivitas senyawa adalah aktivitas biologis yang telah diuji secara klinis. Perkembangan kimia komputasi memungkinkan untuk perhitungan kuantum suatu senyawa sehingga dapat diperoleh struktur elektronik senyawa tersebut, yang dapat dinyatakan dengan parameter muatan atom, momen dwikutub, kerapatan elektron dan lain-lain (Leach, 1996: 129).

Hubungan Kuantitatif Struktur Kimia (HKSA) dan aktivitas biologis obat merupakan bagian penting rancangan obat, dalam usaha mendapatkan suatu obat baru dengan aktivitas yang lebih besar, selektivitas yang lebih tinggi, toksisitas atau efek samping yang sekecil mungkin dan kenyamanan yang lebih besar. Selain itu dengan menggunakan model HKSA, akan lebih banyak menghemat biaya atau lebih ekonomis, karena untuk mendapatkan obat baru dengan aktivitas yang dikehendaki, faktor coba-coba ditekan sekecil mungkin sehingga jalur sintesis menjadi lebih pendek (Verma dkk, 2010: 95-115).

Pendekatan hubungan struktur dan aktivitas biologis mulai berkembang dengan pesat dengan dipelopori oleh Corwin Hansch dan kawan-kawan, yang menghubungkan struktur kimia dan aktivitas biologis obat melalui sifat-sifat kimia fisika umum seperti kelarutan dalam lemak, derajat ionisasi atau ukuran

molekul. Setelah itu hubungan kuantitatif antara aktivitas biologis dan parameter yang menggambarkan perubahan sifat kimia fisika yaitu parameter hidrofobik, elektronik dan sterik (Verma dkk, 2010: 95-115).

1. Hubungan Kuantitatif Struktur-Aktivitas

a. Model Pendekatan HKSA Free-Wilson

Free dan Wilson (1964) mengembangkan suatu konsep hubungan struktur dan aktivitas biologis obat yang dinamakan model *de novo* atau model matematik Free-Wilson. Bahwa respon biologis merupakan sumbangan aktivitas dari gugus-gugus substituen terhadap aktivitas senyawa induk.

Kekurangan model Free-Wilson :

- 1) Tidak dapat digunakan bila efek substituen bersifat tidak linier atau bila ada interaksi antar substituent
- 2) Memerlukan banyak senyawa dengan kombinasi substituen bervariasi untuk dapat menarik kesimpulan yang benar

Kelebihan model Free-Wilson :

- 1) Dapat menghubungkan secara kuantitatif antara struktur kimia dan aktivitas biologis dari turunan senyawa dengan bermacam-macam gugus substitusi pada berbagai zona
- 2) Model ini digunakan bila tidak ada data tetapan kimia fisika dari senyawa-senyawa yang diteliti dan uji aktivitas lebih lambat dibanding dengan sintesis turunan senyawa

b. Model Pendekatan HKSA Hansch

Hansch (1963) mengemukakan konsep bahwa hubungan struktur kimia dengan aktivitas biologis (\log_1/IC_{50}) suatu turunan senyawa dapat dinyatakan secara kuantitatif melalui parameter-parameter sifat kimia fisika dari substituen yaitu parameter hidrofobik (π), elektronik dan sterik. Model ini disebut model hubungan energi bebas linier atau penekatan ekstratermodinamik.

1) Deskriptor elektronik

a) Parameter elektronik Hammett (σ , σ^+ , dan σ^-)

Parameter elektronik Hammett, σ , σ^+ , dan σ^- , digunakan untuk menentukan efek substituen pada sistem aromatik. σ normal digunakan untuk substituen pada sistem aromatik yang tidak terjadi interaksi resonansi kuat antara substituen dan reaksi pusat. Sebaliknya, σ^+ , dan σ^- digunakan ketika terdapat interaksi resonansi yang kuat antara substituen dan reaksi pusat (Verma dkk, 2011: 2865-2899).

Persamaan Hammett, yang berhubungan dengan laju atau konstanta keseimbangan reaksi rantai samping senyawa aromatik tersubstitusi pada daerah meta- dan para- merupakan salah satu hubungan energi bebas linear yang paling khas dan berguna hingga saat ini. Seperti yang disajikan pada persamaan umum berikut ini:

$$\log KX - \log KH = \rho\sigma$$

Dimana KH merupakan konstanta laju untuk senyawa aromatik yang tak tersubstitusi, KX untuk turunan aromatik tersubstitusi di daerah meta- dan para-, σ merupakan konstanta substituen untuk substituen yang dicari, dan ρ merupakan konstanta reaksi. Nilai kesatuan untuk konstanta

ρ pada keseimbangan ionisasi asam benzoat tersubstitusi pada air suhu 25°C dipastikan dengan dasar pada hasil eksperimen. Istilah σ umumnya didefinisikan sebagai pengukuran ukuran efek elektronik untuk substituen yang diberikan yang mewakili pengukuran distribusi muatan elektronik pada inti benzene. Nilai positif dari σ berarti penarikan elektron oleh substituen dari cincin aromatik sementara nilai negatif dari σ berarti pelepasan elektron (relatif terhadap H) terhadap cincin. Oleh karena itu, nilai positif ρ menandakan laju percepatan reaksi dengan penarikan elektron pada daerah reaksi. Sementara nilai negatif dari ρ menandakan bahwa reaksi dibantu oleh substituen pelepas elektron. Untuk mengetahui pengaruh resonansi pada laju reaksi, dua konstanta lainnya, σ^+ (substituen elektrofilik) dan σ^- (substituen nukleofilik), mulai diperkenalkan dan hubungan bebas energi linear kemudian diubah menjadi (Verma, 2011: 2865-2899):

$$\log KX - \log KH = \rho^+\sigma^+ \text{ atau } \rho^-\sigma^-$$

b) Konstanta Swain – Lupton (F dan R)

F dan R, konstanta field dan resonansi, diusulkan oleh Swain dan Lupton sebagai variabel independen untuk korelasi atau memprediksi efek substituen. Mereka mengevaluasi efek field substituen, F, menggunakan parameter Hammet (σ_m dan σ_p) berdasarkan pada persamaan:

$$F = a\sigma_m + b\sigma_p$$

Pada persamaan ini, koefisien a dan b dievaluasi dengan metode least-square. σ_m dan σ_p merupakan konstanta σ Hammett untuk substituen meta- dan para- secara berurutan. Untuk menghitung nilai R, Swain dan Lupton mengusulkan persamaan dengan asumsi bahwa $R = 0$ untuk $N^+(CH_3)_3$

$$\sigma_p = \alpha F + R$$

Dengan mensubstitusi persamaan di atas dengan nilai $F = 0.89$, $\sigma_p = 0.82$, dan $R = 0$ untuk $N^+(CH_3)_3$, maka ditemukan nilai α adalah 0.921. F dan R kemudian dihitung untuk substituen apa saja yang nilai σ_m dan σ_p telah diketahui (Verma, 2011: 2865-2899).

c) Muatan atom (q)

Efek substituen baik pada muatan atom dan pergeseran kimia mencerminkan efek substituen elektronik (Verma, 2011: 2865-2899).

d) Energi Disosiasi Ikatan (Bond Dissociation Energy)

Energi ikatan disosiasi, pengukuran kekuatan ikatan pada ikatan kimia, didefinisikan sebagai perubahan entalpi standar ketika ikatan dipotong dengan homolisis pada suhu spesifik. Hal tersebut diamati pada penelitian sebelumnya yang menghitung energi disosiasi ikatan homolisis OH dapat disajikan sebagai parameter elektronik untuk fenol, yang kemudian selanjutnya didukung dengan korelasi yang baik antara energi disosiasi ikatan dan σ^+ substituen X ($n = 19$, $r = 0.982$) untuk seri 4-X-fenol (Verma, 2011: 2865-2899).

e) EHOMO, ELUMO, dan EHOMO – ELUMO (Celah H – L)

Berdasarkan teori orbital terdepan, energi dari *the highest occupied molecular orbital* (EHOMO) dan *the lowest unoccupied molecular orbital* (ELUMO) dapat menentukan kinetika reaksi kimia. Pada beberapa tahun belakangan ini, EHOMO, ELUMO, dan EHOMO – ELUMO (Celah H – L) telah berhasil digunakan sebagai deskriptor elektronik pada berbagai model HKSA.

EHOMO berhubungan dengan kapasitas molekul untuk mendonasikan elektron kepada aseptor dengan orbital molekul yang kosong. Oleh karena itu, molekul dengan EHOMO yang tinggi akan memiliki kemampuan mendonorkan elektron yang lebih tinggi dan akan lebih reaktif. Sebaliknya, ELUMO menunjukkan kemampuan molekul untuk menerima elektron. Oleh karena itu, molekul yang berhubungan dengan nilai ELUMO rendah akan menjadi aseptor elektron yang kuat dibandingkan dengan molekul yang memiliki nilai yang tinggi. Hal inilah yang menjadi alasan nilai ELUMO meningkat dengan adanya pengaruh EDG (*Electron Donating Groups*) (Verma, 2011: 2865-2899).

2) Deskriptor Hidrofobik

Parameter hidrofobik merupakan salah satu deskriptor molekul yang paling penting dan sering digunakan pada studi HKSA karena kegunaannya pada prediksi farmakokinetik obat dan oleh karena itu, sangat berpengaruh pada nasib molekul obat baru. Hidrofobisitas molekul secara tradisional diekspresikan sebagai logaritma koefisien partisi ($\log P$) untuk partisi molekul antara fase organik dan fase air. Fase

organik meniru interaksi fosfolipid membran sel. Semenjak Hansch *et al.* memelopori logaritma koefisien partisi antara n-oktanol dan air ($\log P_{oct}$ atau $\log P$) telah digunakan secara luas sebagai deskriptor hidrofobik pada analisis HKSA (Verma, 2011: 2865-2899).

3) Deskriptor Sterik

Parameter ES Taft merupakan parameter yang pertama yang berhasil untuk menghitung fitur sterik berbagai gugus fungsi pada analisis HKSA, yang ditunjukkan dalam persamaan:

$$ES = \log(kX/kH)_{\text{asam}}$$

Dimana kX dan kH merupakan konstanta laju untuk hidrolisis asam dari ester, XCH_2COOR dan CH_3COOR berurutan. Parameter sterik lain yang umum digunakan pada pengembangan model HKSA adalah refraktivitas molar (m_r), volume molar ($MgVol$), berat molekul (BM), dan parameter stromol Verloop seperti panjang (L), luas minimum ($B1$) dan luas maksimum ($B5$) (Verma, 2011: 2865-2899).

4) Leave One Out Cross Validation (LOOCV)

Partial least square (PLS) adalah teknik regresi yang mengaplikasikan metode PCA. Di bidang seperti kimia yang melibatkan sangat sedikit data observasi karena eksperimen yang mahal, time consuming, dll, PLS sangat sering digunakan. Perbedaan yg mencolok antara PLS dan regresi linear biasa yang juga melibatkan banyak variabel (*multiple linear regression*, MLR) adalah PLS dapat terhindar dari jebakan co-linearity antara variabel. Selain itu, PLS juga dapat

menghasilkan model yang cukup akurat dengan data yang sedikit dan variabel yg banyak. PLS juga dapat memprediksi banyak variabel dependen secara sekaligus.

Prinsip kerja PLS sama dengan PCA. Beberapa variabel independen merangkum sebagian besar variasi di dalam data. Variabel-variabel ini disebut sebagai *latent factors*. Inilah yang akan diambil pada PLS. Hal yang serupa juga dilakukan untuk variabel dependen. Variabel yang terpilih dari variabel dependen disebut *latent responses*. Model PLS juga diturunkan dengan metode *least squares*, sama seperti MLR. Hanya saja karena model ini hanya mengikutkan *latent factors* atau hanya sebagian (partial) dari seluruh variabel yang ada, sehingga disebut *Partial Least Squares* (PLS) (Dehmer dkk, 2008: 1-5).

D. Penelusuran Fitur Farmakofor

Elemen farmakofor (juga disebut *feature*) umumnya didefinisikan sebagai sebuah atom atau sekelompok atom (contoh, ikatan hidrogen pendonor atom atau sistem cincin aromatik) yang umum untuk mengaktivasi senyawa dengan respek terhadap protein target dan esensial untuk aktivitas. Oleh karena itu, model farmakofor juga dapat dilihat sebagai gambaran dari kumpulan *feature* farmakofor (Wermuth, 2008: 573).

Definisi farmakofor yang digambarkan diatas berdasarkan pada titik pandang 3D molekul. Hal ini mencerminkan cara ahli kimia medisinal mencirikan kemampuan pengikatan molekul pada protein target. Bagaimanapun, perbedaan pada daerah yang diteliti menyebabkan peneliti memiliki pandangan yang

berbeda. Ahli kimia komputasi sering menggunakan istilah farmakofor pada arah yang lebih abstrak. Dipengaruhi oleh gambaran struktur molekul, sekumpulan hubungan topologi digunakan untuk mendefinisikan sifat dan dimensi molekul pada 2D. Disini, distribusi spasial dan topologi *feature* farmakofor dikonversi hingga gambaran dimensi yang lebih rendah, sebagai contoh, vektor. Vektor, yang menggambarkan deskriptor farmakofor, dimaksud sebagai “*fingerprints*”, “*keys*”, “*bitstrings*”, atau “*correlation vectors*” tergantung pada jenis informasi yang disimpan. Deskriptor farmakofor atau *fingerprints* dapat dianggap sebagai gambaran molekul yang berubah dan bukan eksplisit struktur 3D. *Fingerprints* ini sering digunakan untuk skrining secara cepat dari sekumpulan senyawa yang besar (Wermuth, 2008: 573).

Alasan lain mengapa pendekatan berbasis farmakofor sering digunakan pada desain obat adalah adanya struktur 3D yang hilang pada banyak makromolekul yang diinginkan. Banyak target obat sekarang ini merupakan *membrane-bound* dan sejauh ini hanya beberapa protein membran yang berhasil dikristalisasi. Tidak adanya penentuan secara eksperimen struktur protein 3D, penggunaan pendekatan berdasarkan ligan tidak langsung, termasuk farmakofor, merupakan satu-satunya cara untuk mendesain molekul bioaktif yang baru secara rasional (Wermuth, 2008: 574).

Farmakofor *modeling* pada desain obat dengan bantuan komputer umumnya digunakan pada tiga domain. Yang pertama merupakan definisi terhadap *feature* farmakofor yang bersangkutan pada molekul obat yang diperlukan untuk memperoleh efek biologis tertentu dan untuk membangun

HKSA yang jelas. Model farmakofor yang dikembangkan dengan baik, lebih cenderung pada informasi tentang dimensi pada rongga pengikatan reseptor, dapat digunakan untuk mendesain senyawa baru dan molekul yang lebih aktif yang cocok dengan model. Seringnya, model farmakofor seperti ini merupakan titik awal untuk analisis 3D-HKSA, sebagai contoh, CoMFA, dengan prediksi kuantitatif dapat dibuat. Yang kedua adalah loncatan rangka, yang mendeteksi molekul dengan rangka yang berbeda (*chemotypes* yang baru) dengan virtual skrining kumpulan senyawa yang besar. Yang terakhir adalah menggunakan skrining paralel berbasis farmakofor untuk memprediksi profil farmakologi untuk struktur induk *in silico*. Dengan menggunakan *fingerprints* farmakofor, diharapkan untuk memprediksi efek samping yang tidak diinginkan pada tahap yang paling awal pada proses penemuan obat dan oleh karena itu, mengurangi resiko kegagalan kandidat obat (Wermuth, 2008: 574-575).

E. Docking Molekul

Secara umum, *docking* molekul adalah penggunaan komputerisasi dalam memasang suatu molekul kecil pada reseptor (bagian ini sering didefinisikan sebagai sisi aktif dari enzim) melalui representasi yang dihasilkan komputerisasi, yang diikuti oleh evaluasi struktur molekul dalam hal ini yaitu bentuk dan karakteristiknya seperti parameter elektrostatik. Subyek *docking* adalah pembentukan kompleks protein-ligan non kovalen. Suatu molekul dengan struktur yang baik mengidentifikasi bahwa molekul tersebut potensial sebagai ligan pengikat yang baik. Hasil dari *docking* secara umum meliputi prediksi afinitas molekul, termasuk ranking dari senyawa yang di-*docking* berdasarkan pada

afinitasnya. Pemodelan interaksi *intermolecular* kompleks ligand-protein tidaklah mudah karena berbagai derajat kebebasan dan kebatasan komputasi efek pelarut pada ikatan asosiasi (Nadendla, 2004: 51-60).

Pengikatan selektif molekul kecil ligan pada protein spesifik ditentukan dengan faktor struktur dan energi. Untuk ligan yang terkait dengan farmasi, ikatan ligan-protein biasanya timbul melalui interaksi non kovalen. Secara termodinamika, kekuatan interaksi antara protein dan ligan digambarkan dengan afinitas pengikatan atau energi bebas pengikatan (Gibbs). Berdasarkan persamaan Gibbs-Helmholtz, energi bebas pengikatan terdiri atas kontribusi entalpi dan entropi (Abraham DJ, 2003: 51-60).

Jika afinitas molekul pada reseptor dapat diprediksi dengan akurasi yang baik maka akan diperoleh berbagai keuntungan dari pendekatan ini. Salah satunya adalah kemampuan untuk melakukan *docking* dan *scoring* molekul dalam jumlah yang besar dalam waktu yang cukup singkat. Hanya senyawa dengan prediksi afinitas terbaik yang kemudian akan dipilih untuk disintesis dan/atau diuji cobakan. Beberapa hal yang menjadi tantangan yang dihadapi dengan menggunakan program *docking* adalah untuk memprediksi model pengikatan (*binding mode*) yang benar dari molekul (dalam hal ini prediksi posisi yang berkaitan dengan orientasi dan konformasi molekul pada sisi pengikatan reseptor) dan untuk memprediksikan afinitas pengikatan dari senyawa (untuk menghasilkan rangking relatif dari sejumlah senyawa) dengan ketepatan yang tinggi (Gao, et. Al. 2007: 90).

Beberapa jenis *docking* molekul berdasarkan sifat ligan dan reseptornya, yaitu:

1. *Rigid body docking*, dimana reseptor dan ligan keduanya diperlukan kaku
2. *Flexible ligand docking*, dimana reseptor diperlukan kaku dan ligan dapat digerakkan ke segala arah
3. *Flexible docking*, dimana fleksibilitas reseptor dan ligan dibuat fleksibel

Pada umumnya prosedur *docking* yang paling umum dipergunakan adalah molekul *flexible ligand docking* (Mohan, 2005: 323-333).

Fungsi *scoring* dapat dikategorikan dalam tiga kategori, yaitu (Mohan, 2005: 333):

1. *Knowledge-based*, berdasarkan fungsi statistik untuk memasukkan aturan yang dianjurkan dan tidak dianjurkan, interaksi pasangan atom dari eksperimen penentuan kompleks protein-ligan
2. *Empirical-based*, menjumlahkan interaksi entalpi dan entropi dengan bobot relatif berdasarkan pengaturan kompleks protein-ligan
3. *Forcefield-based*, fungsi ini hampir menyerupai *scoring empiric* dengan memprediksikan energi bebas pengikatan dari kompleks protein-ligan dengan penambahan kontribusi individual dari berbagai tipe interaksi

F. Virtual Skrining

1. Skrining In Silico Berbasis Ligan

Terdapat beragam metode skrining virtual berbasis ligan. Berdasarkan tingkat kecanggihan, biaya komputasi utama, semua tergantung pada jenis informasi struktural yang digunakan. Pada semua kasus, umumnya diperoleh

pengayaan signifikan pada pilihan acak dari molekul dalam *database*. Setelah prosedur pencarian, molekul dengan skor tertinggi dapat diprioritaskan untuk pengujian eksperimental. Seperti yang telah dijelaskan sebelumnya, pencarian kesamaan memiliki sisi yang lebih murah dan lebih sesuai, semua molekul dalam *database* dapat di *scoring* melalui persamaan dengan satu atau beberapa ligan bioaktif dan kemudian dirangking untuk menampilkan probabilitas penurunan dari bentuk aktif. Salah satu pendekatan yang paling sukses dalam hal ini adalah penggunaan *self-organizing* jaringan neural yang dapat menghasilkan proyeksi data set besar yang digambarkan dalam ruang dimensi tinggi. Hasil pemetaan *self-organizing* dapat digunakan dalam banyak aplikasi dalam proses penemuan obat, seperti untuk menganalisis perpustakaan kombinatorial untuk kesamaan dan keragamannya dan untuk memilih *descriptor* hubungan struktur-aktivitas (Wermuth, 2008: 218).

Berbeda dengan pendekatan topologi, metode yang didasarkan pada representasi geometri dari struktur molekul dapat digunakan sebagai pengganti. Diantaranya, superimposisi fleksibel molekul ke salah satu atau beberapa konformasi dari referensi ligan bioaktif sebagaimana metode yang mapan dalam skrining virtual. Metode yang lebih canggih seperti *searching* berbasis farmakofor dapat digunakan jika tingkat informasi tentang bioaktivitas ligan sudah lebih tinggi dan jika beberapa pengetahuan tersedia terkait hubungan struktur-aktivitas. Meski awalnya lambat untuk memperoleh pijakan industri, pendekatan farmakofor kemudian telah diterapkan pada banyak target terapi untuk skrining virtual *database* senyawa. Salah satu penerapan yang sukses menggunakan farmakofor

dalam skrining virtual termasuk identifikasi berbagai target seperti protein kinase C, farnesyltransferase, HIV integrase, gen diferensiasi endotel antagonis reseptor, urotensin antagonis, CCR5 antagonis, dan penemuan inhibitor proliferasi sel mesangial, reseptor antagonis endotel, dan reseptor sigma ligan. Farmakofor juga telah menghasilkan berbagai ADME/protein terkait tox. Upaya ini menunjukkan bahwa *in silico searching* dengan pendekatan berbasis farmakofor memiliki fleksibilitas yang cukup dan dapat diterapkan pada target *biological* yang sulit (Wermuth, 2008: 219).

2. Skrining In Silico Berbasis Struktur

Skrining virtual berbasis struktur dari molekul 3D telah berhasil diterapkan untuk menemukan hit baru dalam desain berbasis struktur. Skrining virtual berbasis struktur yang sukses lainnya telah dijelaskan untuk reseptor β estrogen, angiotensin converting enzyme-2(ACE2), virus neuraminidase influenza, receptor peroxisome proliferators-teaktivasi (PPAR), inhibitor dipeptidyl peptidase IV, dan untuk inhibitor HMG CoA reductase. Bahkan dengan tidak adanya penentuan ekperimental struktur 3D dari protein target, pendekatan tersebut dapat digunakan. Model homologi dalam kasus ini dapat menggantikan model yang telah ditentukan secara eksperimental dan subsequent eksperimen skrining virtual menghasilkan hasil yang memuaskan (Wermuth, 2008: 219).

3. Prediksi In Silico dari Sifat ADME/T

Kebanyakan penelitian tentang ADME/T dimulai dengan menyoroti penyebab tingginya tingkat kegagalan penemuan obat dan biaya pembuatan obat baru ke pasar yang mahal. Sementara itu, jumlah obat dipasaran yang ditarik

kembali semakin meningkat, utamanya karena isu ADME/T yang tidak dapat dideteksi sebelumnya. Saat ini, banyak solusi diusulkan untuk mengidentifikasi dan menjamin senyawa baru sebelum senyawa tersebut mencapai tingkatan klinik. Peran dari sifat ADME/T dengan *in silico* telah luas diapresiasi. *Biotransformation* metabolik dari senyawa kimia baru sangat mempengaruhi bioavailabilitas, aktivitas, dan profil toksisitasnya (Hou. *et al*, 2007: 460-463).

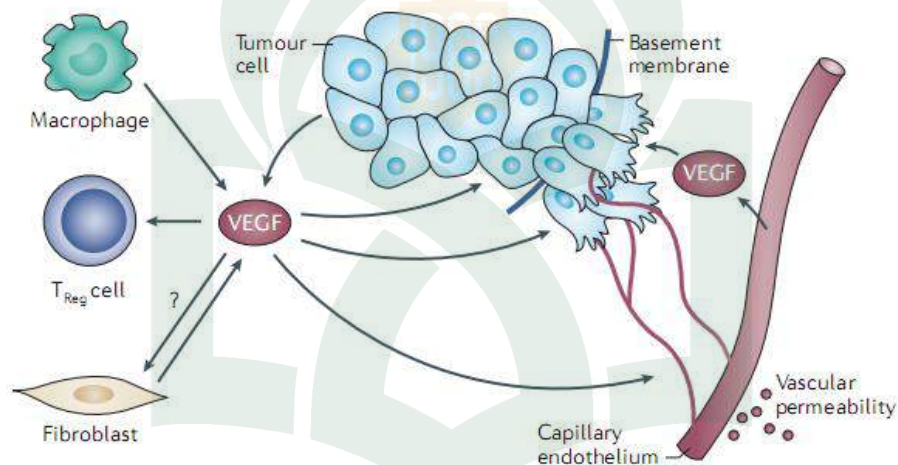
G. Reseptor VEGFR2 dalam Pembentukan Kanker

Angiogenesis adalah pembentukan pembuluh darah baru yang berasal dari pembuluh darah yang telah ada. Angiogenesis sangat dibutuhkan dalam pembentukan organ baru serta untuk diferensiasi saat embriogenesis, penyembuhan luka dan fungsi reproduksi wanita. Dalam kondisi patologis angiogenesis dibutuhkan pada proses pertumbuhan tumor solid dan pada proses metastase. Tumor membutuhkan angiogenesis untuk tumbuh di atas ukuran 1-2 mm. Angiogenesis diperlukan untuk suplai oksigen, nutrisi, faktor pertumbuhan dan hormon, enzim proteolitik, mempengaruhi faktor hemostatik yang mengontrol koagulasi dan sistem fibrinolitik, dan penyebaran sel-sel tumor ke tempat jauh (Farhat, 2009: 60).

Angiogenesis merupakan proses yang sangat kompleks, yang diregulasi secara ketat oleh faktor-faktor proangiogenik (VEGF) dan faktor-faktor antiangiogenik. VEGF berperan penting dalam angiogenesis tumor. Ekspresi VEGF dalam sel-sel tumor distimulasi oleh hipoksia, onkogen (ras) dan inaktivasi gen supresor tumor (p53) dan oleh berbagai sitokin. Aktivasi aksis VEGF/VEGF reseptor (VEGFR) memicu jaringan sinyal multipel yang menghasilkan survival

sel endotel, mitogenesis, migrasi, diferensiasi dan permeabilitas vaskular serta mobilisasi sel-sel progenitor endotel dari sumsum tulang ke sirkulasi perifer (Farhat, 2009: 60).

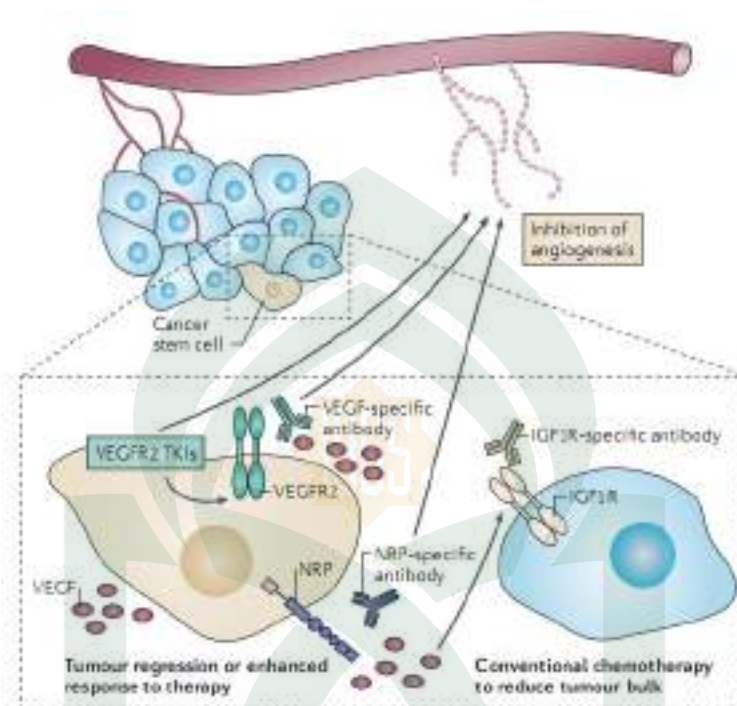
VEGF disekresi oleh sel-sel tumor berfungsi dengan cara autokrin dan mempromosikan dedifferensiasi dan transisi epitel-fenotipe mesenkimal dengan peningkatan akibat invasi tumor dan dapat memfasilitasi fungsi sel-sel induk kanker (Gambar 3) (Goel dan Mercurio, 2013: 873).



Gambar 1. Fungsi VEGF pada sel kanker (Goel dan Mercurio, 2013: 873).

Vascular endothelial growth factor receptor (VEGFR) tirosin kinase adalah target obat yang telah divalidasi secara klinis untuk terapi kanker. VEGF/VEGFR2 dianggap sebagai jalur proangiogenik paling penting untuk meningkatkan semua tahap angiogenesis termasuk permeabilitas vaskular, kelangsungan hidup sel endotelial, proliferasi, migrasi atau invasi ke jaringan sekitar, dan pembentukan tabung kapiler. Perkembangan kanker sering dikaitkan dengan ekspresi VEGF, dan jalur sinyal VEGF/VEGFR2 pada umumnya dianggap sebagai mediator utama tumor angiogenesis, sehingga

VEGF/VEGFR2 merupakan sistem target untuk intervensi terapeutik pada kanker (Kesuma, 2018: 3).



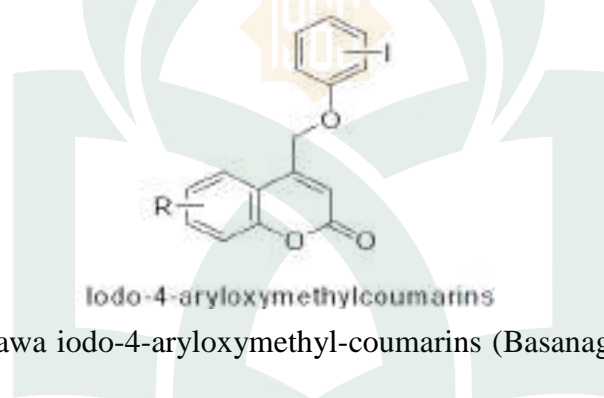
Gambar 2. Target terapi pada pensinyalan VEGFR2 dalam sel kanker (Goel dan Mercurio, 2013: 873).

H. Senyawa Turunan Kumarin-Kalkon-Urea

1. Senyawa Kumarin dan Turunannya

Kumarin (1,2H-chromen-2-on atau 2H-1-benzopyran-2-on) adalah senyawa bisiklik yang bersifat oksigen heterosiklik, terdiri dari benzena dan cincin 2-pyrone. Kumarin juga merupakan kelas luas dari senyawa alami dan sintetis yang menunjukkan aktivitas farmakologi yang beragam, salah satunya adalah sebagai antikanker. Pada penelitian terbaru, turunan dari kumarin dilaporkan memiliki efek antikanker yang kuat dengan mekanisme yang beragam. *Tricyclic coumarin sulfamate* (STX64), ($IC_{50} = 8 \text{ nM}$) adalah senyawa berbasis nonsteroid yang *irreversible* sebagai inhibitor *aromatase-steroid sulfatase* (STS)

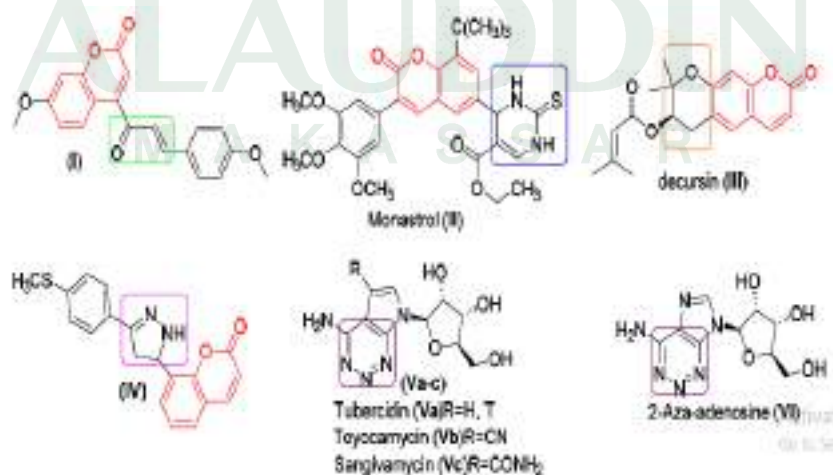
yang memberikan hasil aktivitas yang sangat tinggi untuk menyembuhkan kanker prostat, dan yang paling menggembirakan, uji klinisnya telah dicapai pada tahun 2011. Misalnya, *3,8-dibromo-7-hidroksi-4-metilcoumarin* (DBC) ($IC_{50} = 100$ nM) digunakan sebagai inhibitor CK2 untuk menekan pertumbuhan neoplastik. Novobiocin, inhibitor girase DNA yang diketahui berikatan dengan situs pengikatan nukleotida yang terletak di Hsp90 C-terminus dan menginduksi degradasi Hsp90-tergantung protein di konsentrasi $700 \mu\text{M}$ pada sel kanker payudara (Basanagouda *et al.* 2014: 3).



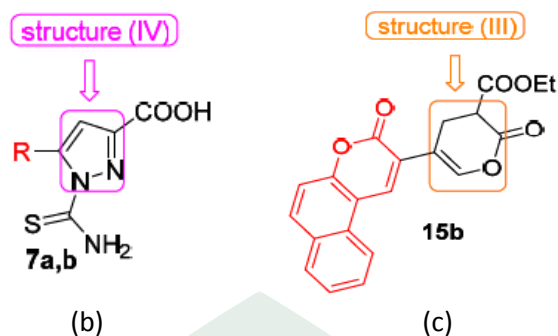
Gambar 3. Senyawa iodo-4-aryloxymethyl-coumarins (Basanagouda, *et al.* 2014: 2).

Basanagouda *et al.* dalam penelitiannya melaporkan bahwa secara umum senyawa iodinated-4-aryloxymethyl-coumarins yang memiliki klorin pada posisi 6 dan 7 serta bromin pada posisi 6 memiliki aktivitas potensial dibandingkan dengan substitusi lainnya. Observasi yang cermat pada SAR, *senyawa 7-Chloro-4-(4-iodo-phenoxyethyl)-chromen-2-one* dan *6-Bromo-4-(4-iodo-phenoxyethyl)-chromen-2-one* menunjukkan antikanker yang kuat dan aktivitas anti-mikobakteri. Kedua senyawa bahkan lebih anti-mikobakteri daripada obat-obatan standar di bawah penyelidikan. Aktivitas yang lebih tinggi dari senyawa ini dapat menghasilkan antikanker baru dan obat anti-mikobakteri di masa depan (Basanagouda, *et al.* 2014: 3).

Salem *et al.* dalam penelitiannya, sintesis senyawa kumarin di evaluasi aktivitas sitotoksik, antioksidan dan perlindungan terhadap kerusakan DNA. Semua senyawa yang diuji menunjukkan aktivitas non-sitotoksik yang kuat dalam melawan 4 macam sel kanker yaitu HePG2 (HCC), HCT-116 (kanker kolon), PC3 (kanker prostat), dan MCF-7 (kanker payudara). Senyawa *Ethyl 2-Oxo-5-(3-oxo-3H-benzo[f]chromen-2-yl)-3,4-dihydro-2H-pyran-3-carboxylate* menunjukkan aktivitas yang hampir sama dengan 5-FU sebagai senyawa standar melawan PC3 dan senyawa *1-Carbamothioyl-5-(3-oxo-3H-benzo[f]chromen-2-yl)-1H-pyrazole-3-carboxylic acid* menunjukkan aktivitas yang lebih tinggi dibandingkan 5-FU dalam melawan HCT-116. Untuk aktivitas melawan HePG2, senyawa yang memiliki nilai sitotoksi tertinggi adalah senyawa *1-Carbamothioyl-5-(2-oxo-2H-chromen-3-yl)-1H-pyrazole-3-carboxylic Acid* (7a), *1-Carbamothioyl-5-(3-oxo-3H-benzo[f]chromen-2-yl)-1H-pyrazole-3-carboxylic Acid* (7b) dan *Ethyl 2-Oxo-5-(3-oxo-3H-benzo[f]chromen-2-yl)-3,4-dihydro-2H-pyran-3-carboxylate* (15b) dengan masing-masing nilai IC_{50} 10.8 ± 0.88 ; 9.3 ± 0.58 dan 8.2 ± 0.45 $\mu\text{g/mL}$ (Salem, et al. 2016: 17).



(a)

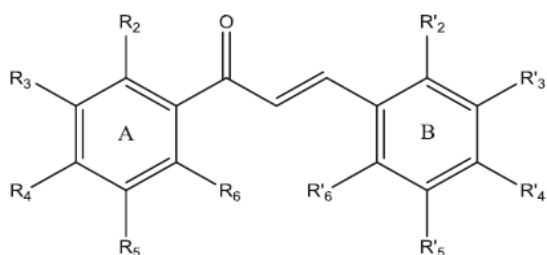


Gambar 4. Desain terbaik dari sintesis senyawa kumarin. (a) Struktur beberapa senyawa turunan antikanker, (b) senyawa 1-Carbamothioyl-5-(3-oxo-3H-benzo[f]chromen-2-yl)-1H-pyrazole-3-carboxylicacid, (c) Ethyl 2-Oxo-5-(3-oxo-3H-benzo[f]chromen-2-yl)-3,4-dihydro-2H-pyran-3-carboxylate (Salem *et al.* 2016: 2).

2. Senyawa Kalkon dan Turunannya

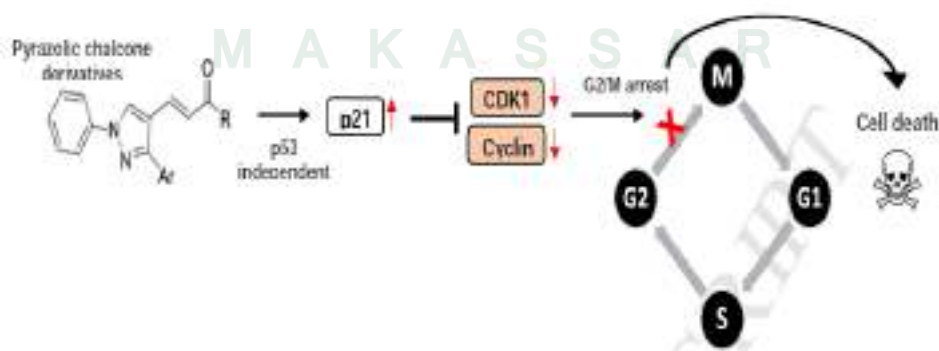
Kalkon (1,3-difenil-2-propen-1-on) terdiri dari dua cincin aromatik yang dihubungkan oleh gugus karbonil tak jenuh, yang termasuk dalam produk alami kelas flavonoid. Kalkon telah menarik perhatian peneliti karena sifat farmakologisnya dan turunan sintetisnya memiliki aktivitas sitotoksik yang signifikan terhadap berbagai kanker (Pingaew, *et al.* 2014: 65).

Mai *et al.* 2014 dalam penelitiannya melaporkan bahwa kalkon yang berikatan dengan $-NH_2$ pada cincin A, memiliki aktivitas paling kuat menginduksi apoptosis pada kanker usus besar manusia TRAIL yang resisten (HT-29) dengan meningkatkan kematian pada reseptor (TRAIL-R1 dan TRAIL-R2) dan *proapoptotic* penanda (p21, BAD, BIM, BID, BAX, SMAC, caspase 3 dan caspase 8) serta mengurangi penanda anti-apoptosis (livin, XIAP dan HSP27). Potensi tersebut akan membuka cara untuk pengembangan agen antikanker di masa depan (Mai, *et al.* 2014: 385).



Gambar 5. Senyawa kalkon (Mai *et al.* 2014: 379).

Hawash *et al.* dalam penelitiannya melaporkan bahwa mereka mensintesis serangkaian turunan kalkon pyrazolic dan dievaluasi aktivitas antiproliferasinya melawan sel kanker manusia dibandingkan dengan kemoterapi yang digunakan secara klinis seperti 5-FU dan Cladrabine. Senyawa (*E*)-1-(2,5-Dimethoxyphenyl)-3-(1-phenyl-3-(pyridin-3-yl)-1H-pyrazol-4-yl)prop-2-en-1-on (42) dan (*E*)-1-(2,5-Dimethoxyphenyl)-3-(1-phenyl-3-(pyridin-4-yl)-1H-pyrazol-4-yl)prop-2-en-1-on (52) adalah derivat yang paling efektif dalam aktivitas antiproliferasi dengan nilai IC_{50} lebih kecil dari 5 μ M terhadap sel HCC yang digunakan. Selain itu, senyawa ini kurang aktif pada sel normal (MCF12A dan MRC-5). Dengan menyelidiki lebih lanjut pada efektor molekuler, menunjukkan bahwa kedua senyawa tersebut menyebabkan penangkapan siklus sel pada fase G2/M dan kematian sel apoptosis yang terinduksi (Hawash, *et al.* 2017: 18-19).

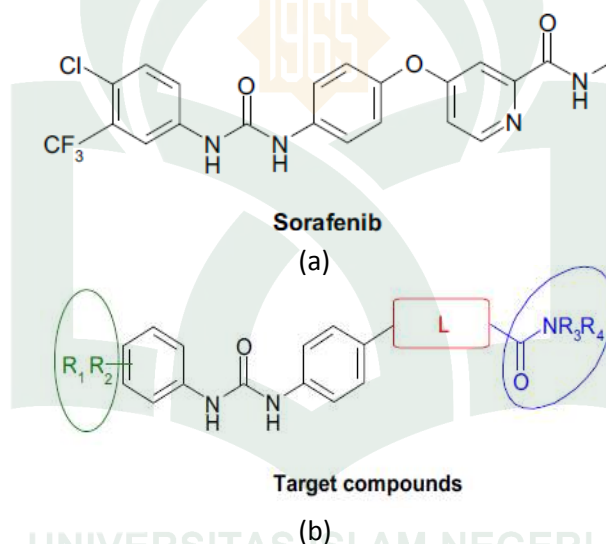


Gambar 6. Mekanisme kerja senyawa turunan kalkon-pyrazolic dimulai dengan proses independen p53, mengaktivasi p21, yang kemudian

menghambat CDK1 dan Cyclin B1 untuk membentuk kompleks yang menghasilkan siklus sel, dimana pada fase G2/M terjadi kematian sel. (Hawash, *et al.* 2017: 19).

3. Senyawa Urea dan Turunannya

Turunan urea, terutama bis-aril urea, adalah salah satu kelas yang terkenal di antara agen antikanker, karena aktivitas penghambatan yang kuat terhadap pertumbuhan sel kanker. Sorafenib dan turunan diaryl-urea yang serupa telah memberikan sintesis turunan urea baru karena aktivitas antiproliferatif yang tinggi (Lu, *et al.* 2014: 351).



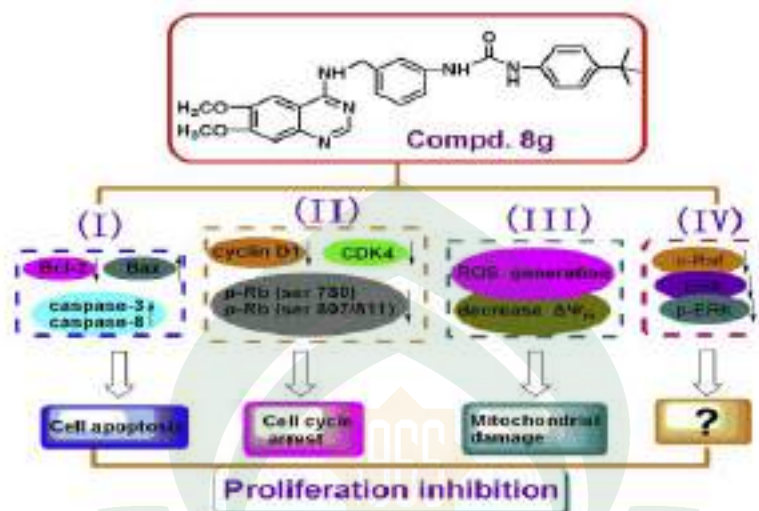
Gambar 7. Struktur senyawa turunan urea. (a) Sorafenib salah satu obat antikanker, (b) Desain sintesis senyawa turunan diaryl urea (Lu, *et al.* 2016: 352).

Lu *et al.* dalam penelitiannya melaporkan bahwa semua senyawa sintesis diaryl urea dievaluasi aktivitas penghambatannya pada sel kanker seperti MX-1 (kanker payudara), A375 (melanoma), HepG2 (kanker hati), Ketr3 (kanker ginjal) dan HT-29 (kanker kolon). Modifikasi senyawa lebih difokuskan pada variasi struktur diaryl urea dan amida. Dapat disimpulkan bahwa senyawa yang mengandung vinil, etinil dan fenil menunjukkan aktivitas ampuh melawan MX-1

dan HT-29 dengan nilai IC_{50} pada tingkat mikromolar. Senyawa *1-(4-(3-(1-Phenylethylcarbamoyl)phenyl)phenyl)-3-(4-chloro-3-(trifluoromethyl)phenyl)urea* dengan gugus linker 1,3-disubstitusi fenil menunjukkan aktivitas spektrum luas yang kuat terhadap sel tumor dengan nilai IC_{50} kurang atau sama dengan 6 μ M. Juga patut dicatat bahwa analog 1,4-disubstitusi fenil pada *1-(4-(4-(2,6-Dimethylmorpholinocarbamoyl) phenyl) phenyl)-3-(4-chloro-3 (trifluoromethyl) phenyl) urea* dan *1-(4-(4-(2,6-Dimethylmorpholinocarbamoyl)phenyl) phenyl)-3-(2-chloro-5 (trifluoromethyl)phenyl)urea* yang mengandung amida polar menunjukkan penghambatan selektif terhadap sel HT-29, sekitar delapan kali lipat lebih kuat dari sorafenib (Lu, *et al.* 2014: 351).

Chen, *et al.* dalam penelitiannya melaporkan bahwa serangkaian turunan quinazolinyil-diaril urea yang baru berhasil disintesis dan diuji untuk aktivitas antiproliferatif melawan tiga sel kanker (HepG2, MGC-803, dan A549). Di antara semua target, senyawa *N-((4-tert-butyl)phenyl)-N'-(3-(((6,7dimethoxyquinazolin4yl)amino)methyl)phenyl)urea* menunjukkan aktivitas penghambatan terkuat terhadap sel kanker tertentu dibandingkan dengan sampel positif dari referensi obat seperti sorafenib dan gefitinib. Analisis farmakologi in vitro menunjukkan bahwa senyawa tersebut memberikan aktivitas antiproliferatifnya terhadap sel A549 dengan cara menginduksi apoptosis dan ROS intraseluler, menangkap siklus sel pada fase G0/G1, mengurangi potensi membran, dan secara efektif mengintervensi jalur Raf/MEK/ERK. *Docking* molekuler dan analisis SAR mengungkapkan bahwa senyawa tersebut dapat mengikat dengan baik pada situs aktif C-Raf, sehingga dapat menjadi obat yang

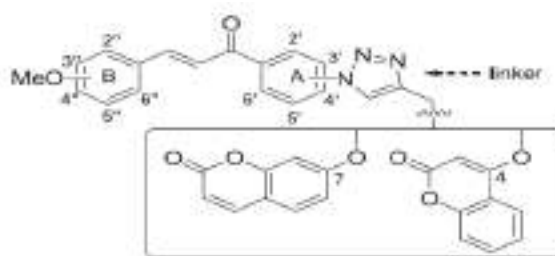
menjanjikan untuk penemuan obat antitumor masa depan (Chen, *et al.* 2016: 18-19)



Gambar 8. Jalur mekanisme kerja dari senyawa N-((4-tert-butyl)phenyl)-N'-((6,7dimethoxyquinazolin-4-yl)amino)methyl)phenyl) urea dengan menghambat proliferasi Sel A549. Jalur terkait yang dijelaskan dalam penelitian ini dirangkum. Pada jalur (IV) saat ini tidak terdefinisi. (Chen, *et al.* 2016: 20).

4. Senyawa Kumarin-Kalkon yang berikatan dengan Urea

Pingaew *et al.* dalam penelitiannya melaporkan bahwa senyawa (*E*)-4-((1-(3-(3-(2,3-dimethoxyphenyl)acryloyl)phenyl)-1*H*-1,2,3-triazol-4-yl)methoxy)-2*H*-chromen-2-one adalah agen sitotoksik yang paling potensial ($IC_{50} = 0,53$ mM) terhadap sel HepG2 daripada obat kontrol, etoposide, tapi sayangnya beracun terhadap sel non-kanker atau sel Vero ($IC_{50} = 4.26$ mM). Secara signifikan, analog (*E*)-7-((1-(4-(3-(2,3-dimethoxyphenyl)acryloyl)phenyl)-1*H*-1,2,3-triazol-4-yl)methoxy)-2*H*-chromen-2-one menampilkan aktivitas paling kuat kedua (HepG2) ($IC_{50} = 8,18$ mM) dan tidak beracun untuk sel Vero (Pingaew, *et al.* 2014: 70-71).

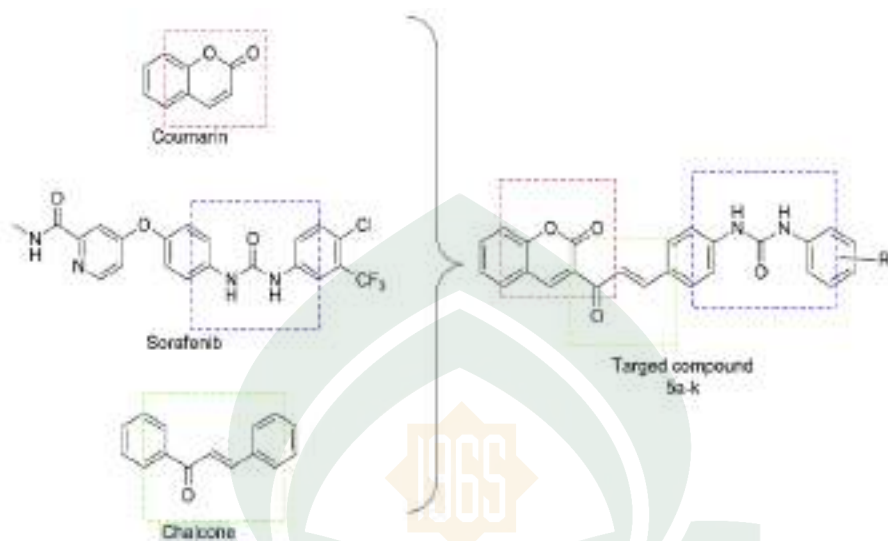


Gambar 9. Desain senyawa kumarin-kalkon (Pingaew, *et al.* 2014: 67).

Kurt *et al.* dalam penelitiannya merancang dan mensintesis serangkaian novel kumarin-kalkon yang mengandung turunan urea, dengan tujuan mendapatkan agen antikanker yang menampilkan aktivitas antitumor yang lebih kuat. Efek antitumor dari senyawa yang baru disintesis diselidiki pada pertumbuhan *in vitro* dari H4IIE (tikus hepatoma), HepG2 (*human hepatocellular carcinoma*) dan CHO (Sel telur hamster Cina). Sorafenib digunakan sebagai kontrol positif (Kurt, *et al.* 2017: 2).

Modifikasi senyawa alami digunakan untuk mengembangkan agen antikanker baru. Banyak penelitian tentang senyawa turunan kumarin-kalkon yang telah menekankan bahwa senyawa ini memiliki aktivitas antikanker yang baik. Kelompok diaryl urea dan amida, sebagai kunci farmakofor, memiliki mode pengikatan yang unik dan memiliki profil penghambatan kinase. Desain dan pengembangan bahan bioaktif baru dengan menggabungkan dua integrasi atau lebih unit farmakofor dengan mekanisme aksi yang berbeda, di dalam molekul yang sama, berdasarkan pada strategi hibridisasi molekuler. Kelompok hibridisasi farmakofora ini menawarkan beberapa kelebihan seperti kemungkinan mengatasi resistensi obat dan pada saat yang sama meningkatkan potensi biologisnya. Berdasarkan pendekatan ini, diyakini bahwa senyawa kumarin-kalkon yang

mengandung kelompok urea dapat secara signifikan menghambat proliferasi sel (Gambar 9.) (Kurt, *et al.* 2017: 5).



Gambar 10. Desain senyawa kumarin-kalkon-urea (Kurt, *et al.* 2017: 5).

Sitotoksitas senyawa turunan kumarin-kalkon terhadap H4IIE, HepG2 dan CHO dievaluasi. Kemampuan diaryl urea untuk menghambat pertumbuhan sel kanker dirangkum pada Tabel 1. Mayoritas senyawa yang disintesis menampilkan aktivitas antitumor yang poten melawan sel H4IIE dan HepG2. Di antara semuanya, 5k atau *1-(4-(3-Oxo-3-(2-oxo-2H-chromen-3-yl)prop-1-en-1-yl)phenyl)-3-(4(trifluoromethyl) phenyl)urea*, memiliki kelompok *trifluoromethyl* di posisi -para pada cincin fenil, dan 5j atau *1-(4-Nitrophenyl)-3-(4-(3-oxo-3-(2-oxo-2H-chromen-3-yl)prop-1-en-1-yl)phenyl)urea*, memiliki nitro pada posisi -para pada cincin fenil, menunjukkan aktivitas yang paling kuat dengan nilai IC_{50} masing-masing 1,62 dan 2,326 μ M. Senyawa yang disintesis juga diuji pada sel yang sehat dengan metode yang sama dengan sel kanker. Hasilnya menunjukkan bahwa semua senyawa memiliki pengaruh lebih sedikit

pada sel-sel sehat daripada sel-sel kanker; di sisi lain mereka lebih efektif daripada Sorafenib pada sel kanker dan sel normal (Kurt, *et al.* 2017: 6).

Tabel 1. Aktivitas sitotoksik (IC_{50} , μM) dari senyawa yang disintesis (5a-k) melawan H4IIE, HepG2 dan CHO (Kurt, *et al.* 2017: 6).

Senyawa	R	H4IIE (IC_{50} , μM) ^a	HepG2 (IC_{50} , μM) ^a	CHO (IC_{50} , μM) ^a
5a	3-OCH ₃	9.37±1.25	6.052± 0.66	28.456±2.84
5b	4-OCH ₃	14.66±0.88	11.172± 1.19	18.240±2.37
5c	3-F	19.78±1.57	11.298± 1.11	28.664±4.01
5d	4-F	8.67 ±1.33	11.427± 1.71	25.016±3.25
5e	3-Cl	2.07 ±0.79	8.518± 1.02	14.051±1.68
5f	4-Cl	2.83 ±0.98	6.064± 0.72	19.878±2.78
5g	4-Br	3.33 ±1.12	8.564± 0.84	3.824± 2.24
5h	4-I	2.23 ±1.05	9.020± 1.08	19.168±2.68
5i	4-H	15.73±1.25	7.153± 0.71	21.552±2.80
5j	4-NO ₂	13.06±1.44	2.326± 0.23	23.208±2.55
5k	4-CF ₃	1.62 ±0.57	8.212± 1.14	21.490±3.22
Sorafenib	-	3.45 ±0.68	7.522± 1.05	20.188±3.02

Distribusi siklus sel dalam sel H4IIE diperiksa untuk menentukan efek penghambatan senyawa (5e, 5f, 5g, 5h dan 5k) pada poliferasi sel. Secara umum, analisis siklus sel menunjukkan senyawa dengan konsentrasi untuk pengobatan meningkatkan populasi sel di fase S. Seperti ditunjukkan pada Tabel 2, populasi sel-sel H4IIE dalam fase S meningkat menjadi 50,3% setelah pengobatan dengan 10 μM senyawa 5e selama 24 jam. Selain itu, penghambatan fase S meningkat

menjadi 47,8; 46,4; 42,2 dan 31,8%, setelah pemberian 10 μM senyawa 5k, 5f, 5g, 5h selama masing-masing 24 jam. Data ini menunjukkan bahwa siklus sel pada tahap S berkontribusi pada efek antiproliferatif dari senyawa 5e, 5f, 5g, 5h dan 5k pada sel H4IIE (Kurt, *et al.* 2017: 8).

Tabel 2. Efek senyawa 5e, 5f, 5g, 5h dan 5k terhadap siklus sel H4IIE (Kurt, *et al.* 2017: 7).

Senyawa	Conc. (μM)	G1/G0 (%)	S (%)	G2/M (%)
Sorafenib	10	38.2 \pm 1.25	42.7 \pm 2.05	15.8 \pm 0.88
5e	10	5.3 \pm 0.88	50.3 \pm 1.36	32.5 \pm 1.24
5f	10	28.4 \pm 0.96	46.4 \pm 1.42	15.3 \pm 1.22
5g	10	8.1 \pm 1.02	42.2 \pm 0.69	32.9 \pm 0.58
5h	10	22.8 \pm 2.55	31.8 \pm 0.74	31.3 \pm 0.32
5k	10	24.2 \pm 2.14	47.8 \pm 1.82	20.8 \pm 1.23

Ada juga kesamaan antara efek sitotoksik dan hasil apoptosis. Menurut hasil yang ada, senyawa 5e, 5f dan 5g memberikan apoptosis masing-masing 58%, 51% dan 49%. 5h memiliki efek sitotoksik dengan nilai IC_{50} 2,23 μM , tetapi menyebabkan apoptosis 32% dari sel H4IIE. Umumnya, zat yang disintesis dapat dikatakan dapat mengontrol kematian sel H4IIE (Kurt, *et al.* 2017: 8).

Koefisien partisi oktanol/air, logP, adalah salah satu dari parameter kimia fisik yang paling penting untuk pengembangan obat antikanker baru dengan peningkatan properti farmakokinetik. LogP adalah salah satu properti yang diidentifikasi oleh Lipinski dalam “*Rule of 5*” untuk molekul mirip obat, dan oleh karena itu, LogP adalah salah satu parameter fisikokimia yang paling penting dalam penemuan obat, yang terkait dengan bioavailabilitas kimia senyawa. Kami

menghitung nilai LogP senyawa yang disintesis dan sorafenib menggunakan program ACD/ChemSketch, dalam penelitian ini. Hasil yang diperoleh diperlihatkan pada Tabel 3. Hasil LogP dari senyawa yang disintesis mirip dengan hasil dari senyawa sorafenib (Kurt, *et al.* 2017: 8).

Tabel 3. Nilai LogP pada senyawa sintesis kumarin-kalkon yang mengandung turunan urea (Kurt, *et al.* 2017: 8).

Senyawa	LogP ^a
5a	4.98 ±0.75
5b	4.67 ±0.75
5c	5.20 ±0.75
5d	5.16 ±0.75
5e	5.75 ±0.75
5f	5.71 ±0.75
5g	5.88 ±0.75
5h	6.14 ±0.75
5i	4.72 ±0.75
5j	5.17 ±0.75
5k	5.73 ±0.75
Sorafenib	5.16 ±0.75

Dari hasil diatas, dapat disimpulkan bahwa aktivitas kumarin-kalkon dan urea, yang sekarang ditangani dengan desain dan sintesis turunan kumarin-kalkon berikatan dengan urea terbukti bahwa senyawa yang disintesis menghambat proliferasi sel kanker, tetapi mereka tidak menunjukkan efek

demikian pada sel normal dikonsentrasi yang sama serta memiliki nilai LogP yang mirip dengan control positif yaitu sorafenib (Kurt, *et al.* 2017: 8).

I. Tinjauan Islam

Di antara tanda-tanda kebesaran Allah swt. dijadikan dan diciptakannya manusia sebagai khalifah di bumi yang telah dibekali akal serta nafsu rohani dan duniawi, dengan begitu banyak kelebihan dan kekurangannya manusia dapat menimbang, menentukan dan melaksanakan berbagai fungsi-fungsi jasmani dan rohani dengan maksimal. Tanda kebesaran lain yang telah Allah swt. berikan, yakni dengan menurunkan al-Qur'an kepada umat manusia untuk dijadikan pedoman dan tuntunan dalam menjalani kehidupan baik dunia maupun akhirat. Selain itu, al-Qur'an merupakan rahmat bagi seluruh manusia dan terdapat penawar di dalamnya. al-Qur'an merupakan obat penyembuh dan rahmat bagi orang-orang beriman. Yakni, dapat menghilangkan berbagai macam penyakit di dalam hati, misalnya keraguan, kemunafikan, kemusyrikan dan penyimpangan, maka al-Qur'an akan menyembuhkan itu semua, sekaligus sebagai rahmat yang membawa dan mengantarkan kepada keimanan, hikmah dan melahirkan keinginan untuk mencari kebaikan. Sesuai sabda Rasulullah saw.:

حَدَّثَنَا مُحَمَّدُ بْنُ عَبْدِ الْوَاسِطِيِّ، حَدَّثَنَا يَزِيدُ بْنُ هَارُونَ، أَخْبَرَنَا إِسْمَاعِيلُ بْنُ عِيَّانٍ
ش، عَنْ عَبْدِ بْنِ مُسْلِمٍ، عَنْ أَبِي عِمْرَانَ الْأَنْصَارِيِّ، عَنْ مَالِ الدَّرْدَاءِ، عَنْ أَبِي الدَّرْدَاءِ
ع، قَالَ: قَالَ رَسُولُ اللَّهِ صَلَّى اللَّهُ عَلَيْهِ وَسَلَّمَ: «إِنَّا لِلَّهِ نَزَلْنَا الدَّاءَ وَالدَّوَاءَ، وَجَعَلْنَا
لِكُلِّ دَاءٍ دَوَاءً فَتَدَاوَوْا وَلَا تَدَاوَوْا بِحَرَامٍ»

(Hadits Sunan Abu Dawud No. 3376 dalam Kitab Pengobatan)

Artinya:

Telah menceritakan kepada kami Muhammad bin 'Ubadah Al Wasithi telah menceritakan kepada kami Yazid bin Harun telah mengabarkan kepada kami Isma'il bin 'Ayyasy dari Tsa'labah bin Muslim dari Abu Imran Al-Anshari dari Ummu Ad Darda dari Abu Ad Darda ia berkata, "Rasulullah shallallahu 'alaihi wasallam bersabda: "Sesungguhnya Allah telah menurunkan penyakit dan obat, dan menjadikan bagi setiap penyakit terdapat obatnya, maka berobatlah dan jangan berobat dengan sesuatu yang haram!" (Sulaiman, t.th: 7).

Hadis ini menjelaskan bahwa semua penyakit yang diturunkan dari Allah swt. pasti ada obatnya, maka kita sebagai manusia tidak boleh putus asa dalam menghadapi suatu penyakit dan diharuskan pula berobat secara baik atau halal. Salah satu cara untuk menemukan obat yang baik adalah dengan melakukan penelitian penemuan dan pengembangan obat baru yang memberikan efek penyembuhan yang tinggi, meminimalisir efek samping dari obat, serta mengambil sumber obat dari tanaman atau hewan yang halal agar dapat menunjang kehidupan umat manusia secara jasmani maupun rohani.

Setiap hari pakar spesialis menemukan obat bagi penyakit yang belum diketahui obatnya. Dapat diperhatikan bahwa ilmuwan terus berupaya menemukan obat bagi segala penyakit dengan satu keyakinan bahwa setiap penyakit pasti ada obatnya. Meskipun mereka belum mengetahuinya sekarang, mereka merasa harus mengetahuinya kelak. Maka, para ilmuwan mulai melakukan penelitian secara molekuler untuk mendapatkan obat yang lebih signifikan dalam menyembuhkan suatu penyakit, pada QS. Yunus/10: 61, Allah swt. berfirman:

وَمَا تَكُونُ فِي شَأْنٍ وَمَا تَتْلُوا مِنْهُ مِنْ قُرْآنٍ وَلَا تَعْمَلُونَ مِنْ عَمَلٍ إِلَّا كُنَّا عَلَيْكُمْ
 شُهُودًا إِذْ تُفِيضُونَ فِيهِ وَمَا يَعْزُبُ عَنْ رَبِّكَ مِنْ مِثْقَالِ ذَرَّةٍ فِي الْأَرْضِ وَلَا فِي
 السَّمَاءِ وَلَا أَصْغَرَ مِنْ ذَلِكَ وَلَا أَكْبَرَ إِلَّا فِي كِتَابٍ مُبِينٍ ﴿٦١﴾

Terjemahnya:

Kamu tidak berada dalam suatu keadaan dan tidak membaca suatu ayat dari al-Quran dan kamu tidak mengerjakan suatu pekerjaan, melainkan Kami menjadi saksi atasmu di waktu kamu melakukannya. Tidak luput dari pengetahuan Tuhanmu biarpun sebesar zarah (atom) di bumi ataupun di langit. Tidak ada yang lebih kecil dan tidak (pula) yang lebih besar dari itu, melainkan (semua tercatat) dalam kitab yang nyata (Lauh Mahfuzh). (Kementrian Agama, Al-Qur'an dan Terjemahnya. 2018).

Tafsir Al-Azhar menjelaskan tafsir zarah adalah benda kecil yang tidak dapat dibagi lagi. Atom saja masih bisa dipecah menjadi neutron, proton dan elektron. Zarah sudah yang paling kecil, tidak ada yang lebih kecil daripada zarah. Zarah yang sangat kecil tidak luput dari perhatian Allah swt baik yang ada di bumi maupun yang ada di langit (Subandi, 2012: 2).

Pada surah Yunus ayat 61 yang telah dijelaskan bahwa benda sekecil apapun tidak luput dari pengetahuan Allah swt. Maka dengan melaksanakan penelitian secara molekuler diharapkan bisa ditemukan obat baru untuk mengobati berbagai penyakit termasuk kanker hati. Dari uraian beberapa ayat diatas dapat disimpulkan bahwa Allah swt telah menurunkan penyakit dan obatnya, maka kita sebagai umat manusia yang percaya akan kebesaran-Nya dan kekuasaan-Nya, diberi akal dan pikiran untuk berusaha mendapatkan obat demi kesembuhan diri secara jasmani dan rohani. Karena sesungguhnya, penyakit adalah penghapus dari dosa.

BAB III

METODOLOGI PENELITIAN

A. Jenis dan Lokasi Penelitian

1. Jenis Penelitian

Jenis penelitian ini adalah studi eksperimental kuantitatif, yaitu Hubungan Kuantitatif Struktur-Aktifitas (HKSA) senyawa turunan kumarin-kalkon-urea sebagai agen antikanker pada penyakit kanker hati. Dan menemukan senyawa ligan aktif yang memiliki aktivitas antikanker berdasarkan fitur farmakofor dan interaksi ligan dari reseptor VEGFR2.

2. Lokasi Penelitian

Penelitian ini dilakukan di Laboratorium Komputer Fakultas Kedokteran dan Ilmu Kesehatan Universitas Islam Negeri Alauddin Makassar.

B. Pendekatan Penelitian

Penelitian ini didasari dengan pendekatan pra eksperimen dengan sistem komputasi, yaitu penelitian eksperimen yang hanya menggunakan kelompok studi tanpa menggunakan kelompok kontrol serta pengambilan responden tidak dilakukan randomisasi, variable-variabel terkait secara otomatis akan ditentukan dengan software program komputer yang telah berkembang saat ini.

C. Sumber Data

1. Data Primer

Pada penelitian ini digunakan data primer yaitu struktur molekul dan aktivitas antikanker hasil eksperimen secara *in vivo* dari 11 senyawa turunan kumarin-kalkon-urea dari penelitian Kurt, *et al.* pada tahun 2017 yang berjudul

“Synthesis and biological evaluation of novel coumarin-chalcone derivatives containing urea moiety as potential anticancer agents”.

2. Data Sekunder

Pada penelitian ini digunakan data sekunder yaitu protein VEGFR2 yang diunduh dari situs *protein Data Bank /RCSB PDB* (<https://www.rcsb.org>) dan 23.340 senyawa alami dari situs *Zinc Database* (<https://www.zinc.docking.org>).

D. Instrumen Penelitian

Instrumen yang digunakan dalam penelitian ini adalah perangkat keras berupa satu set komputer yang mampu melakukan perhitungan kimia komputasi dengan spesifikasi : *Processor Intel® Core™ 2 Duo CPU E7500 @ 2.93 GHz 2.94 GHz*, RAM 2,00 GB dan *harddisk 700 GB* dengan perangkat lunak berupa sistem operasi *Windows™ 7 Ultimate*, *Hyperchem® release 8.0.8*, *Molecular Operating Environment (MOE) release 2009.10*, *Zinc* dan *SPSS 20.0 for Windows* serta satu buah laptop dengan spesifikasi *Processor Pentium® Dual-Core CPU T4400 @ 2.20 GHz 220 GHz*, RAM 4,00 GB dan *harddisk 500 GB* dengan perangkat lunak berupa *system operasi Windows™ 7 Ultimate*, *Hyperchem® release 8.0.8*, *Molecular Operating Environment (MOE) release 2009.10*, *Zinc* dan *SPSS 20.0 for Windows*, dan *Toxtree 2.6.0*.

E. Prosedur Pengolahan dan Analisis Data

1. Hubungan Kuantitatif Struktur-Aktivitas

a. Pemodelan Struktur Molekul

Pemodelan struktur senyawa turunan kumarin-kalkon yang berikatan dengan urea dibuat dengan menggunakan program *HyperChem*. Pembuatan model molekul terdiri atas pemilihan atom, jenis ikatan dan muatan total dari molekul uji. Struktur tiga dimensi (3D) setiap senyawa disimpan dalam format ekstensi *.hin.



Gambar 11. Jendela *HyperChem*

b. Optimasi Ligan

Struktur senyawa dioptimasi dengan perangkat lunak *HyperChem*, optimasi struktur geometri bertujuan untuk memperoleh konformasi struktur yang lebih stabil. Metode optimasi yang digunakan adalah metode semi empirik PM3.

Perbedaan metode mekanika kuantum *ab initio* dengan metode semi empirik PM3 adalah metode *ab initio* menghitung struktur molekul dengan melibatkan seluruh elektron yang berada pada kulit atom dari suatu atom. Metode ini relatif lebih lama dalam pengoperasiannya. Namun, hasil perhitungannya sangat akurat dan mendekati data yang sebenarnya. Metode mekanika kuantum

semiempirik PM3 dijalankan dengan lebih cepat karena tidak semua persamaan diselesaikan secara eksak dan elektron yang diperhitungkan hanyalah elektron valensinya saja. Data hasil perhitungannya tidak seteliti perhitungan dengan metode *ab initio*. Oleh karena itu, hasil perhitungan metode semiempirik ini diparameterisasi dengan data dari perhitungan metode *ab initio*. Parameterisasi ini bertujuan untuk melihat apakah nilai dari metode semiempirik sudah mendekati nilai dari metode *ab initio* yang tepat untuk senyawa yang dianalisis agar mendekati data yang sesuai dengan senyawa sebenarnya. Selain itu, metode PM3 juga tepat digunakan untuk senyawa organik yang mengandung gugus fenil di dalamnya (Asmara, 2018: 107-108).

Urutan perintah pada program *HyperChem* yaitu *Setup>PM3*. Selanjutnya, pilih *Compute>Geometry optimization* untuk memulai perhitungan optimasi geometri dengan parameter *default*. File yang telah dioptimasi disimpan dalam format ekstensi *.mol.

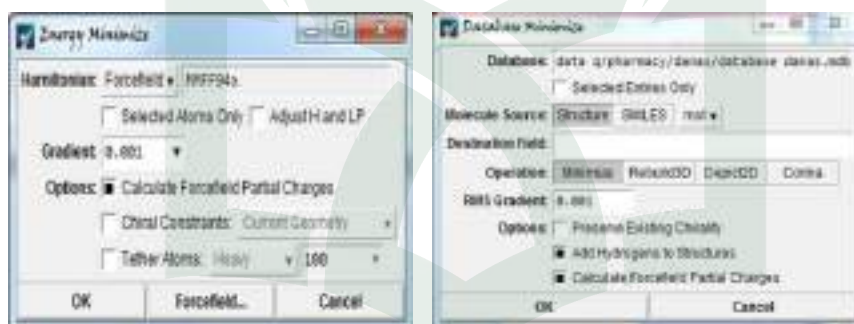


Gambar 12. Panel optimasi PM3 menggunakan program *HyperChem*

c. Kalkulasi deskriptor

Nilai deskriptor dikalkulasi menggunakan program MOE. Namun sebelum dikalkulasi, dioptimasi lagi menggunakan program MOE. Optimasi dimulai

dengan pembuatan database senyawa turunan kumarin-kalkon-urea, dengan menginput struktur senyawa yang telah dioptimasi di *Hyperchem* ke file database. Urutan perintah optimasi di MOE yaitu klik ganda struktur yang akan dioptimasi pada kolom *database Viewer*, pilih *Energy minimize* pada Jendela MOE, atur nilai *Gradient* menjadi 0,001. Selanjutnya kembali ke jendela *database*. Klik satu kali struktur yang baru diubah nilai *energy minimize*-nya kemudian pilih *Compute>Molecule>energy minimize* atur kembali nilai *RMS Gradient* menjadi 0,001. Lakukan pada 11 struktur senyawa turunan kumarin-kalkon-urea. Setelah semua struktur dioptimasi, baru mulai menghitung nilai deskriptor.



Gambar 13. Jendela *energy minimize*

Deskriptor yang dihitung adalah AM1_Dipole, AM1_E, AM1_Eele, AM1_HF, AM1_HOMO, AM1_LUMO, AM1_IP, ASA_H, ASA_P, log P (o/w), log S, mr, vdw_vol, vol, VSA, Q_VSA_PNEG, PEOE_VSA-6, dan vsurf_IW6. Urutan perintah untuk kalkulasi deskriptor adalah *Compute>Deskriptor>calculate*, kemudian pilih deskriptor yang akan dihitung, lalu tekan OK.

	AM1_dipole	AM1_E	AM1_Eele	AM1_H	AM1_HOMO	AM1_LUMO	AM1_H	AM1_F	AM1_g	AM1_logP	AM1_QS	AM1_W	AM1_WL	AM1_W	AM1_VSA
1	2.2524	-0.0233	-0.0233	11.7741	-8.1225	-8.8761	661.1217	0.0000	0.0531	1.1233	-1.2077	18.5025	528.8025	374.7588	420.0234
2	2.0780	-0.0441	-0.0441	51.1803	-8.2028	-8.8281	794.1485	0.0000	0.0620	1.1781	-4.5207	13.3438	638.5538	481.8888	596.1205
3	2.2473	-0.0259	-0.0259	19.8985	-8.3836	-8.8859	634.3134	0.0000	0.0452	1.0951	-3.7025	13.7850	671.2540	481.1158	537.8928
4	0.8595	-0.0470	-0.0470	55.1854	-8.4889	-8.8517	987.0645	0.0000	0.0729	1.1765	-3.0438	13.4222	653.2586	481.7098	513.1384
5	2.2829	-0.0197	-0.0197	57.8188	-8.9229	-8.8421	794.1485	0.0000	0.0629	1.4635	-4.1159	14.1000	685.7467	481.1598	534.5743
6	0.2748	-0.0405	-0.0405	25.4881	-8.1958	-8.8348	888.1384	0.0000	0.0622	1.4481	-4.0471	14.1000	677.3028	481.3888	554.1285
7	0.8812	-0.0284	-0.0284	59.8599	-8.1940	-8.7838	781.8138	0.0000	0.0682	1.0781	-5.0121	13.8248	634.8084	481.2738	490.7355
8	4.8882	-0.0287	-0.0287	44.8443	-8.2021	-8.7788	774.8635	0.0000	0.0623	1.3881	-5.1950	12.8038	625.2970	481.2738	486.1284
9	1.4913	-0.0284	-0.0284	8.1887	-8.2484	-8.7915	794.1485	0.0000	0.0499	1.5381	-3.4881	13.1215	665.6267	481.6238	506.1214
10	1.2534	-0.0409	-0.0409	44.1541	-8.1224	-8.7983	884.7187	0.0000	0.0589	1.3645	-4.4198	13.7791	657.3783	473.1738	508.1263
11	3.2452	-0.0438	-0.0438	47.5341	-8.1568	-8.7817	771.1281	0.0000	0.0623	1.5715	-3.4388	11.5785	618.5661	473.8888	476.6485
12	0.4088	-0.0478	-0.0478	35.1845	-8.1483	-8.7721	811.8681	0.0000	0.0581	1.4871	-3.5058	13.7792	677.3028	481.2738	555.5287
13	4.3482	-0.0281	-0.0281	44.8888	-8.1382	-8.7823	871.1710	0.0000	0.0583	1.3871	-4.0021	14.7228	718.1884	511.2738	505.5034
14	1.8532	-0.0478	-0.0478	51.8843	-8.3070	-8.8387	794.8885	0.0000	0.0548	1.7181	-3.0881	13.1888	625.8884	481.2738	507.8820
15	0.7185	-0.0471	-0.0471	18.7421	-8.3689	-8.8181	781.8685	0.0000	0.0679	1.7381	-3.5081	13.1888	625.8884	478.1588	505.4784
16	5.1284	-0.0478	-0.0478	55.8777	-8.2588	-8.8884	774.1485	0.0000	0.0781	1.7121	-3.5081	13.1728	625.8884	473.8888	506.6888
17	2.4248	-0.0405	-0.0405	18.7887	-8.2927	-8.8254	814.8181	0.0000	0.0689	1.8871	-4.4347	13.7525	668.8284	478.1738	513.7481
18	1.2588	-0.0287	-0.0287	58.4388	-8.3078	-8.8213	771.8185	0.0000	0.0579	1.3841	-4.1121	13.8811	625.8221	481.2738	496.1288
19	2.5082	-0.0405	-0.0405	78.1188	-8.3888	-8.8113	787.7885	0.0000	0.0682	1.3321	-5.1825	13.1870	625.8881	473.2738	506.1285
20	2.5882	-0.0401	-0.0401	7.1811	-8.2738	-8.8174	781.1788	0.0000	0.0634	1.7281	-3.7155	12.8888	623.7884	481.7084	488.1282

Gambar 14. Jendela Database Viewer (DBV)

Symbol	Description
AM1_dipole	AM1 Dipole Moment (Debye)
AM1_E	AM1 Total Energy (eV)
AM1_Eele	AM1 Electronic Energy (eV)
AM1_H	AM1 Heat of Formation (kJ/mol)
AM1_HOMO	AM1 HOMO Energy (eV)
AM1_LUMO	AM1 LUMO Energy (eV)
AM1_H	AM1 Heat of Formation (kJ/mol)
AM1_F	AM1 Fingerprint (bits)
AM1_g	AM1 Gasteiger Index (bits)
AM1_logP	AM1 LogP (logarithm of octanol/water partition coefficient)
AM1_QS	AM1 QSAR Index (bits)
AM1_W	AM1 Weighted Average (bits)
AM1_WL	AM1 Weighted Linear (bits)
AM1_W	AM1 Weighted Average (bits)
AM1_VSA	AM1 VSA Index (bits)

Gambar 15. Panel perhitungan deskriptor

Table 4. Daftar deskriptor

No.	Simbol pada software	Simbol umum	Deskriptor
1.	AM1_dipole	μ	Momen dipol
2.	AM1_E	E_{Tot}	Energi total
3.	AM1_Eele	E_{Ele}	Energi elektronik

4.	AM1_HF	HF	Panas pembentukan
5.	AM1_HOMO	E_{HOMO}	Energi HOMO
6.	AM1_LUMO	E_{LUMO}	Energi LUMO
7.	ASA_H	A	Luas permukaan hidrofobik
8.	ASA_P	Å	Luas permukaan polar
9.	AM1_IP	IP	Potensial ionisasi
10.	log P (o/w)	log P	Koefisien partisi
11.	log S	log S	Logaritma kelarutan dalam air
12.	Mr	MR	Refraktivitas molar
13.	vdw_vol	V_w	Volume Van der Walls
14.	Vol	Vol	Volume molekuler
15.	VSA	VSA	Luas permukaan Van der Walls
16.	Q_VSA_PNEG	Q_VSA	Total polar negatif pada permukaan
17.	Vsurf_IW6	Vsurf	Jumlah hidrofilik pada -4.0
18.	PEOE_VSA-6	PEOE_VSA	Total nilai negatif yang kurang dari -0,30

d. Perhitungan Statistik

Variabel tak bebas dalam penelitian ini adalah aktivitas antikanker hasil eksperimen, sedangkan variable bebas yang digunakan adalah berupa: AM1_Dipole, AM1_E, AM1_Eele, AM1_HF, AM1_HOMO, AM1_LUMO,

AM1_IP, ASA_H, ASA_P, log P (o/w), log S, mr, vdw_vol, vol, VSA, Q_VSA_PNEG, PEOE_VSA-6, dan vsurf_IW6.. Semua variable dianalisis menggunakan regresi multilinier metode *backward* untuk mengetahui urutan variable bebas mana yang berpengaruh terhadap aktivitas senyawa. Nilai F yang digunakan yaitu *F Value* dengan *entry* 999,9 dan *Removal* 99,9. Hasil yang diperoleh berupa persamaan HKSA beserta nilai parameter statistik seperti nilai r, r^2 , dan F. Nilai F menunjukkan kemaknaan hubungan bila dibandingkan dengan F tabel. Nilai F adalah indikator bilangan untuk menunjukkan bahwa hubungan yang dinyatakan oleh persamaan yang didapat, adalah benar atau merupakan kejadian kebetulan. Nilai r (koefisien korelasi) menunjukkan tingkat hubungan antara data aktivitas biologis pengamatan percobaan dengan data hasil perhitungan berdasarkan persamaan yang diperoleh dari hasil analisis regresi. Koefisien korelasi adalah angka yang bervariasi mulai dari 0 sampai 1. Semakin tinggi nilainya maka semakin baik hubungannya. Untuk mendapatkan nilai koefisien korelasi yang dapat diterima tergantung pada jumlah data penelitian. Semakin banyak jumlah data penelitian maka semakin rendah koefisien korelasi atau nilai r yang dapat diterima (Siswandono, 2001).

Untuk mendapatkan model dengan nilai r tertinggi, dilakukan eliminasi senyawa yang memiliki deviasi terbesar berdasarkan nilai Z pada hasil komputasi MOE, dimana struktur senyawa dengan nilai $Z > 2$ dieliminasi dari nilai statistik. Selain parameter statistik tersebut, dari hasil perhitungan juga diperoleh nilai tetapan dan nilai koefisien setiap variabel bebas yang terlibat dalam persamaan

yang dihasilkan. Nilai koefisien yang diperoleh digunakan untuk menghitung aktivitas inhibisi teoritis.

e. Validasi dan Penetapan Model HKSA

Selanjutnya model-model yang terpilih divalidasi silang dengan metode *Leave One Out cross validation (LOOCV)*, yaitu dengan cara setiap senyawa terprediksi dihilangkan dalam perhitungan analisis regresi linear. Persamaan HKSA yang terpilih adalah persamaan dengan nilai kriteria statistic terbaik dan memenuhi kriteria validasi yaitu $q^2 \geq 0.5$. Nilai q^2 di hitung menurut persamaan :

$$q^2 = 1 - \frac{\sum(y_i - \hat{y}_i)^2}{\sum(y_i - \bar{y})^2}$$

y_i = aktivitas eksperimen senyawa ke-i

\hat{y} = aktivitas eksperimen rata-rata

\bar{y}_i = aktivitas prediksi validasi

2. *Penelusuran Farmakofor dan Virtual Skrining*

a. Menyejajarkan Struktur Protein-Ligan

Protein VEGFR2 (dengan kode 3WZE dan 4ASD) diunduh dari situs RCSB.PDB. Seluruh struktur ligan dan protein kemudian dibuka pada jendela MOE dan disejajarkan sehingga rantai memiliki struktur yang sama yang akan bergerak bersama-sama sebagai satu unit. Dengan cara ini kompleks protein-ligan dapat disejajarkan. File kemudian disimpan sebagai *database*.

b. Penentuan Fitur Farmakofor

Pencarian farmakofor secara hipotetik digambarkan sebagai *pharmacophore query*, yaitu seperangkat fitur *query* yang biasanya dibuat dari

titik anotasi ligan. Titik anotasi adalah penanda dalam ruang yang menunjukkan lokasi dan jenis atom atau gugus yang penting, seperti donor dan akseptor hidrogen, pusat aromatik, posisi proyeksi interaksi yang mungkin, muatan gugus, dan bio-isosterik. Poin-poin anotasi pada ligan adalah lokasi fitur yang potensial yang akan menjadi *query pharmacophore*. Fitur farmakofor ditentukan melalui empat tahapan yaitu membuat *database* konformasi, membuat *Query Pharmacophore*, mencari fitur farmakofor berdasarkan *Query Pharmacophore* pada *database* konformasi, kemudian memperbaiki *Query*.

Query Pharmacophore dibuat dengan menggunakan senyawa obat yang dianggap mampu terikat dengan protein 3WZE dan 4ASD hingga dijadikan sebagai penuntun. Setelah senyawa penuntun terbuka pada jendela MOE, *Pharmacophore Query editor* dibuka dengan perintah *MOE> File> New> Pharmacophore Query*. Skema anotasi farmakofor otomatis membuat *query pharmacophore*, sehingga pada jendela MOE akan terlihat fitur-fitur farmakofor yang terdapat pada senyawa penuntun. Skema anotasi yang digunakan adalah *unified*. Titik anotasi yang sesuai dengan hasil penelitian interaksi ligan reseptor dan SAR dipilih untuk menjadi fitur farmakofor



Gambar 16. Panel *Pharmacophore Query Editor*

Langkah ketiga adalah menjalankan *pharmacophore search*. Tujuannya adalah untuk menguji *query pharmacophore* apakah cocok dengan fitur-fitur farmakofor dari keseluruhan senyawa atau sebagian senyawa yang terbaik, sehingga dapat ditentukan fitur berperan penting pada aktivitas senyawa. Perbaikan *query* dimaksudkan untuk memodifikasi *query* atau menghasilkan kecocokan dengan pengaturan *query* yang lebih ketat.

Untuk molekul yang mirip dapat diselaraskan dan dibuat konsensus sehingga memudahkan untuk memilih fitur farmakofor. Konsensus farmakofor menyediakan fitur yang disarankan yang terdapat pada molekul-molekul yang selaras. Penyelarasan (alignment) senyawa-senyawa dalam database konformasi dengan menggunakan *MOE's Flexible Alignment*, dengan urutan perintah *MOE> Compute> Simulations> Flexible Alignment*.

Langkah keempat adalah virtual skrining, dengan mendownload terlebih dahulu beberapa ribu senyawa dari *zinc database*. Senyawa-senyawa yang telah didownload kemudian disimpan sebagai *database*, untuk melakukan langkah virtual skrining ikuti beberapa perintah *MOE> Compute> Pharmacophore> Search*. Tujuan virtual skrining adalah untuk memperoleh senyawa-senyawa yang hits antara senyawa-senyawa dari *zinc database* dengan fitur farmakofor yang diperoleh.

3. *Docking* Molekul

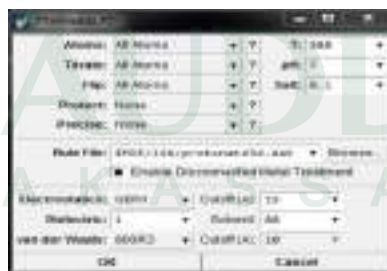
Teknik *docking* molekul memungkinkan kita untuk mengevaluasi kecocokan obat potensial (ligan) ke situs reseptor. Sifat atom dan gugus fungsi

dari struktur obat memungkinkan kita untuk menyelidiki pengikatan ligan ke situs target.

Pendekatan yang digunakan adalah semi *rigid*, dimana protein dibuat lebih fleksibel. Metode pendekatan ini akan memberikan kemungkinan interaksi dalam berbagai konformasi ligan sehingga memungkinkan untuk mendapatkan hasil yang terbaik. Jumlah bentuk konformasi yang memungkinkan sesuai dengan banyaknya ikatan *rotatable* yang ada. Tahapan prosedur *docking* terdiri dari tiga langkah, yaitu preparasi ligan, preparasi protein dan simulasi *docking*.

a. Preparasi Ligan

Ligan dalam bentuk struktur tiga dimensi dioptimasi dengan metode *Ab initio* menggunakan program *Hyperchem*. Struktur kemudian disimpan dalam format *.mol. File dibuka pada jendela MOE. Struktur diprotonisasi untuk menambahkan hidrogen dan muatan parsial, dengan Protonisasi tiga dimensi. Urutan perintah *MOE > Compute > Protonate 3D*. File kemudian disimpan dalam *database*.mdb*.



Gambar 17. Panel *Protonate 3D*

b. Preparasi Protein

Reseptor diunduh dari situs *RSCB.PDB* dalam format *.pdb/*.ent. Molekul air kemudian dihapus dari struktur. Protein kemudian diprotonisasi dengan

langkah yang sama pada preparasi ligan. Untuk memastikan telah dilakukan protonisasi, dilakukan pengecekan hingga dipastikan tiap atom pada molekul memiliki muatan.

c. Simulasi *Docking*

Ligan dan reseptor yang telah diprotonisasi dibuka dalam jendela MOE. Panel simulasi *docking* dibuka dengan urutan perintah *MOE > Compute > Simulations > Dock. Receptor* pada panel *Dock* diatur *Receptor + Solvent, Site* diatur *Ligand atoms*. *Ligand* diatur *MDB File* (atau *Selected atoms* jika ligan terbuka pada jendela MOE dan di-select). *Placement* diatur *Proxy triange*, *rescoring 1* menggunakan *Alpha HB* dan *refinement* diatur *Forcefield* dan *rescoring 2* menggunakan *Alpha HB*. Posisi *docking* terbaik dipilih berdasarkan nilai *rmsd* (≤ 2) atau kedekatan dengan struktur ligan dan nilai *scoring* terendah.



Gambar 18. Panel *Dock*

4. Studi Bioavailabilitas

Senyawa yang memiliki kelarutan dan permeabilitas yang buruk dapat diprediksi menggunakan *rule of 5* lipinski. Pada *rule of 5* lipinski menyatakan bahwa absorpsi dan permeasi yang kurang baik ketika suatu senyawa memiliki lebih dari lima donor ikatan hidrogen (ditunjukkan dengan jumlah OH dan NH),

berat molekul lebih dari 500, Log P lebih dari 5 (atau MLogP lebih dari 4.15), terdapat lebih dari 10 akseptor ikatan H (ditunjukkan oleh jumlah N dan O).

5. Studi Toksisitas

Prediksi ini dilakukan dengan menginput file struktur dalam bentuk *.mol. Selanjutnya memilih metode penentuan kriteria toksisitas pada senyawa. *Klik method >> select a decision tree >>select available decision tree >> ok >> estimate >> save *.pdf*. Estimasi dilakukan untuk melihat penentuan criteria toksisitas suatu senyawa berdasarkan toxtre. Sebelum melakukan estimasi maka dipilih *verbose explanation* untuk menentukan tingkatan dan detail dari hasil yang didapatkan.



Gambar 19. Jendela Toxtree

Selain Toxtree, digunakan juga admetSAR untuk mengetahui nilai toksisitas pada ikan, tikus, dan *Tetrahymena Pyriformis*. Caranya dengan memilih *Predict* dari jendela *Home* >> masukkan format smiles senyawa pada kotak *Input SMILES Here* >> *Predict*.



Gambar 20. Jendela AdmetSAR

6. Studi Farmakokinetik

Prediksi ini dilakukan dengan bantuan dari situs preadmet.bmdrc.org yang merupakan aplikasi berbasis web untuk memprediksi data ADME dan membangun sifat sifat *drug-like* menggunakan metode in siliko. Klik *load >>* masukkan data dari file mol yang dibuka menggunakan fasilitas perangkat lunak pengolah data (*Microsoft Office Word* atau *WordPad*) >> *Load >> Submit*.



Gambar 21. Jendela PreADMET

BAB IV

HASIL PENELITIAN DAN PEMBAHASAN

A. Hasil Penelitian

1. Hubungan Kuantitatif Struktur-Aktifitas (HKSA)

Tabel 5. Hasil regresi multilinear metode *backward*

Model Summary				
Model	R	R Square	Adjusted R Square	Std. Error of the Estimate
1	1,000 ^a	1,000	.	.
2	0,995 ^b	0,989	0,903	0,029656
3	0,989 ^c	0,978	0,902	0,029866
4	0,987 ^d	0,975	0,925	0,026058
5	0,934 ^e	0,872	0,712	0,051216
6	0,897 ^f	0,804	0,648	0,056648
7	0,562 ^g	0,315	-0,027	0,096714
8	0,503 ^h	0,253	0,040	0,093515
9	0,461 ⁱ	0,213	0,114	0,089831
10	0,000 ^j	0,000	0,000	0,095445

- a. Predictors: (Constant), vsurf_IW6, vdw_vol, AM1_HF, logP(o/w), AM1_IP, Q_VSA_PNEG, logS, AM1_HOMO, AM1_dipole
- b. Predictors: (Constant), vsurf_IW6, AM1_HF, logP(o/w), AM1_IP, Q_VSA_PNEG, logS, AM1_HOMO, AM1_dipole
- c. Predictors: (Constant), vsurf_IW6, AM1_HF, AM1_IP, Q_VSA_PNEG, logS, AM1_HOMO, AM1_dipole
- d. Predictors: (Constant), vsurf_IW6, AM1_HF, AM1_IP, Q_VSA_PNEG, AM1_HOMO, AM1_dipole
- e. Predictors: (Constant), vsurf_IW6, AM1_HF, Q_VSA_PNEG, AM1_HOMO, AM1_dipole
- f. Predictors: (Constant), vsurf_IW6, AM1_HF, Q_VSA_PNEG, AM1_dipole
- g. Predictors: (Constant), vsurf_IW6, Q_VSA_PNEG, AM1_dipole
- h. Predictors: (Constant), Q_VSA_PNEG, AM1_dipole
- i. Predictors: (Constant), Q_VSA_PNEG
- j. Predictor: (constant)

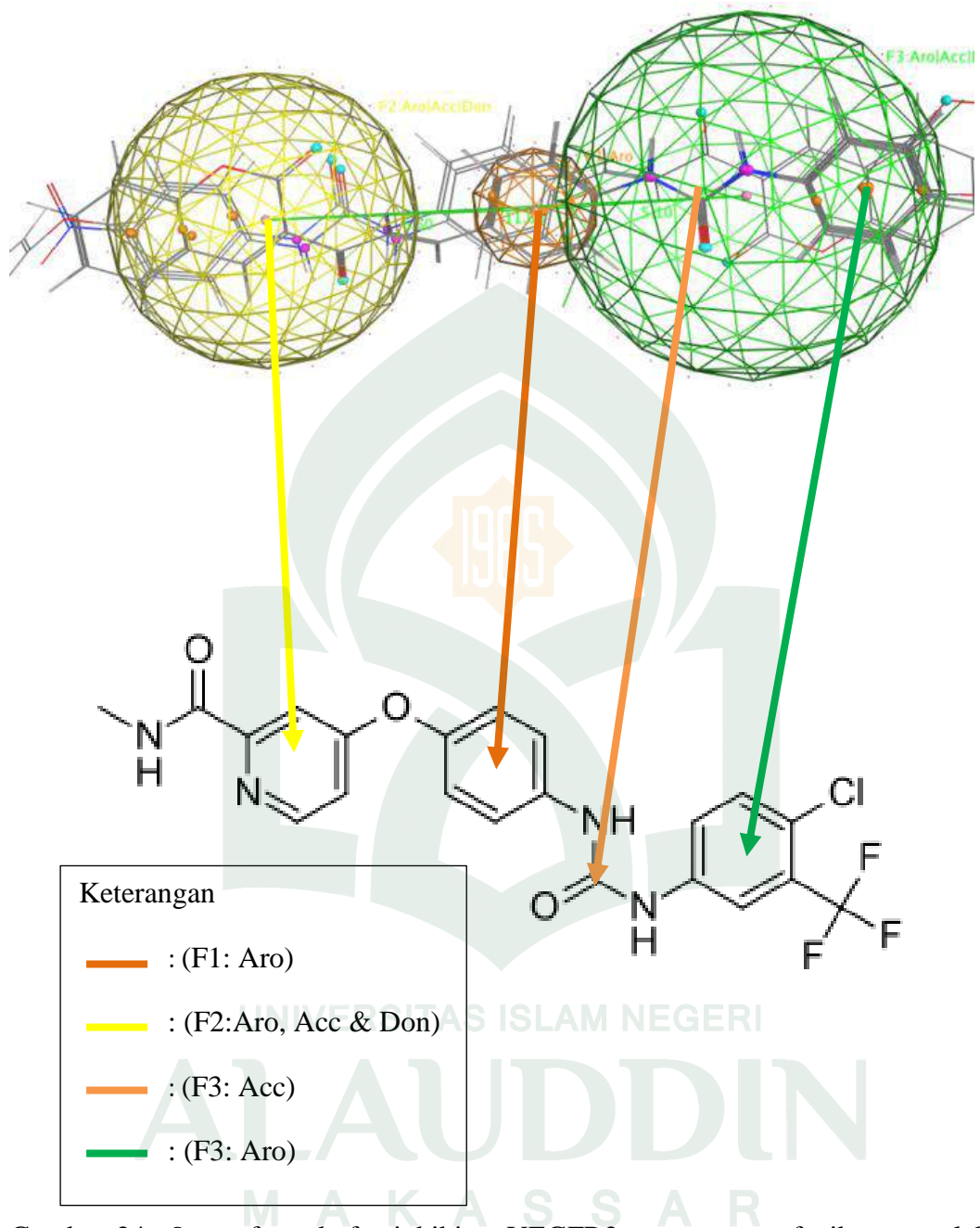
Tabel 6. Kombinasi deskriptor dengan nilai kriteria statistik dan validasi *Leave One Out* (q^2)

No.	Jumlah deskriptor	Deskriptor	R	R ²	Standard Error of Estimate	F	Sig.	q ²
1	4	ASA_P, vol, VSA, PM3_HF	0,879	0,772	0,061096	4,241	0,072	0,417
2	6	ASA_P, mr, PEOE_VSA-6, vsurf_IW6, AM1_HF, vol	0,905	0,818	0,061054	3,599	0,119	0,059
3	5	VSA, PEOE_VSA-6, Q_VSA_PNEG, AM1_dipole, ASA_H	0,933	0,870	0,051609	5,358	0,065	0,753
4	5	VSA, AM1_IP, PEOE_VSA-6, AM1_Eele, Q_VSA_PNEG	0,724	0,525	0,098691	0,884	0,563	-0,01
5	5	Q_VSA_PNEG, mr, PEOE_VSA-6, AM1_Eele, ASA_H	0,732	0,536	0,097573	0,992	0,546	-0,19
6	5	VSA, PEOE_VSA-6, Q_VSA_PNEG, AM1_Eele, ASA_H	0,934	0,872	0,051216	5,451	0,063	0,45
7	5	vsurf_IW6, AM1_Eele, PEOE_VSA-6, ASA_H, Q_VSA_PNEG	0,845	0,714	0,076628	1,993	0,262	0,01
8	5	vsurf_IW6, mr, AM1_Eele,	0,811	0,658	0,083778	1,536	0,349	-0,01

		PEOE_VSA-6, Q_VSA_PNEG						
9	5	vsurf_IW6, VSA, Q_VSA_PNEG, PEOE_VSA-6, AM1_Eele	0,785	0,616	0,088708	1,284	0,416	0,001
10	5	VSA, AM1_IP, PEOE_VSA-6, Q_VSA_PNEG, ASA_H	0,922	0,850	0,055421	4,539	0,084	0,04
11	5	vsurf_IW6, VSA, Q_VSA_PNEG, PEOE_VSA-6, ASA_H	0,909	0,826	0,059644	3,809	0,110	0,43
12	5	VSA, PEOE_VSA-6, Q_VSA_PNEG, mr, ASA_H	0,897	0,805	0,063233	3.301	0,135	0,38

Tabel 7. Hasil Nilai Korelasi Pearson

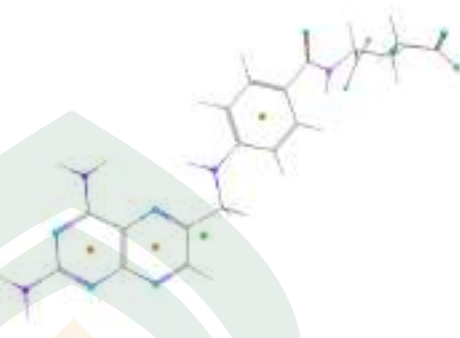
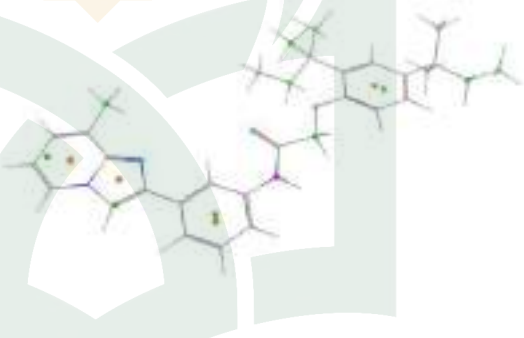
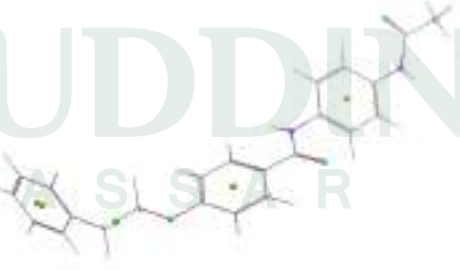
		AM1_dipole	ASA_H	PEOE_VSA-6	Q_VSA_PNEG	VSA	Log IC50
Log IC50	Pearson Correlation	0,265	0,080	-0,461	-0,113	-0,205	1
	Sig. (2-tailed)	0,460	0,825	0,180	0,755	0,569	
	N	10	10	10	10	10	10

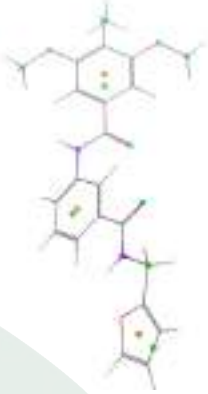


Gambar 24. *Query* farmakofor inhibitor VEGFR2 senyawa sorafenib yang telah disejajarkan dengan ligan

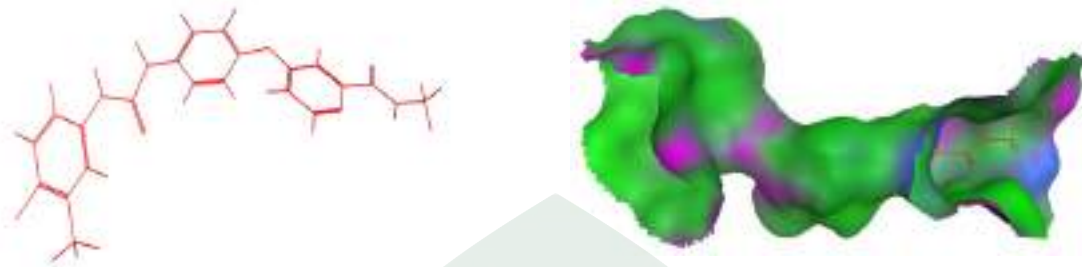
3. *Virtual Skrining*

Tabel 8. Database 6 senyawa hits hasil virtual skrining

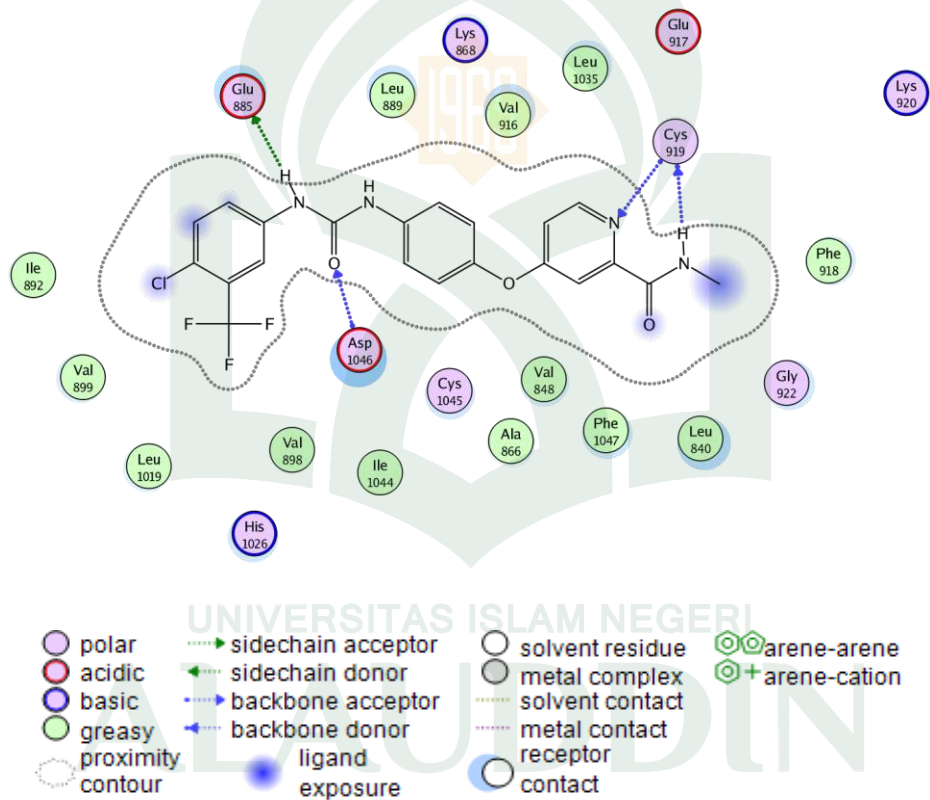
No.	Molekul	Farmakofor yang <i>hits</i>
1.	SN0002719	 The chemical structure of SN0002719 is a complex molecule featuring a central benzene ring substituted with a methyl group and a propyl chain. This central ring is connected to a larger, more intricate system of fused and linked rings, including a pyridine ring and a benzimidazole-like structure, with various substituents.
2.	ZINC0843961	 The chemical structure of ZINC0843961 is a complex molecule with a central benzene ring substituted with a methyl group and a propyl chain. This central ring is connected to a larger, more intricate system of fused and linked rings, including a pyridine ring and a benzimidazole-like structure, with various substituents.
3.	ZINC0855532	 The chemical structure of ZINC0855532 is a complex molecule with a central benzene ring substituted with a methyl group and a propyl chain. This central ring is connected to a larger, more intricate system of fused and linked rings, including a pyridine ring and a benzimidazole-like structure, with various substituents.

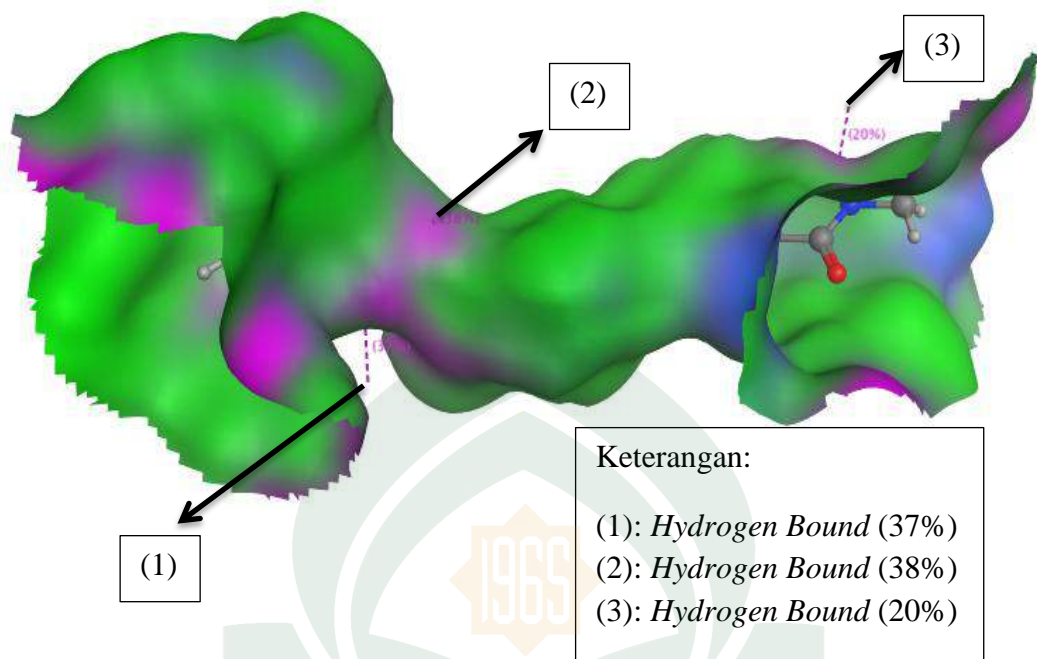
4.	ZINC1213889	 A ball-and-stick model of a complex organic molecule, ZINC1213889. It features a central benzene ring with a carbonyl group (C=O) at the top. This ring is connected to a chain of three more benzene rings, each with various substituents including methyl, hydroxyl, and other functional groups.
5.	ZINC3463348	 A ball-and-stick model of a complex organic molecule, ZINC3463348. It consists of a central benzene ring with a carbonyl group (C=O) at the top. This ring is connected to a chain of three more benzene rings, each with various substituents including methyl, hydroxyl, and other functional groups.
6.	ZINC4031027	 A ball-and-stick model of a complex organic molecule, ZINC4031027. It features a central benzene ring with a carbonyl group (C=O) at the top. This ring is connected to a chain of three more benzene rings, each with various substituents including methyl, hydroxyl, and other functional groups.

4. Docking Molekul



Gambar 25. Posisi ligan dan *Molecular surface* asli protein 3WZE





Gambar 26. Interaksi ligan asli protein 3WZE

Tabel 9. Hasil *docking* senyawa *hits* hasil virtual skrining pada protein 3WZE

Senyawa	Entry	Docking Score (S) (kkal/mol)	Ikatan		Jarak Ikatan (Å)	Residu asam amino yang terikat
			Jenis	Σ		
SN00002719	2	-157,416	Hidrogen	1	1,80	Asp1048
ZINC08439619	30	-152,607	Hidrogen	1	2,32	Asp1048
ZINC08555320	62	-125,607	Hidrogen	1	2,25	Lys868
ZINC12138892	105	-138,529	Hidrogen	4	2,0	Glu885
					1,74	Asp1048
					2,16	Lys868
					4,38	Cys919

ZINC34633488	125	-144,179	Hidrogen	2	3,7	Asp1048
					2,10	Cys919
ZINC40310270	158	-144,642	Hidrogen	1	1,97	Cys919

5. Prediksi Toksisitas, Profil Farmakokinetik, dan Kajian Metabolisme

a. Studi Bioavailabilitas

Tabel 10. Aturan lipinski dari 2 senyawa hasil *docking* dengan interaksi yang baik

Senyawa	LogP	Donor Hidrogen	BM	Akseptor Hidrogen	Aturan Lipinski
<u>ZINC12138892</u>	9,615	5	875,2	8	2
<u>ZINC34633488</u>	0,438	9	923,2	10	2

Keterangan:

Aturan lipinski:

0 = Tidak ada masalah terdeteksi

1-4 = Kemungkinan memiliki absorpsi dan permeasi yang buruk

b. Hasil prediksi toksisitas

Tabel 11. Hasil prediksi toksisitas dengan menggunakan Toxtree dan admetSAR

NO	Senyawa Utama	Cramer Rules		Benigni/Bossa Rulebase *		CYPs**		Kroes TTC		Rat Acute Toxicity (mol/kg)	Fish Toxicity (mg/L)	Tetrahymena Pyriformis (Toxicity ug/L)
1	<u>ZINC12138892</u>	3	-	8, 9	√	1,2,3,4	√	1	√	2,2579	0,478	0,3172
2	<u>ZINC34633488</u>	3	-	1, 9	-	1,2,3,4	√	2	-	2,6269	1,5775	0,3202

Keterangan :

* *The Benigni / Bossa rulebase for mutagenicity and carcinogenicity****Cytochrome P450-mediated drug metabolism*

√ = Baik

- = Kurang baik

Tabel 12. Hasil prediksi farmakokinetik menggunakan PreADMET

No	Senyawa	BBB (<i>Blood Brain Barriers</i>) Penetration*	HIA (<i>Human Intestinal Absorption</i>) (%)**	Plasma Protein Binding (%)***	Caco-2 cell permeability (nm/sec)****	MDCK permeability
1	<u>ZINC12138892</u>	0,0196657	94,729716	83,818563	28,9337	0,0627734
2	<u>ZINC34633488</u>	0,0293994	15,445791	1,828274	7,20387	0.497066

* *Blood Brain Barriers*, lebih dari 2.0 *high absorption to CNS*, 2.0 ~ 0.1 *middle absorption to CNS*, kurang dari 0.1 *low absorption to CNS*

** *Human Intestinal Absorption*, 0-20% *poorly absorbed compounds*, 20 ~ 70% *moderately absorbed compounds*, 70 ~ 100% *well absorbed compounds*

*** *Plasma Protein Binding*, lebih dari 90% *chemicals strongly bound*, kurang dari 90% *chemicals weakly bounds*

**** *Caco-2 cell permeability*, kurang dari 4 *low permeability*, 4 ~ 70 *middle permeability*, lebih dari 70 *high permeability*

B. Pembahasan Hasil Penelitian

1. Hubungan Kuantitatif Struktur-Aktifitas (HKSA)

Quantitative Structure-Activity Relationship (QSAR) atau Hubungan Kuantitatif Struktur Aktivitas (HKSA) adalah salah satu metode kimia komputasi yang mempelajari korelasi secara kuantitatif antara struktur molekul dan nilai aktivitas biologis yang terukur secara eksperimen. Kajian HKSA menjabarkan suatu model persamaan yang menghubungkan ketergantungan harga aktivitas suatu senyawa secara eksperimen dengan struktur molekul.

Dalam penelitian ini, digunakan 12 senyawa (11 senyawa turunan kumarin-kalkon-urea dan 1 senyawa sorafenib sebagai kontrol positif). Deskriptor yang digunakan ada 18 perwakilan deskriptor terbaik untuk senyawa kumarin-kalkon-urea sebagai antikanker, dimana semuanya berdasarkan dari penelitian sebelumnya.

Hasil perhitungan deskriptor (Lamp. II) kemudian dianalisis secara statistik menggunakan analisis regresi multilinear dengan bantuan perangkat lunak SPSS 16. Deskriptor-deskriptor tersebut diregresikan terhadap nilai afinitas (LogIC_{50}) pada sel HCC (HepG2) sebagai variabel terikat dan deskriptor sebagai variabel bebas.

Berdasarkan hasil perhitungan deskriptor dari 12 senyawa turunan kumarin-kalkon-urea, dilakukan eliminasi senyawa yang memiliki nilai ZScore > 2 sehingga tersisa 10 senyawa, hal ini dilakukan untuk mendapatkan nilai r^2 tertinggi. Senyawa yang telah didapatkan dari hasil perhitungan menggunakan aplikasi MOE digunakan untuk membangun persamaan HKSA dengan melakukan

analisis regresi *multilinear* dengan metode *backward* pada aplikasi SPSS 16 untuk mengetahui variabel bebas yang berpengaruh pada senyawa. Analisis regresi *multilinear* ini menggunakan variabel bebas berupa nilai dari 18 deskriptor dan variabel terikat berupa nilai LogIC_{50} eksperimen dari masing-masing turunan senyawa kumarin-kalkon-urea. Hasil perhitungan analisis statistik regresi *multilinear* ditampilkan pada Tabel 5.

Model HKSA yang akan terpilih harus dapat memenuhi semua kriteria statistik yang digunakan. Beberapa kriteria statistik yang harus dipenuhi adalah nilai $r > 0,8$; nilai $r^2 \geq 0,8$ dan $q^2 \geq 0,5$ (Arba, dkk. 2016: 133). Nilai r (koefisien korelasi) menunjukkan tingkat hubungan antara data aktivitas biologis pengamatan percobaan dengan data hasil perhitungan berdasarkan persamaan yang diperoleh dari hasil analisis regresi. Koefisien korelasi adalah angka yang bervariasi mulai dari 0 sampai 1. Semakin tinggi nilainya maka semakin baik hubungannya. Untuk mendapatkan nilai koefisien korelasi yang dapat diterima tergantung pada jumlah data penelitian. Semakin banyak jumlah data penelitian maka semakin rendah koefisien korelasi atau nilai r yang dapat diterima (Siswandono, 2001).

Dari 10 model persamaan pada Tabel 5, model persamaan 5 terpilih karena memiliki nilai $r = 0,934$ dan nilai $r^2 = 0,872$ dengan jumlah deskriptor 5 yang mewakili parameter hidrofobik, elektronik, dan sterik. Adapun model persamaan 4 dan 6 yang juga memenuhi kriteria statistik, maka akan diparameter dengan model persamaan 5 untuk memilih persamaan terbaik. Selanjutnya, model 4, 5 dan 6 yang telah terpilih divalidasi untuk membuktikan apakah model terpilih

tersebut benar-benar merupakan model persamaan HKSA yang valid dan prediktif.

Model terpilih yang telah diperoleh dari analisis regresi *multilinear* kemudian divalidasi menggunakan teknik validasi silang (*Cross Validation*). Cara pengujian teknik validasi silang yaitu dengan menerapkan *Leave One Out* (LOO) menggunakan kriteria q^2 . Dengan teknik LOO, setiap senyawa yang digunakan dihilangkan data aktivitas eksperimennya secara bergantian dan dilakukan penggunaan variasi deskriptor dalam analisis regresi *multilinear*, dimana akan dihasilkan beberapa persamaan. Hasil dari analisis regresi tersebut kemudian dihitung nilai q^2 -nya. Nilai q^2 semakin baik jika mendekati satu. Persamaan dikatakan dapat diterima jika nilai $q^2 \geq 0.5$ (Arba, dkk. 2016: 133). Setelah dilakukan analisis, diperoleh nilai q^2 dari 10 model persamaan terbaik yang ditampilkan pada Tabel 6.

Dari Tabel 6, menunjukkan bahwa model 3 memiliki nilai r , r^2 , q^2 yang memenuhi syarat dan telah valid. Deskriptor yang digunakan pada model 5 antara lain AM1_dipole, ASA_H, PEOE_VSA-6, Q_VSA_PNEG dan VSA. Adapun persamaan yang diperoleh yaitu, $\text{LogIC}_{50} = 3,125 + (0,060 \times \text{AM1_dipole}) + (-0,024 \times \text{ASA_H}) + (-0,259 \times \text{PEOE_VSA-6}) + (-0,071 \times \text{Q_VSA_PNEG}) + (0,034 \times \text{VSA})$. Regresi multinier terbaik yang berisi lima deskriptor ini menghasilkan korelasi yang baik dengan hasil eksperimen ($r^2 = 0,870$) dan validasi silang ($q^2 = 0,75$).

Menurut Sakagami *et al.* (2017) PEOE_VSA-6 (Total nilai negatif yang kurang dari -0,30 pada permukaan) dan Q_VSA_PNEG (Total polar negatif pada

permukaan) merupakan deskriptor yang berpengaruh pada sifat sitotoksik senyawa kalkon terhadap sel normal. Berdasarkan Roy *et al.* (2015) AM1_dipole atau momen dipol adalah deskriptor yang memperhitungkan kekuatan dan sifat molekul berdasarkan elektrostatisnya dalam muatan atau kordinat dari atom. Sedangkan VSA adalah luas permukaan Van der Waals dari suatu senyawa. ASA_H atau luas permukaan hidrofobik adalah deskriptor yang menunjukkan bila nilai dari sifat hidrofobiknya positif maka senyawa tersebut lebih hidrofobik daripada hidrogen sedangkan bila negatif maka senyawa tersebut memiliki sifat hidrofobik yang rendah.

Bila dilihat dari persamaan $\log IC_{50}$, nilai dari AM1_dipole dan VSA adalah positif sehingga dapat ditarik kesimpulan bahwa semakin bertambah momen dipol dan luas permukaan Van der Waals dari senyawa turunan kumarin-kalkon-urea maka semakin meningkatkan efek antikanker dari senyawa tersebut. Sedangkan nilai dari PEOE_VSA-6 dan Q_VSA_PNEG adalah negatif sehingga dapat ditarik kesimpulan bahwa semakin berkurang total nilai polar negatif pada permukaan maka akan meningkatkan efek antikanker pada senyawa turunan kumarin-kalkon-urea. Untuk nilai dari ASA_H yang juga negatif dapat ditarik kesimpulan bahwa sifat hidrofobik dari senyawa turunan kumarin-kalkon-urea rendah.

Nilai korelasi (*Pearson*) berkisar (r) antara 1 sampai -1, nilai semakin mendekati 1 atau -1 berarti hubungan antara dua variabel semakin kuat, sebaliknya nilai mendekati 0 berarti hubungan antara dua variabel semakin lemah, jika koefisien korelasi adalah -1, maka kedua variabel yang diteliti mempunyai

hubungan linier sempurna negatif. Jika koefisien korelasi adalah +1, maka kedua variabel yang diteliti mempunyai hubungan linier sempurna positif. Signifikansi bisa ditentukan lewat baris sig. (*2-tailed*). Nilai 5% atau 0.05 menunjukkan kesalahannya 5% dan signifikansinya/kesempatan untuk benar sebesar 95%. Jika nilai sig. (*2-tailed*) <0.05 (5%), maka hubungan yang terdapat pada r dianggap signifikan. Signifikansi yang biasa digunakan meliputi 0,01 (99%), 0,05% (05%) dan 0,1 (90%) (Kubinyi, 1993).

Dari hasil korelasi pearson (Tabel 7), diperoleh nilai korelasi yang menunjukkan hubungan antara AM1_dipole dengan logIC₅₀ (0,265) dan ASA_H dengan logIC₅₀ (0,080) menunjukkan hubungan yang lemah, searah (ditandai dengan nilainya yang positif) dan kurang signifikan (kebenarannya dibawah 90%). Q_VSA_PNEG dengan logIC₅₀ (-0,113) dan VSA dengan logIC₅₀ (-0,205) menunjukkan hubungan yang lemah, tidak searah (ditandai dengan nilainya yang negatif) dan kurang signifikan (kebenarannya dibawah 90%). Sedangkan untuk PEOE_VSA-6 dengan logIC₅₀ (-0,461) menunjukkan hubungan yang kuat, tidak searah dan signifikan (kebenarannya hampir 90% atau mendekati 0,1).

Maka, terpilih deskriptor yang memiliki pengaruh pada aktivitas antikanker pada senyawa turunan kumarin-kalkon-urea yaitu PEOE_VSA-6, dimana dapat disimpulkan bahwa semakin berkurang total nilai polar negatif pada permukaan Van der Waals maka akan meningkatkan efek antikanker pada senyawa turunan kumarin-kalkon-urea

2. Penelusuran Farmakofor

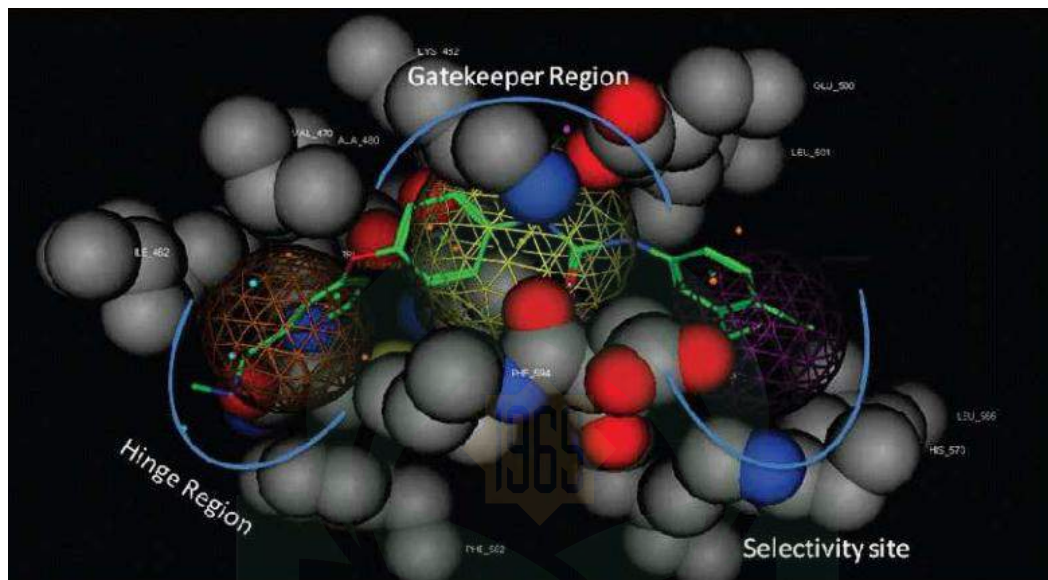
Struktur kompleks reseptor-ligan VEGFR2 dalam beberapa tahun terakhir masih diteliti untuk efeknya sebagai antikanker pada kanker hati. Terdapat dua struktur yang telah dilaporkan dan dapat diunduh dari situs www.rcsb.org dengan kode protein 3WZE dan 4ASD dimana ligan alami yang dipilih dari kedua reseptor-ligan adalah sorafenib.

Dengan menggunakan struktur protein tersebut, selanjutnya dibuat *query* farmakofor dalam program MOE. Tujuan dari penyusunan *query* farmakofor adalah untuk menjelaskan struktur 3D senyawa turunan kumarin-kalkon-urea yang penting untuk pengikatan dengan reseptor dan menghasilkan farmakofor yang dapat digunakan untuk mengukur fitur struktur dari reseptor VEGFR2 yang penting untuk aktivitas biologis dengan melihat residu asam amino yang berperan pada pengikatan.

Sidik jari ligan sorafenib (Gambar 22.) ditunjukkan oleh barcode baris pertama, dimana asam amino yang terikat adalah GLU 885, CYS 919 dan ASP 10461 dengan kode sidik jari DDddaaaa. Hal ini menunjukkan bahwa ligan sorafenib berikatan dengan residu asam amino glutamat di posisi 885, sistein di posisi 919 dan aspartat di posisi 1046 dari reseptor. Pada glutamate terjadi interaksi donor pada rantai samping, sedangkan pada sistein dan aspartate terjadi interaksi *backbone* akseptor.

Adapun *query* farmakofor yang berperan dalam interaksi ligan-reseptor senyawa sorafenib dan reseptor VEGFR2 berdasarkan hasil penelusuran farmakofor (Gambar 23.) yaitu memiliki gugus aromatik (F1 & F2: Aro), donor

dan akseptor proton (F3: Acc & Don), dan gugus aromatik, donor dan akseptor proton (F4: Aro, Acc, & Don).



Gambar 27. Model farmakofor dari sorafenib. Safir berwarna kuning adalah inti dari senyawa sorafenib sebagai inhibitor (wilayah Gatekeeper), safir berwarna ungu adalah meta-trifluorometil-para-klorofenil yang berikatan dengan pocket hidrofobik, dan safir berwarna oranye adalah N-metil pikolinamid sebagai wilayah Hinge (Temirak, *et al.* 2012: 1093).

Pada penelitian Temirak *et al.* (2012), berdasarkan gambar 24. Sorafenib memiliki 4 interaksi pada reseptor VEGFR2. Interaksi pertama adalah rantai fenil urea dari sorafenib, dimana adanya jembatan ikatan hidrogen antara rantai glutamat dan ikatan N-H amida dari aspartate yang menjadi kunci utama dalam aktivitas penghambatan. Interaksi kedua disebut “Area selektif”, dimana terbentuknya fenil alanin ketika berikatan dengan *pocket* lipofilik. Karena sorafenib memiliki cincin meta-trifluorometil-para-klorofenil yang berikatan dengan *pocket* hidrofobik. Interaksi ketiga disebut “Wilayah *gatekeeper*”, dimana ikatan yang atraktif pada interaksi aromatik-aromatik yang melibatkan ikatan trifosfat. Interaksi keempat adalah “Wilayah *hinge*”, dimana adanya ikatan

pada cincin adenin aromatik dan adanya ikatan hidrogen antara wilayah ATP dan wilayah penghambatan allosterik. N-metil pikolinamid dari sorafenib yang berkontribusi pada interaksi ini (Temirak *et al.* 2012: 1093).

Pada penelitian ini dengan menggunakan senyawa sorafenib sebagai ligan alami dari reseptor VEGFR2 dan telah disejajarkan dengan ligan dari penelitian Kurt *et al.* (2017) didapatkan jarak fitur farmakofor untuk wilayah *hinge* dengan wilayah *gatekeeper* adalah 6,50 Å. Wilayah *hinge* dengan wilayah selektif adalah 11,65 Å. Dan wilayah *gatekeeper* dan wilayah selektif adalah 5,10 Å. Jarak dari masing-masing *query* dapat dilihat pada gambar 25. Maka, jarak ini akan menjadi penapis untuk menyaring ribuan senyawa pada tahap virtual skrining. Jarak ini perlu dijaga sedemikian rupa pada saat desain obat baru sebab perubahan konformasi ikatan ini berpengaruh signifikan pada aktif atau tidaknya senyawa hasil desain.

3. Virtual Skrining

Penapisan senyawa biologis terhadap milyaran senyawa masih sangat sulit, oleh karena itu, pendekatan secara virtual menjadi alternatif. Karena metode ini relatif lebih cepat bahkan mampu menangani ribuan senyawa dalam satu hari dan bergantung pada senyawa yang diuji dan kecepatan komputer.

Proses virtual skrining digunakan untuk membantu menemukan senyawa-senyawa yang kemungkinan besar berpotensi sebagai obat, dengan membutuhkan waktu yang relatif singkat. Jika target telah diketahui, algoritma *docking* dapat digunakan untuk menempatkan kandidat obat ke dalam sisi aktif dari target seperti enzim atau reseptor. Kemudian interaksi senyawa-senyawa yang telah diikatkan

(*hits*) kemudian diurutkan berdasarkan hasil analisis secara komputasi komponen sterik dan elektrostatisnya.

Pada penelitian ini dilakukan proses virtual skrining terhadap 23.340 senyawa yang diunduh dari situs <http://zinc.docking.org/>. Dari proses tersebut diperoleh 6 senyawa kimia bahan alam yang *hits* dengan fitur farmakofor ligan yang memiliki interaksi VEGFR2 (Tabel 8). Enam senyawa *hits* kemudian di-*docking* dengan metode farmakofor, untuk melihat kesesuaian interaksi yang terjadi sesuai dengan farmakofor yang kemudian dapat dilanjutkan pada studi selanjutnya.

4. *Docking* Molekul

Protein dan senyawa uji, yang akan di-*docking* harus dipreparasi terlebih dahulu. Protein yang telah diunduh dari situs RCSB ditampilkan pada jendela MOE. Selanjutnya dilakukan protonasi untuk menambahkan muatan atom dan hidrogen pada molekul. Struktur protein yang digunakan adalah struktur 3WZE karena tingkat validasinya sangat tinggi. Tahap selanjutnya adalah tahap *docking* senyawa-senyawa uji. Pada proses *docking* senyawa uji ini digunakan perangkat lunak MOE versi 2009.

Proses simulasi *docking* senyawa-senyawa uji diawali dengan mengidentifikasi kantung atau sisi pengikatan dari enzim tersebut. Selanjutnya dengan fasilitas *simulation dock*, senyawa-senyawa uji sebagai ligan di-*docking*-kan pada reseptor, serta diarahkan pada sisi pengikatan yang sebelumnya telah diidentifikasi. Proses *docking* menggunakan ligan fleksibel dan reseptor *rigid* menggunakan metode *placement* (penempatan) *Proxy triangel*, *rescoring 1 Alpha*

HB, *refinement Forcefield* dan *rescoring 2 Alpha HB*. Validasi metode *docking* dilakukan dengan *redocking* ligan pada sisi pengikatan. Didapatkan nilai *rmsd* (*root mean square deviation*) lebih kecil dari 2 yang berarti metode tersebut memiliki validitas yang tinggi, artinya posisi ligan *copy* mirip dengan posisi ligan asli (Lampiran II).

Asam amino utama yang berpengaruh pada reseptor VEGFR2 menurut Temirak *et al.* (2012) adalah Glu885 dan Asp1048, selain itu ada pula asam amino Lys868, dan Cys919. Tanpa kedua asam amino utama, maka efek inhibitor VEGFR2 tidak akan terjadi.

Berdasarkan hasil *docking* dan dengan melihat hasil interaksi yang didapatkan, senyawa ZINC12138892 dan ZINC34633488 menunjukkan hasil yang diinginkan dengan adanya interaksi terhadap asam amino Glu885 dan Asp1048 sesuai tabel 9. Kedua senyawa ini menunjukkan interaksi sesuai dengan farmakofor maupun literatur sehingga dua senyawa inilah yang selanjutnya dilakukan studi bioavailabilitas, toksisitas dan farmakokinetiknya.

Berdasarkan hasil *Docking* senyawa *hits* hasil virtual skrining, ditemukann bahwa untuk senyawa dengan kode ZINC12138892 terdapat interaksi dengan asam amino Glu885 pada gugus amida dengan persentase 16% pada jarak pengikatan 2,0 Å yang ditunjukkan dengan adanya ikatan hidrogen (jembatan asam), selain itu terdapat ikatan hidrogen antara keton dan asam amino Asp1048 dengan persentase 43% dengan jarak 1,74 Å. Senyawa dengan kode ZINC34633488 menunjukkan interaksi dengan asam amino Asp1048 pada gugus amida dengan persentase 18% pada jarak pengikatan 3,7 Å yang ditunjukkan

dengan adanya ikatan hidrogen (jembatan asam) seperti yang tertera pada lampiran III dan lampiran IV.

Suatu senyawa dikatakan memiliki interaksi lebih baik jika memiliki nilai energi bebas (*Docking score*) yang lebih rendah, sehingga dikatakan interaksi ikatan antara ligan dan reseptor lebih stabil. Sedangkan jumlah dan jarak ikatan hidrogen berpengaruh pada kekuatan afinitas ikatan antara ligan dan reseptor. Ikatan hidrogen dapat terjadi jika jarak antara atom donor dan atom akseptor lebih pendek dari jumlah jari-jari atomik atom akseptor ($\pm 1,5 \text{ \AA}$), jari-jari atomik hidrogen ($1,2 \text{ \AA}$), dan panjang ikatan antara atom donor dan hidrogen ($\pm 1 \text{ \AA}$) atau sekitar $3,5 \text{ \AA}$. Jarak yang lebih panjang dari $3,5 \text{ \AA}$ dianggap sebagai interaksi dipol-dipol. Ikatan hidrogen yang baik memiliki jarak $\pm 2,8 \text{ \AA}$ (Fadhilah, 2012).

Dapat disimpulkan bahwa senyawa dengan kode ZINC12138892 memiliki jarak ikatan hidrogen yang baik pada asam amino Glu885 dan Asp1048. Sedangkan senyawa dengan kode ZINC34633488 memiliki interaksi dipol-dipol pada asam amino Asp1048.

5. Prediksi Toksisitas, Profil Farmakokinetik, dan Kajian Metabolisme

a. Studi Bioavailabilitas

Terdapat empat parameter yang secara global dihubungkan dengan kelarutan dan permeabilitas, yaitu berat molekul, LogP, jumlah donor ikatan H dan jumlah akseptor ikatan H. *Rule of 5* menyatakan bahwa absorpsi dan permeasi yang kurang baik ketika suatu senyawa memiliki lebih dari lima donor ikatan hidrogen (ditunjukkan dengan jumlah OH dan NH), berat molekul lebih dari 500, Log P lebih dari 5 (atau MLogP lebih dari 4.15), terdapat lebih dari 10 akseptor

ikatan H (ditunjukkan oleh jumlah N dan O). Kelas senyawa yang merupakan substrat untuk transporter biologis merupakan pengecualian untuk aturan tersebut.

Dari 2 senyawa hasil virtual skrining dari hasil di-*docking* dengan metode *pharmacophore* dan telah menunjukkan interaksi yang sesuai, hasil bioavailabilitas senyawa ZINC12138892 melanggar aturan Lipinski pada logP dan berat molekul sedangkan senyawa ZINC34633488 melanggar aturan Lipinski pada donor hidrogen dan berat molekul. LogP didefinisikan sebagai koefisien partisi dan suatu obat harus bisa larut dalam air maupun lemak ($\log P \leq 5$), bila melebihi standar maka senyawa hanya akan larut dalam lemak dan tidak dapat larut dalam air, hal ini akan mempengaruhi distribusi obat di dalam tubuh. Berat molekul (BM) juga berpengaruh pada absorpsi obat pada tubuh ($BM \leq 500$), bila melebihi standar maka pada beberapa bagian organ tubuh, senyawa obat tidak bisa melewati pembatas antar sel atau organ (misal eksresi pada glomerulus, bila senyawa memiliki ukuran yang besar akan sulit melewati wilayah tersebut). Donor hidrogen terjadi ketika atom hidrogen berikatan dengan atom yang memiliki elektronegatif yang tinggi, bila suatu senyawa obat memiliki donor hidrogen lebih dari 5 maka obat tersebut akan sulit terabsorpsi dan sulit untuk mencapai target organ yang ingin dituju.

Kedua senyawa hanya memiliki 2 aturan Lipinski yang memenuhi syarat. Sehingga kedua senyawa tersebut tidak disarankan untuk dikonsumsi peroral karena absorpsinya kurang baik secara sistemik. Hasil bioavailabilitas dapat dilihat pada tabel 10.

b. Prediksi Toksisitas

Setelah memperoleh 2 senyawa hasil virtual skrining yang telah melalui proses *docking* dengan metode *pharmacophore* dan kemudian diamati aturan Lipinski-nya, selanjutnya dilakukan prediksi toksisitas untuk kedua senyawa tersebut menggunakan perangkat lunak *Toxtree* yang dapat membantu melihat tingkat toksisitas dari suatu senyawa dengan mengklasifikasikannya dalam bagian tertentu. Pada penelitian kali ini, parameter yang digunakan dari *toxtree* antara lain *cramer rules* (prediksi toksistas dari struktur molekul ketika dikonsumsi secara oral), *The Benigni/Bossa rulebase for mutagenicity and carcinogenicity* (prediksi kemungkinan adanya efek karsinogenik dan mutagenik berdasarkan analisis struktur), *Cytochrome P450-mediated drug metabolism* (metabolism obat dengan sitokrom P450), dan *Kroes TTC* (prediksi tingkat resiko yang membahayakan). Dari parameter tersebut diharapkan bahwa senyawa yang diuji dapat dilihat tingkat toksisitasnya.

Berdasarkan *toxtree* secara umum, kedua senyawa *hits* terbaik hasil virtual skrining masuk dalam kelas 3 yaitu memiliki risiko toksisitas yang tinggi menurut aturan *Kramer*. Menurut *Benigni/Bossa Rulebase*, senyawa ZINC12138892 tidak bersifat genotoksik karsinogenik sedangkan ZINC34633488 bersifat genotoksik karsinogenik. Berdasarkan prediksi *Kroes TTC*, senyawa ZINC12138892 tidak menunjukkan akan adanya resiko berarti yang membahayakan sedangkan ZINC34633488 memiliki potensi adanya resiko membahayakan. Secara umum, 2 senyawa *hits* dengan interaksi terbaik hasil virtual skrining dapat dimetabolisme pada sitokrom P450.

Berdasarkan *AdmetSAR* secara umum, ditinjau dari LD50 pada tikus, urutan LD50 2 senyawa *hits* terbaik hasil virtual skrining dari yang tertinggi hingga yang terendah yaitu ZINC12138892 dan ZINC34633488. Ditinjau dari pLC50 toksisitas pada ikan dengan urutan toksisitas tertinggi hingga terendah ZINC12138892 dan ZINC34633488. Ditinjau dari toksisitas *Tetrahymena pyriformis* pIGC50 dari toksisitas tertinggi ke terendah yaitu ZINC12138892 dan ZINC34633488. Nilai dari masing-masing LD50, pLC50, dan pIGC50 dapat dilihat pada tabel 11.

Maka dapat disimpulkan bahwa senyawa ZINC12138892 memiliki tingkat toksistas yang rendah dan dapat dimetabolisme pada sitokrom P450, tetapi memiliki toksistas yang tinggi bila dikonsumsi secara oral.

c. Hasil prediksi farmakokinetik

Berdasarkan prediksi farmakokinetik pada tabel 12, dua senyawa *hits* hasil virtual skrining dengan interaksi terbaik memiliki persentase penyerapan usus pada manusia, pada ZINC12138892 memiliki presentase 94% yang menandakan bahwa senyawa tersebut dapat diserap dengan baik sedangkan pada ZINC34633488 memiliki presentase 15% yang menandakan bahwa senyawa tersebut tidak dapat diserap dengan baik. Sel Caco-2 merupakan turunan dari kolon adenokarsinoma manusia dan memiliki berbagai jalur transpor obat melalui epitel usus. Semua senyawa memperlihatkan permeabilitas yang sedang pada sel Caco-2. Permeabilitas MCDK (Madin-Darby Canine Kidney) adalah kemampuan suatu senyawa untuk menembus ke organ ginjal. Pada senyawa ZINC34633488 memiliki permeabilitas yang tinggi daripada senyawa ZINC12138892. Semakin tinggi permeabilitas MCDK, maka akan semakin sulit senyawa tersebut di ekskresi dari ginjal.

Penetrasi *Blood Brain Barrier* digambarkan sebagai $BB = [Brain]/[Blood]$, dimana *[Brain]* dan *[Blood]* merupakan keadaan tunak senyawa radiolabel pada otak dan perifer darah. Prediksi penetrasi BBB berarti memprediksi apakah senyawa dapat melewati pembatas otak-darah (sawar darah otak). Hal ini sangat penting pada lingkup farmasi karena senyawa aktif sistem saraf pusat harus dapat melewati pembatas ini sementara senyawa inaktif sistem saraf pusat tidak boleh melewatinya agar mencegah efek samping pada kerja normal sistem saraf pusat. Kedua senyawa menunjukkan absorpsi lemah/sedikit pada sistem saraf pusat.

Umumnya, hanya obat yang tidak berikatan yang tersedia untuk difusi atau transpor melalui membran sel, dan juga untuk interaksi dengan target farmakologi. Oleh karena itu, derajat pengikatan protein plasma obat mempengaruhi tidak hanya pada aksi obat tapi juga disposisi dan efikasinya. Senyawa ZINC12138892 menunjukkan kemampuan berikatan dengan protein plasma yang sedang. Sedangkan senyawa ZINC34633488 menunjukkan persen pengikatan yang sangat rendah.

BAB V

PENUTUP

A. Kesimpulan

1. Hasil dari tahap hubungan kuantitatif struktur-aktivitas senyawa turunan kumarin-kalkon-urea sebagai inhibitor reseptor VEGFR2 menunjukkan bahwa deskriptor yang berpengaruh terhadap aktivitas senyawa sebagaimana ditunjukkan dengan persamaan HKSA terbaik: $\text{LogIC}_{50} = 3,125 + (0,060 \times \text{AM1_dipole}) + (-0,024 \times \text{ASA_H}) + (-0,259 \times \text{PEOE_VSA-6}) + (-0,071 \times \text{Q_VSA_PNEG}) + (0,034 \times \text{VSA})$.
2. Hasil dari tahap penelusuran farmakofor, asam amino yang penting dalam interaksi inhibitor reseptor VEGFR2 dengan senyawa turunan kumarin-kalkon-urea maupun senyawa alami dari reseptor adalah Glu885 dan Asp1048. Adapun *query farmakofor* yang berperan dalam interaksi ligan-reseptor memiliki fitur gugus aromatik (F1 & F2: Aro), donor dan akseptor proton (F3: Acc & Don), dan gugus aromatik, donor dan akseptor proton (F4: Aro, Acc, & Don).
3. Hasil dari tahap virtual skrining, senyawa-senyawa *natural product* hasil virtual skrining yang berpotensi sebagai inhibitor reseptor VEGFR2 berdasarkan fitur farmakofor adalah SN00002719, ZINC08439619, ZINC08555320, ZINC12138892, ZINC34633488, dan ZINC40310270.
4. Hasil dari tahap *docking* molekul, senyawa ZINC08555320 dan ZINC12138892 merupakan dua senyawa yang memiliki interaksi yang baik dengan adanya interaksi dengan asam amino Glu885 dan atau Asp1048 yang menunjukkan peran penting dengan membentuk jembatan

garam terhadap residu asam pada reseptor VEGFR2 sehingga menghasilkan efek inhibitor.

5. Hasil dari tahap uji toksisitas dan farmakokinetik, senyawa dengan kode ZINC12138892 merupakan senyawa terbaik diantara 23.340 senyawa dilihat dari sisi kecocokan pada *query farmakofor*, *docking* dengan metode farmakofor dan interaksi terbaik, prediksi bioavailabilitas menggunakan rule of 5 Lipinski, dan prediksi ADME serta toksisitasnya.

B. Implikasi Penelitian

1. Penelitian ini memberikan implikasi baik terhadap pihak institusi maupun pemerintah dan diharapkan penelitian ini berguna untuk pengembangan ilmu pengetahuan dan teknologi, khususnya sebagai upaya untuk mendapatkan senyawa-senyawa yang berpotensi sebagai obat kanker. Hasil prediksi aktivitas melalui studi HKSA ini diharapkan berguna dalam menentukan senyawa turunan obat anti kanker hati yang dapat disintesis dan diuji lebih lanjut.
2. Diharapkan penelitian ini dapat dilanjutkan dengan mendesain senyawa inhibitor VEGFR2 yang baru dengan aktivitas yang lebih baik.

KEPUSTAKAAN

- Alianto, Ricky. *Gambaran Histopatologi Karsinoma Hepatoseluler*. 2015.
- Abraham DJ, *Burger's Medicinal Chemistry and Drug Discovery*. 6th ed. Volume I. Wiley Interscience: New York. 2003.
- Asmara, dkk. *Analisis HKSA Senyawa Antidiabetik Turunan Triazolopiperazin Amida Menggunakan Metode Semiempirik PM3*. 2018
- Basanagouda, Mahantesha *et al.* *Synthesis, structure–activity relationship of iodinated-4-aryloxymethyl-coumarins as potential anti-cancer and anti-mycobacterial agents*. 2013.
- Bhola, Patrick D. *et al.* *Determinism and Divergence of Apoptosis Susceptibility in Mammalian Cells*. 2009.
- Chen, Jia-Nian *et al.* *Design, synthesis, and biological evaluation of novel quinazolinyl-diaryl urea derivatives as potential anticancer agents*. 2016.
- Dehmer, Matthias, *et al.* *Statistical Modelling of Molecular Descriptors in QSAR/QSPR*. Wiley-Blackwell: Jerman. 2008.
- Elbaz, Tamer *et al.* *Management of Hepatocellular Carcinoma: Updated Review*. 2013.
- Fadhilah, dan Tjahjono. *Hubungan Kuantitatif Struktur dan Aktivitas Senyawa Turunan 3-Haloasilaminobenzoilurea sebagai Inhibitor Pembentukan Mikrotubulus*. 2012
- Farhat. *Vascular Endothelial Growth Factor pada Karsinoma Nasofaring*. 2009.
- Gao H, Nishida J, Saito S dan Kawabata J. *Inhibitory Effect of 5,6,7 Trihydroxyflavones on Tyrosinase*. *Molecules*. 2007.
- Goel dan Mercurio. *VEGF targets the tumour cell*. 2013.
- Hawash, Mohammed M.A. *et al.* *Synthesis and biological evaluation of novel pyrazolic chalcone derivatives as novel hepatocellular carcinoma therapeutics*. 2017.
- Hou, Tingjun *et al.* *ADME Evaluation in Drug Discovery*. 2007.
- Kemenkes RI. *InfoDATIN Pusat Data dan Informasi Kementerian Kesehatan*. 2015.
- Kementrian Agama. *Al-Qur'an dan Terjemahnya*. 2018
- Kesuma, dkk. *Uji in silico Aktivitas Sitotoksik dan Toksisitas Senyawa Turunan N-(Benzoil)-N'-feniltiourea Sebagai Calon Obat Antikanker*. 2018

- Kurt, Belma Zengin *et al.* *Synthesis and biological evaluation of novel coumarin-chalcone derivatives containing urea moiety as potential anticancer agents.* 2017.
- Leach, A. R. *Molecular Modelling: Principles and Applications.* Longman. London 1996.
- Lu, Chenshu *et al.* *Design, synthesis and evaluation of novel diaryl urea derivatives as potential antitumor agents.* 2014.
- Mai, Chun Wai *et al.* *Chalcones with electron-withdrawing and electron-donating substituents: Anticancer activity against TRAIL resistant cancer cells, structure activity relationship analysis and regulation of apoptotic proteins.* 2014.
- Mohan V, *et al.* *Docking: Successes and Challenges.* 2005.
- Nahdenla RR. *Molecular Modelling : A powerfull Tool for Drug Design and Molecular Docking.* J. Resonance. 2004.
- O'Rourte *et al.* *John Kerr and Apoptosis.* 2000.
- Pingaew, Ratchanok *et al.* *Synthesis, biological evaluation and molecular docking of novel chalconecoumarin hybrids as anticancer and antimalarial agents.* 2014.
- Rahayu, Alsya Utami dan Ami Tjitraresmi. *Aktivitas Farmakologi Dari Senyawa Kalkon Dan Derivatnya.* 2017.
- Salem, Mounir A. I. *et al.* *Synthesis and Characterization of Some New Coumarins with In Vitro Antitumor and Antioxidant Activity and High Protective Effects against DNA Damage.* 2016.
- Sardjoko. *Rancangan Obat.* Yogyakarta: UGM Press. 1993.
- Siswandono dan Soekardjo Bambang. *Kimia Medisinal.* Surabaya: Airlangga University Press. 2001.
- Subandi. *Mikrobiologi: Perkembangan, Kajian dan Pengamatan dalam Prespektif Islam.* Bandung: PT Remaja Rosdakarya. 2012.
- Sudiana, I Ketut. *Patobiologi Molekular Kanker.* Jakarta: Salemba Medika. 2008.
- Temirak *et al.* *Rational Drug Design for Identifying Novel Multi-target Inhibitors for Hepatocellular Carcinoma.* 2012.
- Thurston, G. *et al.* *The Delta Paradox: DLL4 Blockade Leads to more Tumour Vessels but less Tumour Growth.* 2007.

Verma, Rajeshwar P. dan Corwin Hansch. *Use of ^{13}C NMR Chemical Shift as QSAR/QSPR Descriptor*. Chem. Rev. 2011.

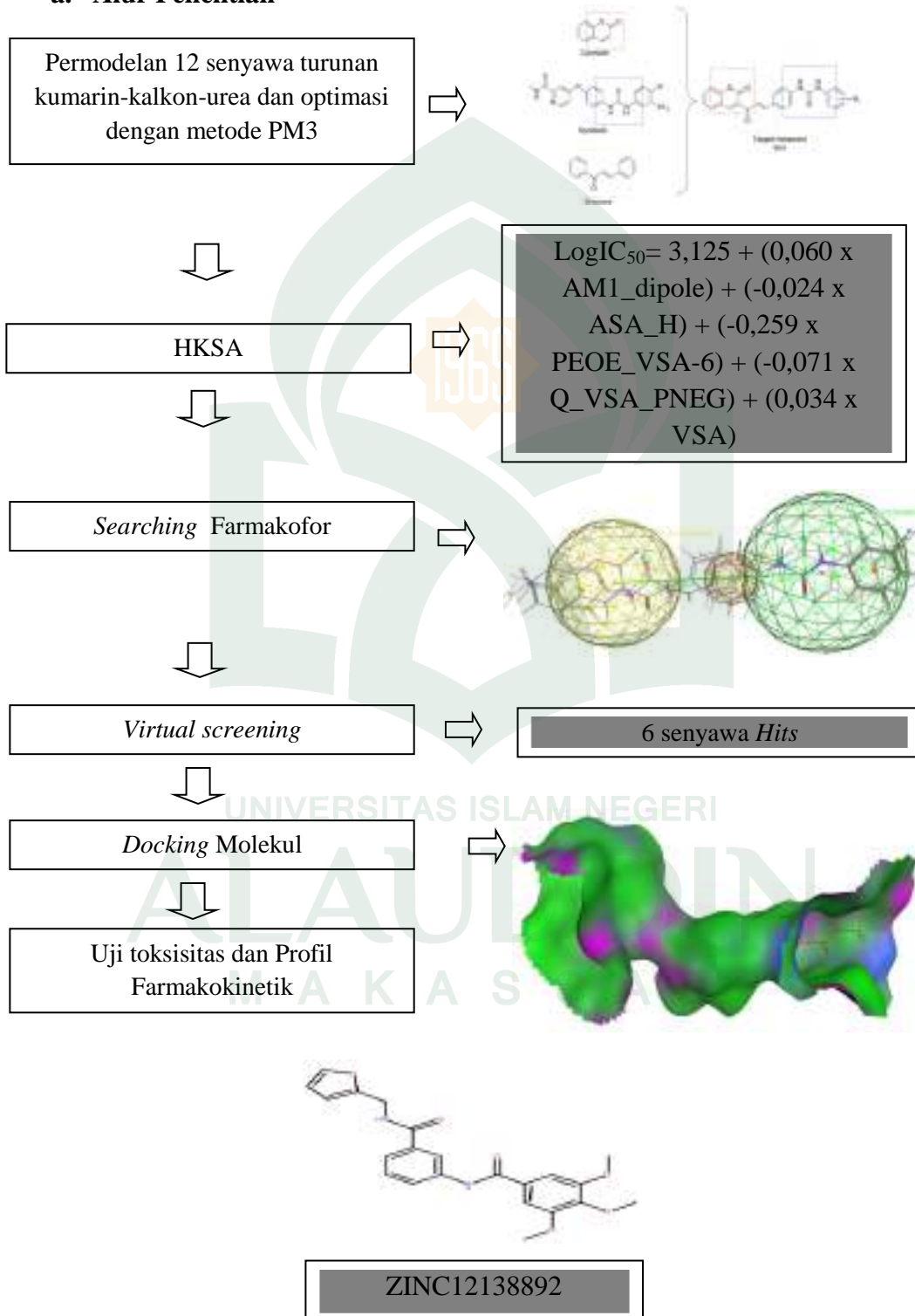
Wermuth, Camille Georges. *The Practice of Medicinal Chemistry*. Academic Press: United States. 2008.



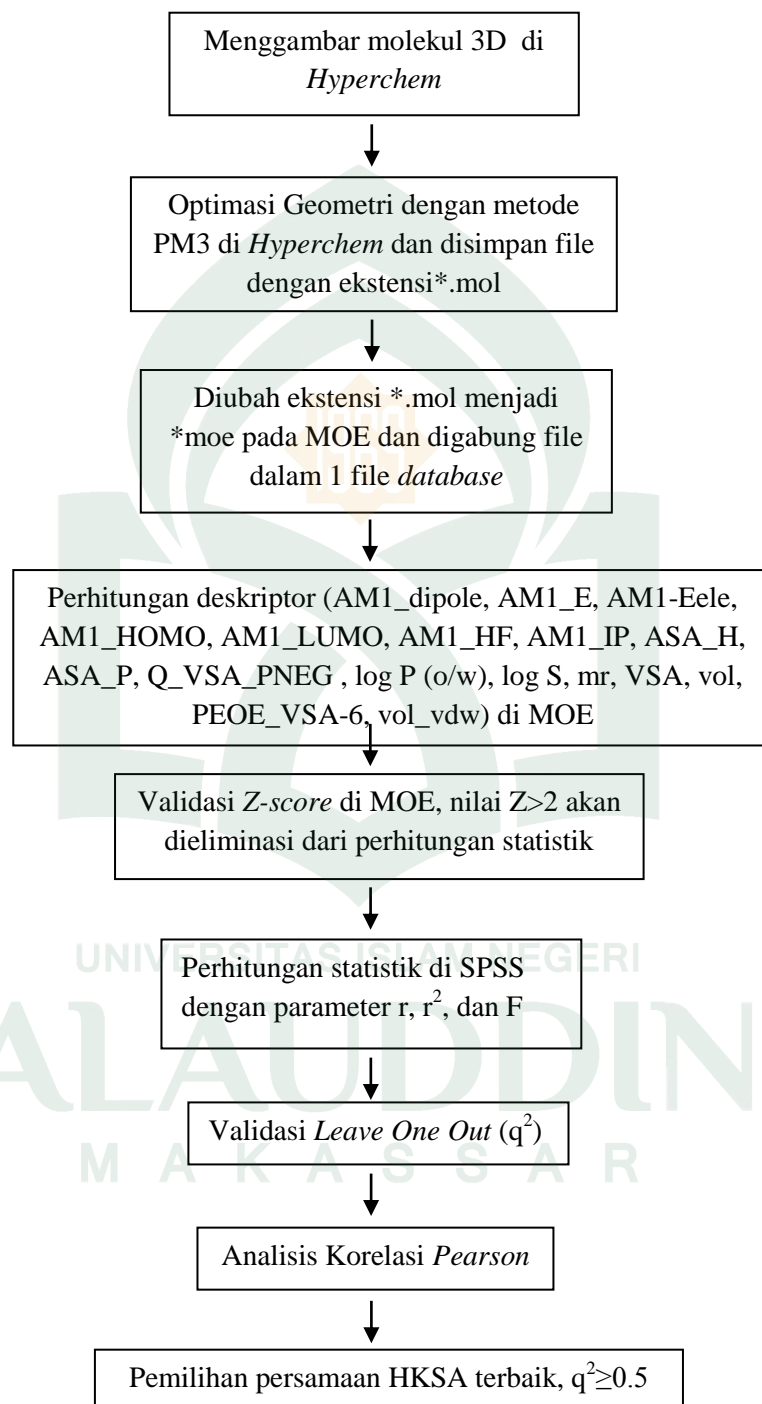
LAMPIRAN

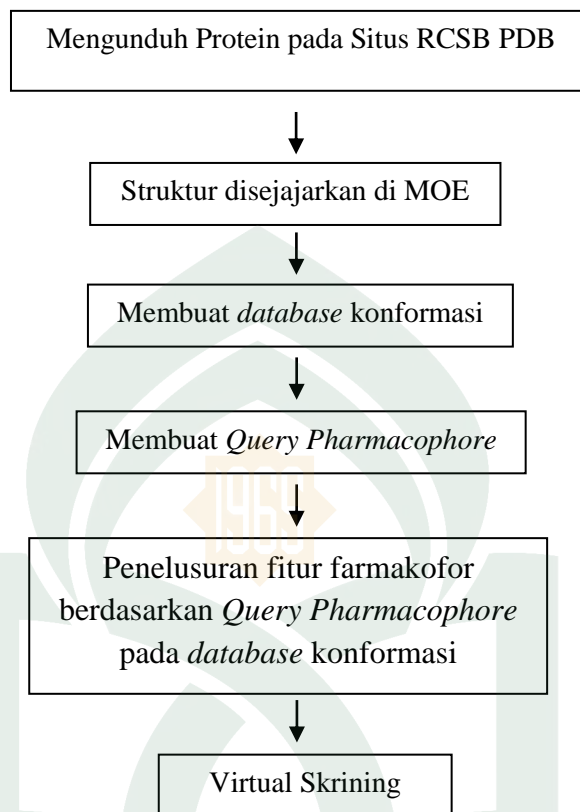
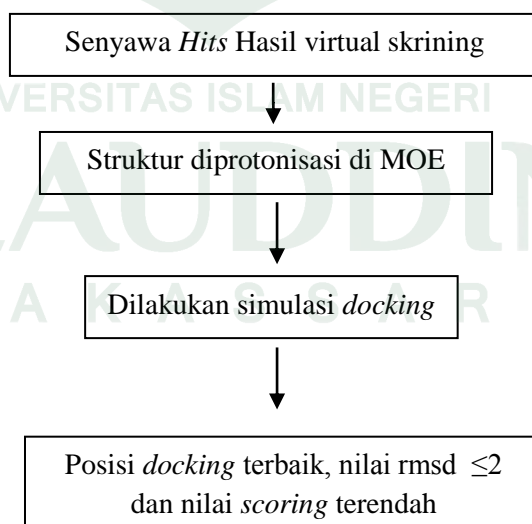
Lampiran I. Skema Kerja

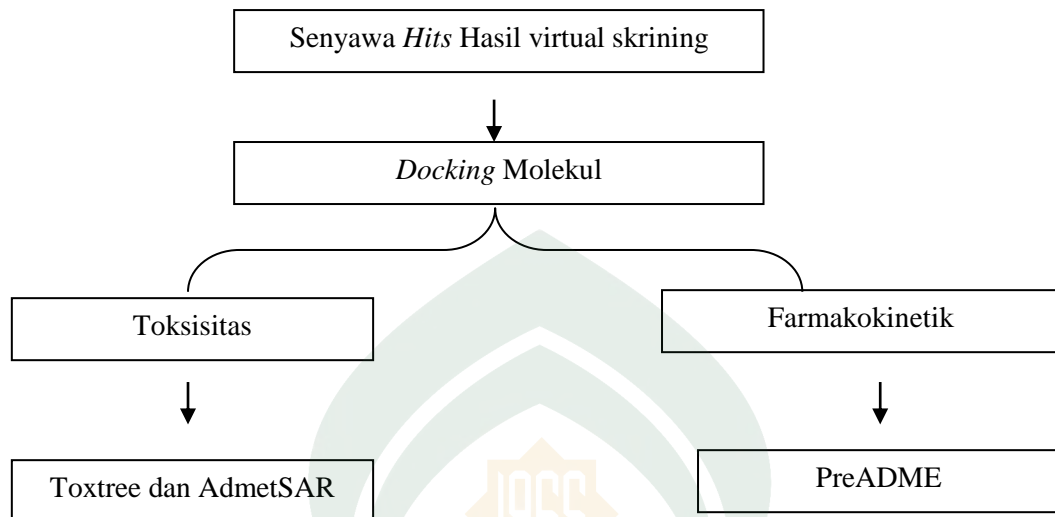
a. Alur Penelitian



a. Hubungan Kuantitatif Struktur-Aktivitas



b. Penelusuran Farmakofor**c. Docking Molekul**

d. Prediksi toksisitas dan Farmakokinetik

Lampiran II. Nilai Deskriptor senyawa turunan kumarin-kalkon-urea

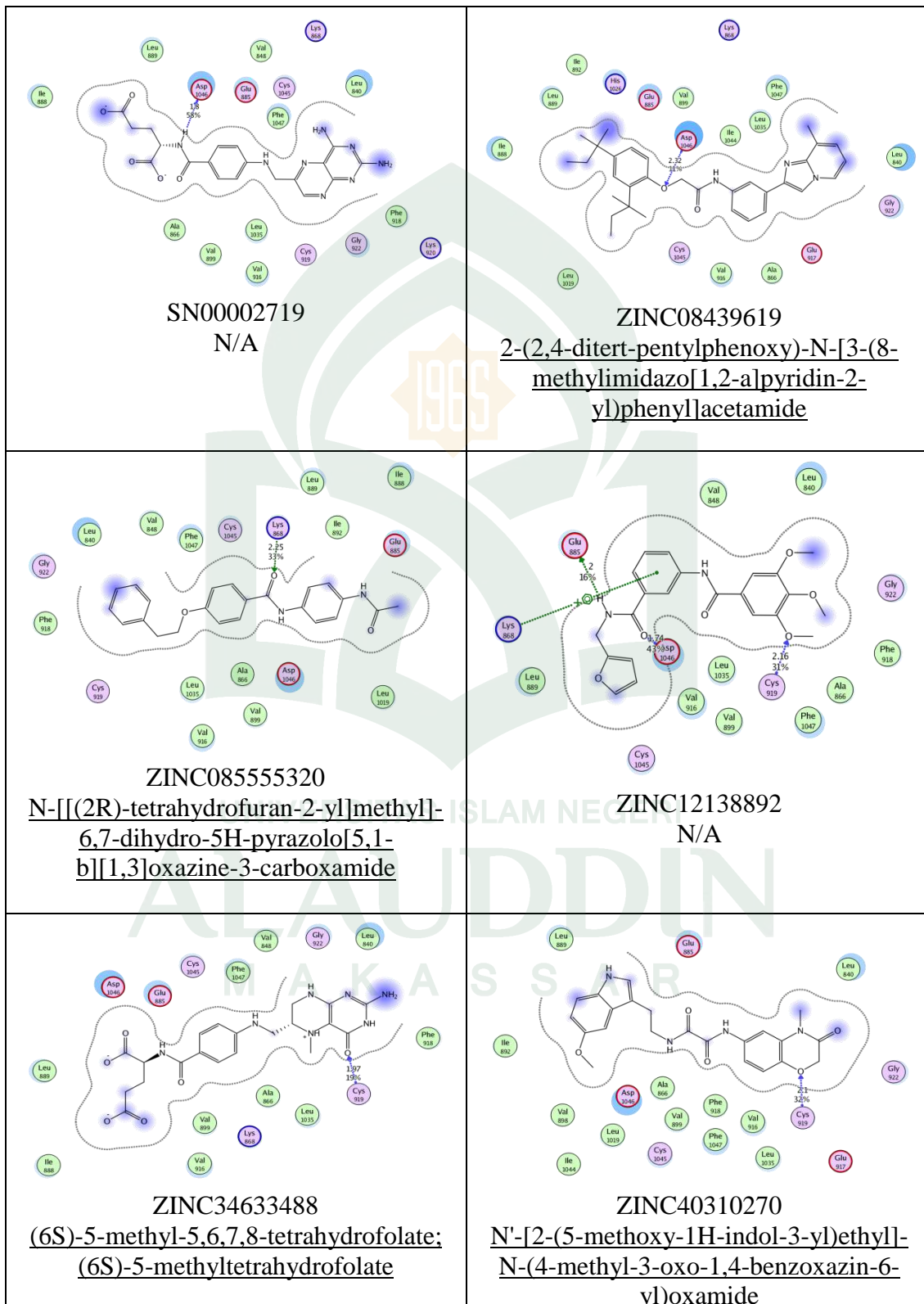
Senyawa	logP(o/w)	logS	Mr	PEOE_VS A-6	Q_VSA_PN EG	vdw_vol	AM1_dipole
1	4,6620002	-7,3032098	12,413302	2,7775381	45,982056	585,98511	11,974493
2	4,625	-7,3032098	12,413302	2,7775381	45,982056	585,98511	2,687551
3	4,8590002	-7,5478101	11,842809	0,27378201	43,478302	554,0368	16,517252
4	4,822	-7,5478101	11,842809	0,27378201	43,478302	554,0368	13,935044
5	5,2979999	-7,9871202	12,273935	0,27378201	43,478302	566,85046	13,401576
6	5,2610002	-7,9871202	12,273935	0,27378201	43,478302	566,85046	13,742272
7	5,467	-8,3432198	12,523671	0,27378201	43,478302	579,88208	11,721746
8	5,8590002	-8,2443504	13,112717	0,27378201	43,478302	583,46008	11,581491
9	4,6690001	-7,25283	11,772155	0,27378201	43,478302	550,89453	14,64464
10	4,6040001	-8,0430603	12,284678	0,27378201	77,409348	574,79657	31,243284
11	5,6037598	-8,3093796	12,364863	0,27378201	79,204208	584,75049	24,05953
12	3,73176	-5,8665099	11,368189	2,9144292	68,952995	534,72192	24,724924

Senyawa	AM1_HF	AM1_HOMO	AM1_IP	AM1_LUMO	ASA_H	ASA_P	vol
1	-39,309711	-4,21942	5,7088099	-2,49122	570,31616	181,08928	415,875
2	-49,423458	-8,4426298	8,4426298	-1,3484401	561,59113	184,13751	415,5
3	-37,855259	-4,4885998	5,12433	-2,3351099	568,01398	144,34441	393
4	-50,463791	-4,2976398	5,62077	-2,4675701	562,034	142,26614	394,375
5	-11,28387	-4,3218899	5,8078399	-2,59162	585,80939	143,99478	405,75
6	-5,7607799	-4,43927	5,0978298	-2,31883	586,56885	146,76659	406,375
7	-0,57511997	-4,3291998	5,8057599	-2,66207	603,5437	147,55139	418,25
8	10,88755	-4,3338099	5,8645601	-2,70855	606,15247	142,91713	420,5
9	-3,0498099	-4,2042398	5,5794201	-2,3605499	561,62927	147,80199	390,25
10	-5,1644702	-4,8428702	5,5320001	-2,88657	507,65094	227,8127	408,5
11	-160,50462	-4,5673299	5,4656401	-2,7200501	511,89575	245,7495	419,25
12	-130,30952	-2,62398	3,56967	-0,54154003	472,88315	251,97005	384,25

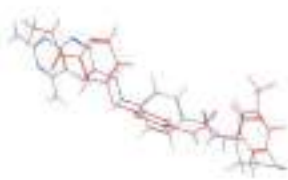
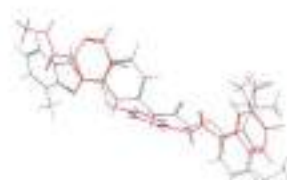
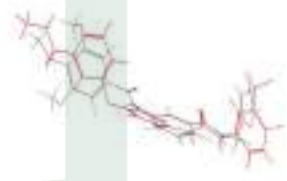
Senyawa	AM1_E	AM1_Eele	VSA	vsurf_IW6
1	-128895,24	-916518,75	454,46609	2,8453004
2	-129535,2	-933434,13	454,52133	2,8307528
3	-128787,85	-871218,25	431,77408	3,005445
4	-128796,49	-874265,5	429,582	2,8308918
5	-126228,63	-870393,06	443,81912	2,6772137
6	-126223,1	-864452,31	438,33475	2,7635388
7	-125757,13	-868863,88	454,74493	3,2754626
8	-125618,76	-867022,25	457,20905	3,7633262
9	-117923,19	-824490,06	426,29419	2,7496991
10	-137089,17	-950978,69	447,4996	3,5732052
11	-154145,11	-1034013,1	459,00928	3,0787041
12	-149524,63	-962997,38	433,54333	5,415236

Senyawa	LogIC ₅₀ HepG2	\$PRED	\$RES	\$Z-SCORE	\$XPRED	\$XRES	\$XZ-SCORE
1	0,78189892	0,82944119	-0,0475423	0,27669498	0,84441787	-0,062518969	0,34984639
2	1,0481309	0,79881579	0,24931507	1,4510074	0,61273819	0,43539268	2,9128871
3	1,0530015	0,92470515	0,12829635	0,74668151	0,90129691	0,15170461	0,86956549
4	1,0579323	0,91831231	0,13961998	0,8125847	0,89666635	0,16126594	0,92860889
5	0,93033761	0,90536511	0,024972506	0,14533935	0,90219814	0,028139448	0,15695442
6	0,78275907	0,91792661	-0,13516754	0,78667164	0,9385944	-0,15583535	0,89536679
7	0,93267661	0,90472394	0,027952677	0,16268386	0,90108836	0,031588279	0,17623599
8	0,95520651	0,90748984	0,047716692	0,27770993	0,90106165	0,054144878	0,30281252
9	0,85448819	0,93435752	-0,079869352	0,46483758	0,96114922	-0,10666101	0,60161448
10	0,36660969	0,82379228	-0,45718256	2,6607909	0,92652893	-0,55991924	5,9232016
11	0,91444892	0,78812534	0,12632357	0,73519999	0,63601297	0,27843595	1,6347704
12	0,8763333	0,90076834	-0,024435071	0,1422115	0,93515438	-0,058821082	0,32843709

Lampiran III. Hasil *docking* interaksi senyawa *hits* hasil virtual skrining pada protein VEGFR2



Lampiran IV. Posisi *docking* senyawa *hits* hasil virtual skrining pada protein VEGFR2

 <p>SN00002719 N/A S = -157,4164 rmsd = 1,1870</p>	 <p>ZINC08439619 <u>2-(2,4-ditert-pentylphenoxy)-N-[3-(8-methylimidazol[1,2-a]pyridin-2-yl)phenyl]acetamide</u> S = -152,6072 rmsd = 0,9621</p>
 <p>ZINC08555320 <u>N-[(2R)-tetrahydrofuran-2-yl]methyl]-6,7-dihydro-5H-pyrazolo[5,1-b][1,3]oxazine-3-carboxamide</u> S = -125,3213 rmsd = 1,1268</p>	 <p>ZINC12138892 N/A S = -138,5291 rmsd = 1,2072</p>
 <p>ZINC34633488 <u>(6S)-5-methyl-5,6,7,8-tetrahydrofolate;</u> <u>(6S)-5-methyltetrahydrofolate</u> S = -144,1795 rmsd = 1,8757</p>	 <p>ZINC40310270 <u>N'-[2-(5-methoxy-1H-indol-3-yl)ethyl]-N-(4-methyl-3-oxo-1,4-benzoxazin-6-yl)oxamide</u> S = -144,6421 rmsd = 0,9291</p>

DAFTAR RIWAYAT HIDUP

Nama Lengkap : Alfiana Dwi puspita
TTL : Watan Soppeng, 5 Juni 1996
Umur : 22 Tahun
Alamat : BTP, Blok AD Keberkahan No.264
Nomor Hp : 0857047363
Email : alfilovejapan@gmail.com

Penulis merupakan BTP, Anak kedua dari tiga bersaudara pasangan Bapak Drs. Asaf Diolo S.Si., Apt. dan Ibu Hj. Sulfiani. Pernah menempuh jenjang pendidikan di SDN 028 Samarinda Ulu, SMP Negeri 7 Samarinda Ulu serta SMA Negeri 3 Samarinda Ulu. Penulis kini tengah menempuh jenjang pendidikan di UIN Alauddin Makassar dan menyusun tugas akhirnya. Penulis berharap, serangkaian tugas akhir ini dapat bermanfaat dalam bidang Farmasi dan bagi masyarakat umum.

UNIVERSITAS ISLAM NEGERI
ALAUDDIN
M A K A S S A R